

1/82

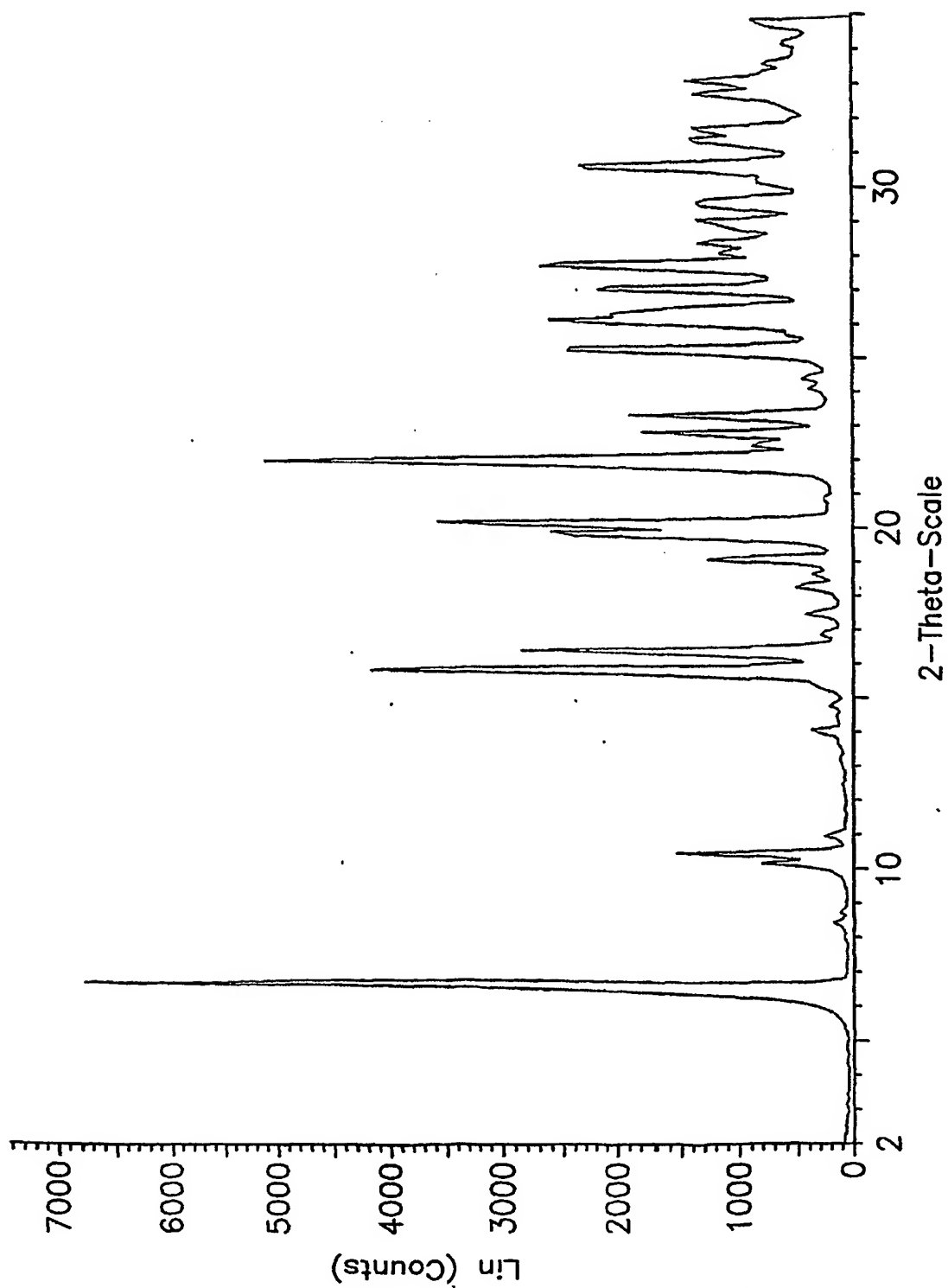


FIG. 1

2/82

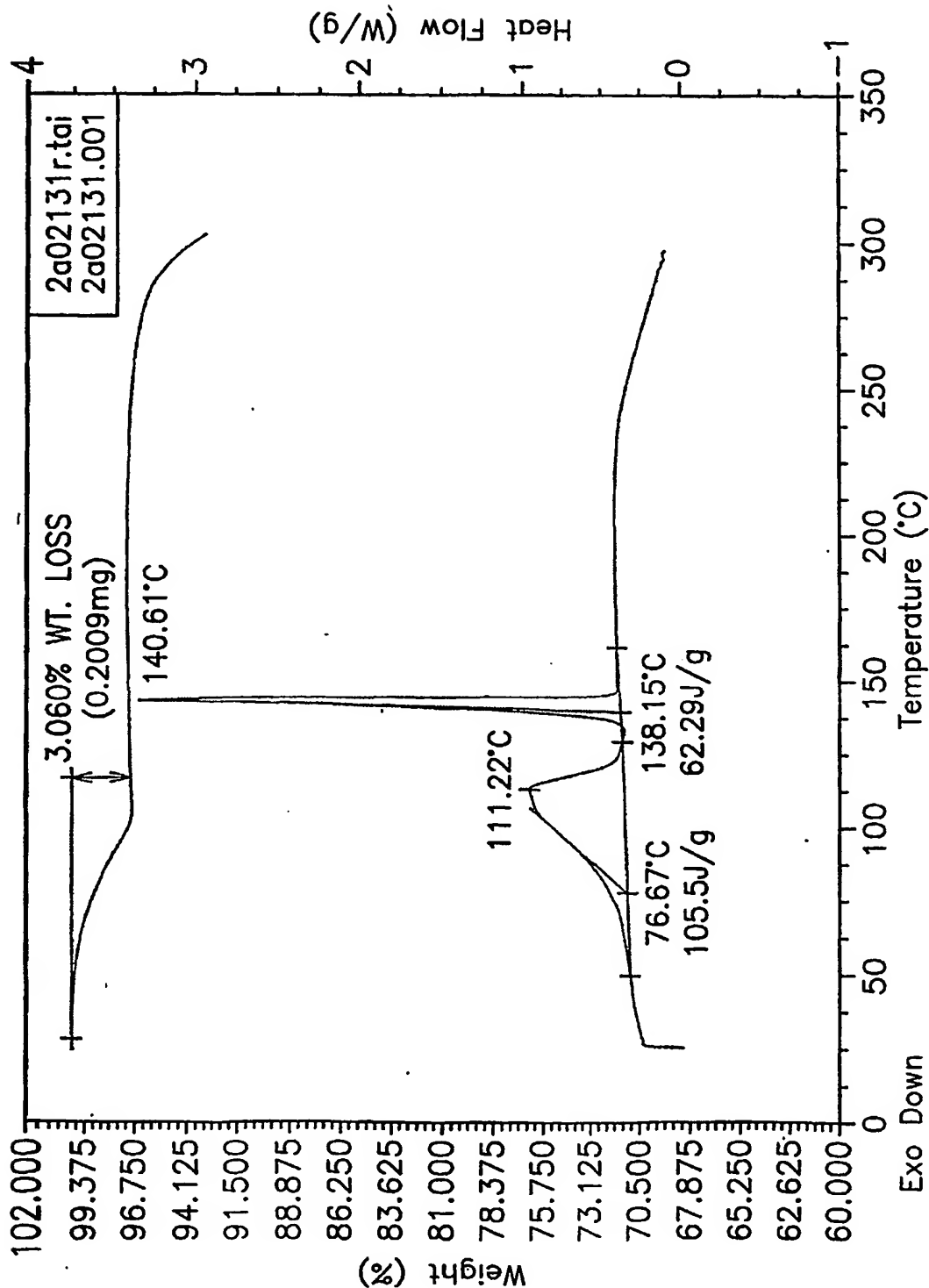


FIG. 2

SUBSTITUTE SHEET (RULE 26)

SUBSTITUTE SHEET (RULE 26)

3/82

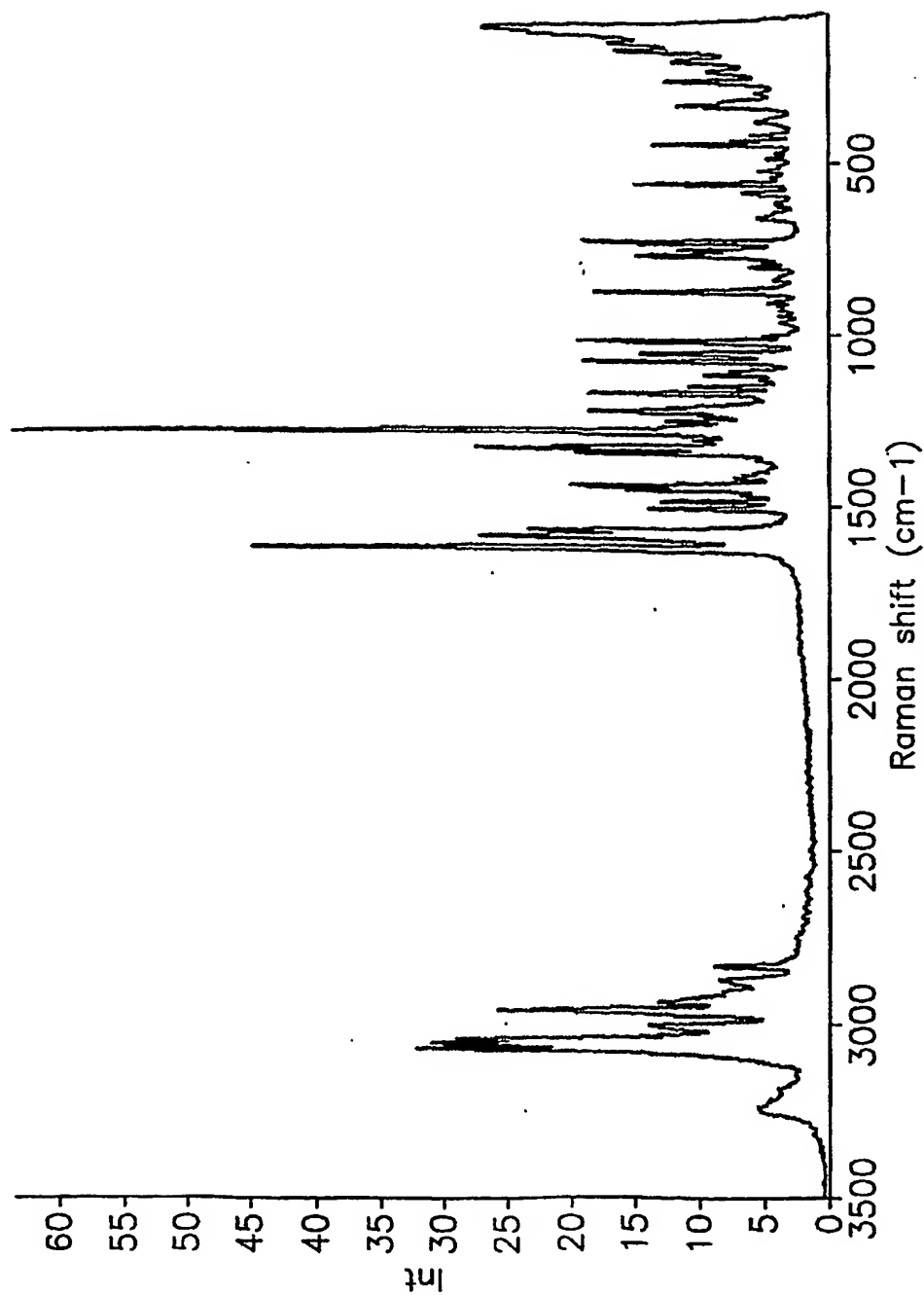


FIG. 3

4/82

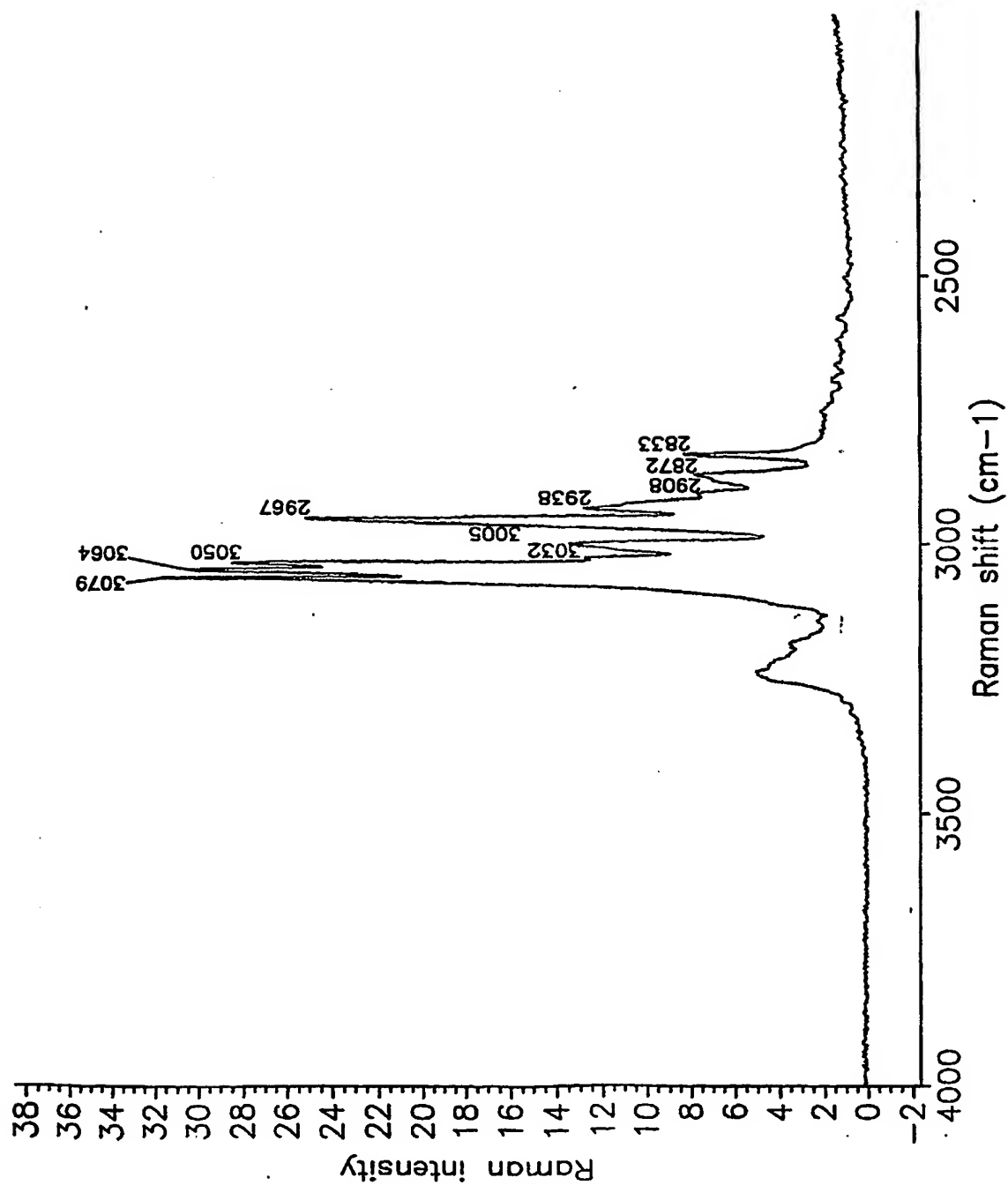
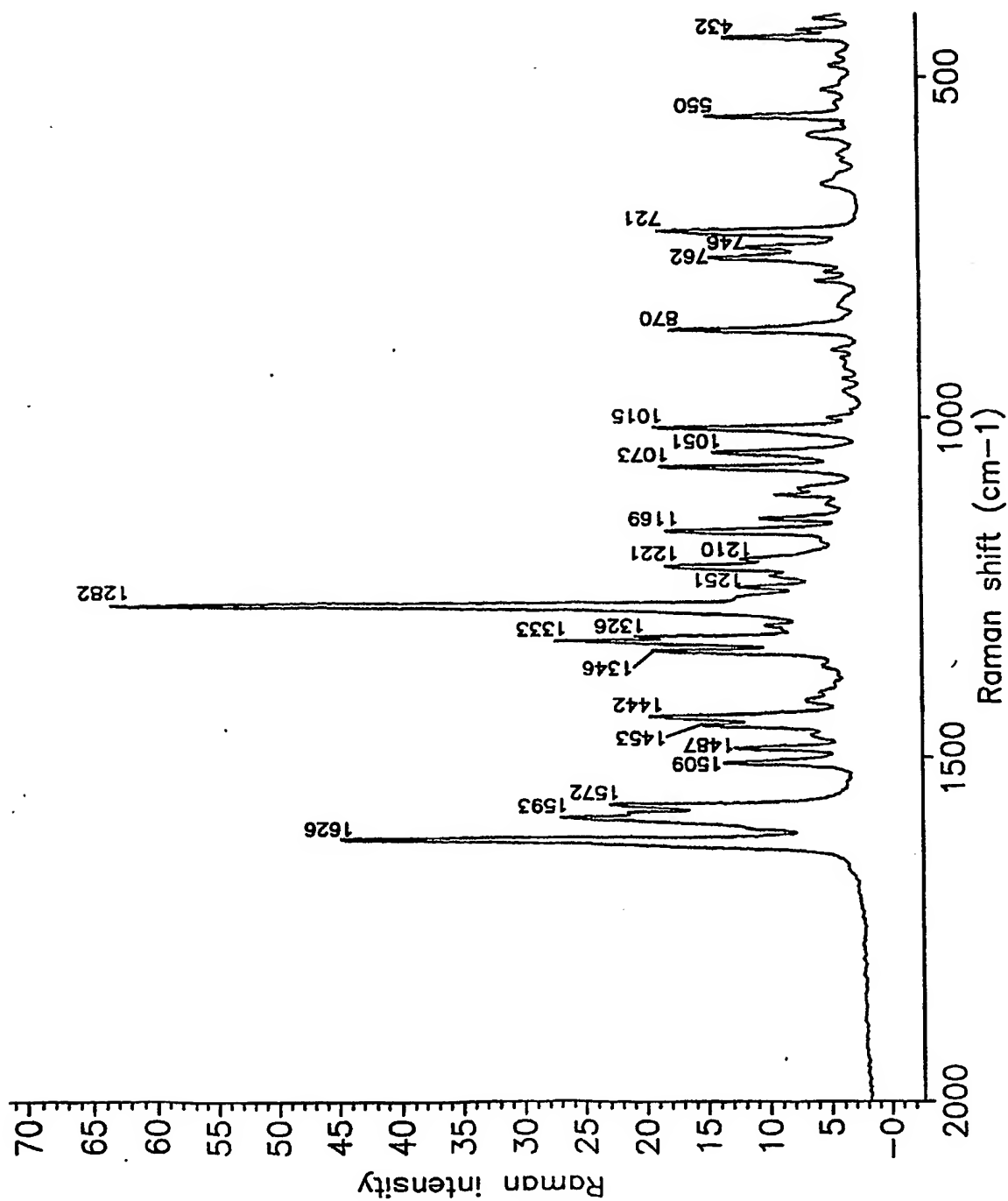


FIG. 4

5/82



6/82

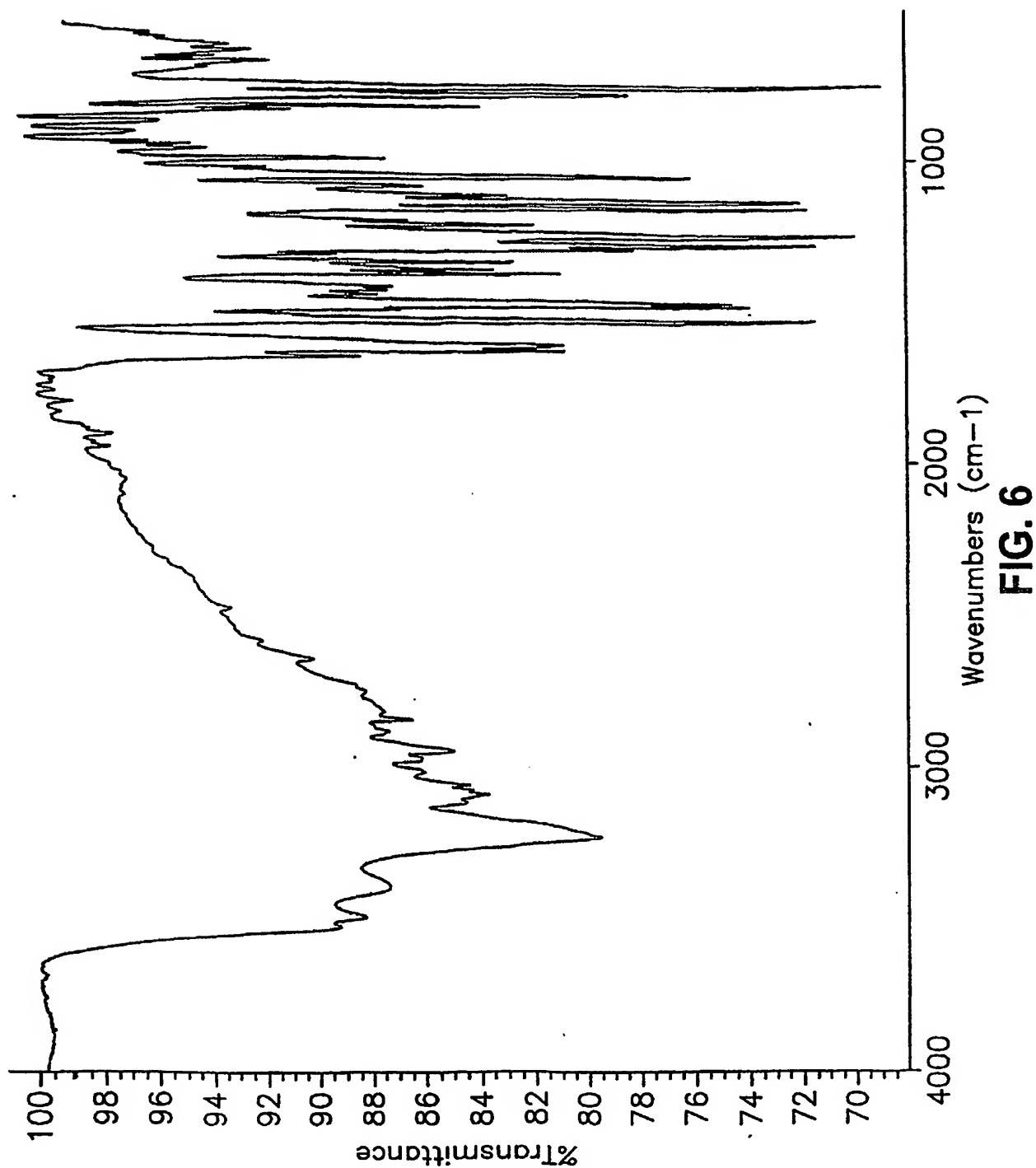


FIG. 6

7/82

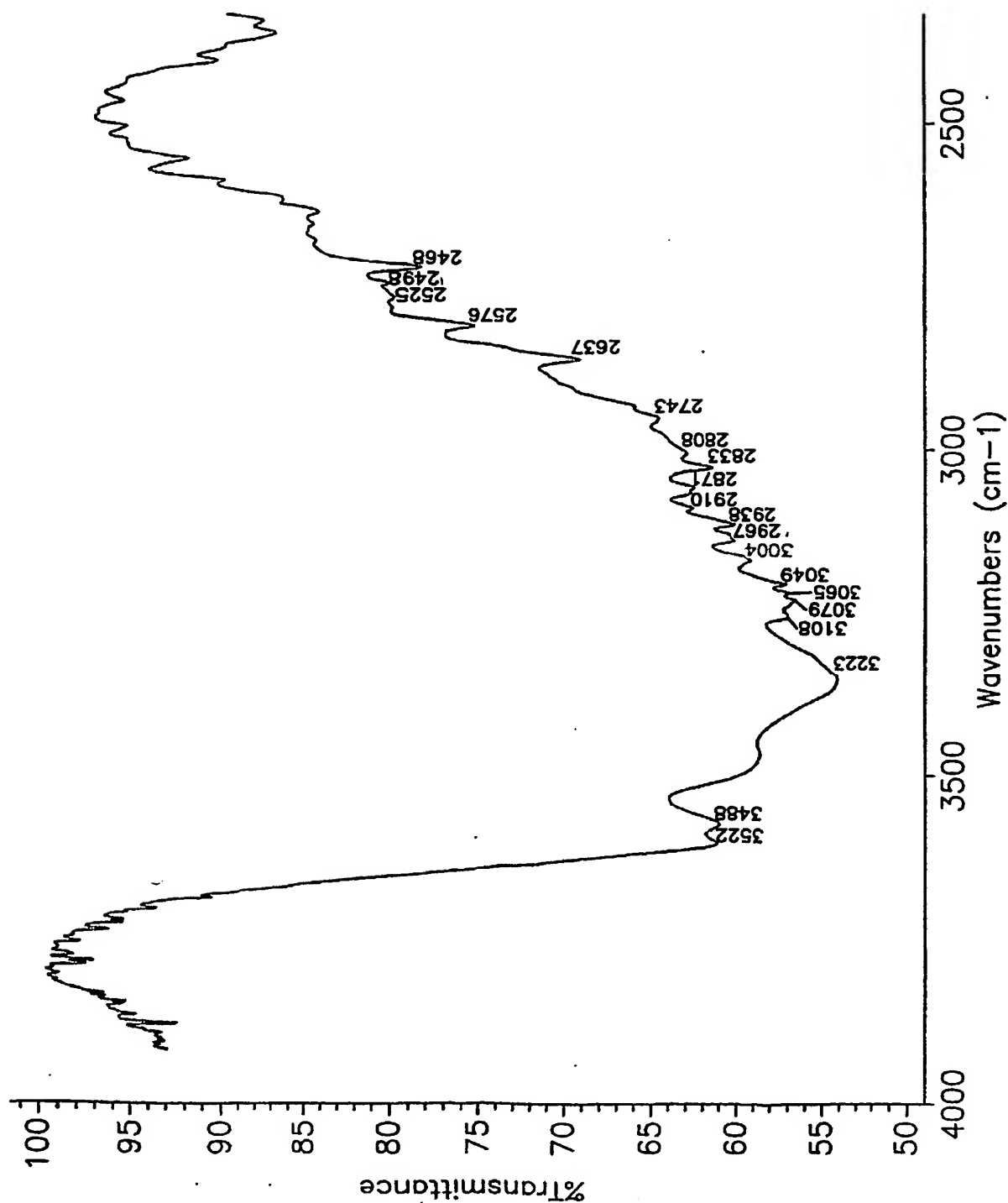


FIG. 7

8/82

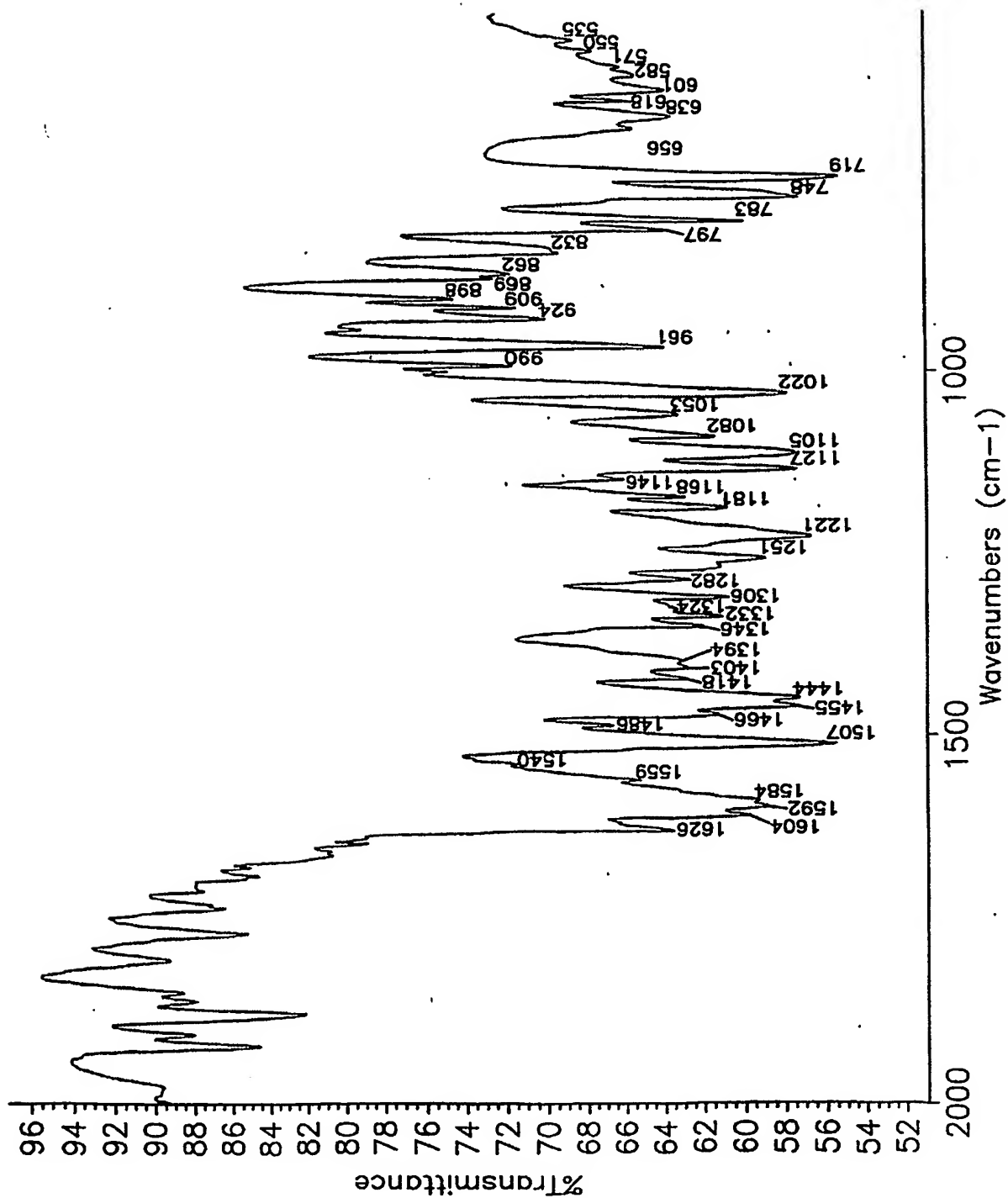


FIG. 8

9/82

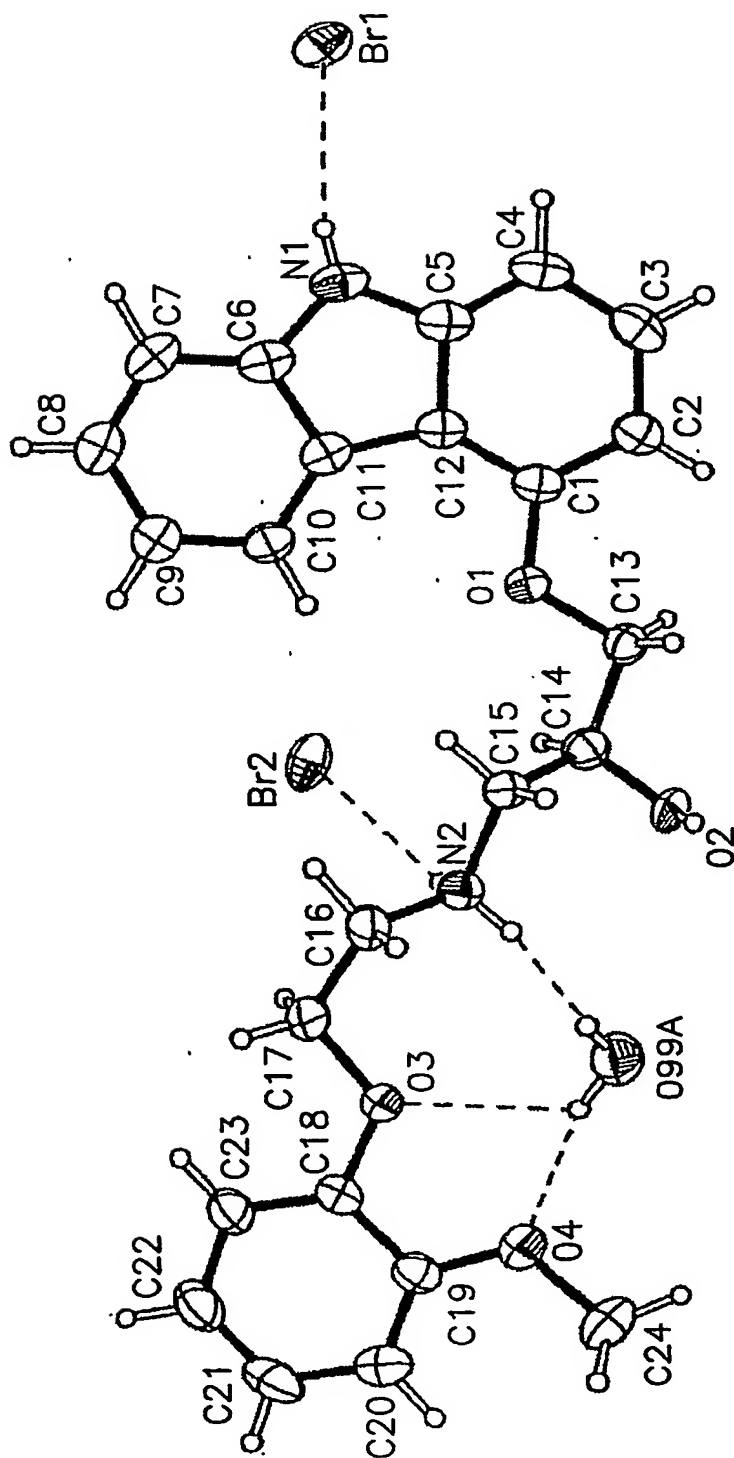


FIG. 9

10/82

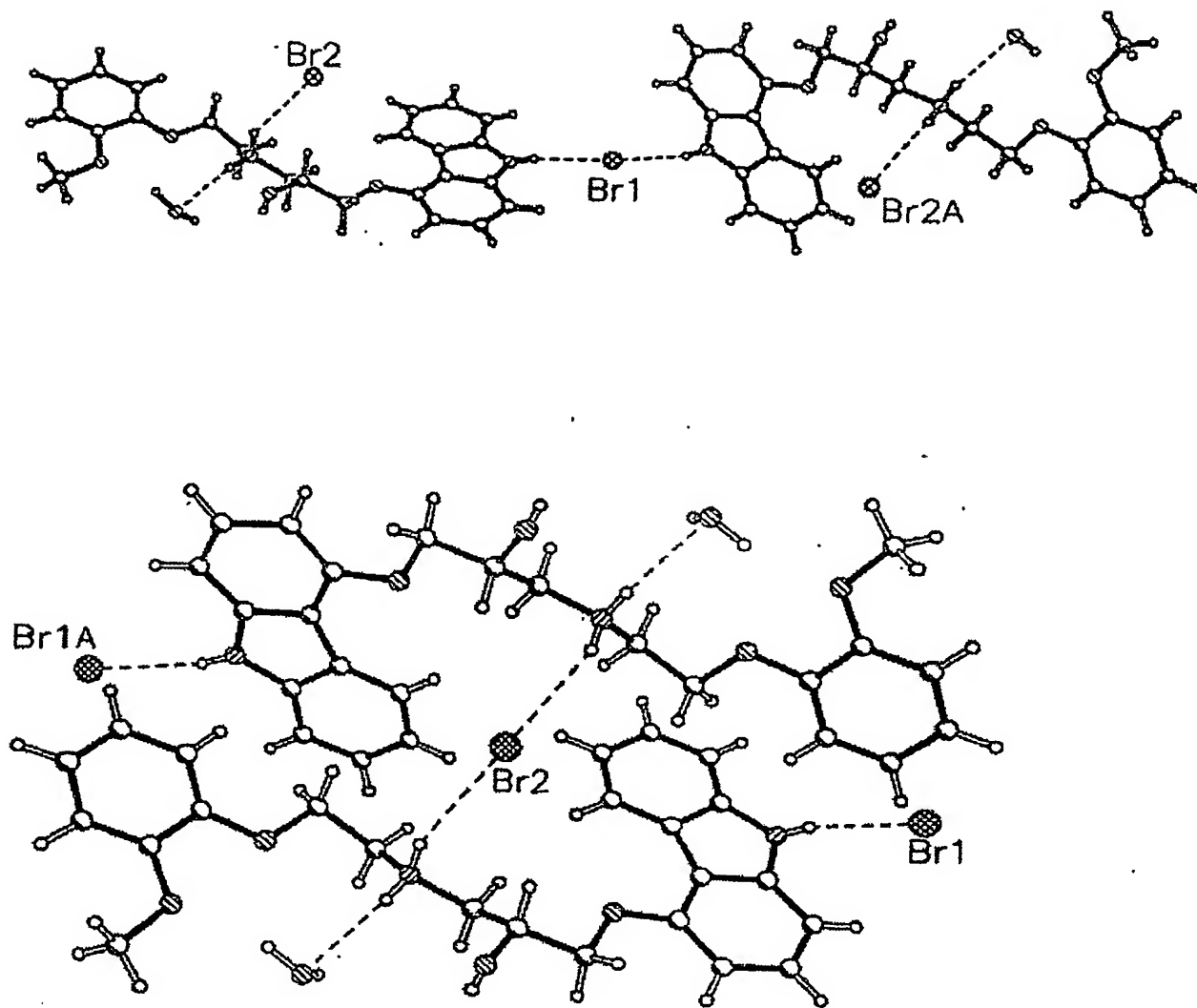


FIG. 10

11/82

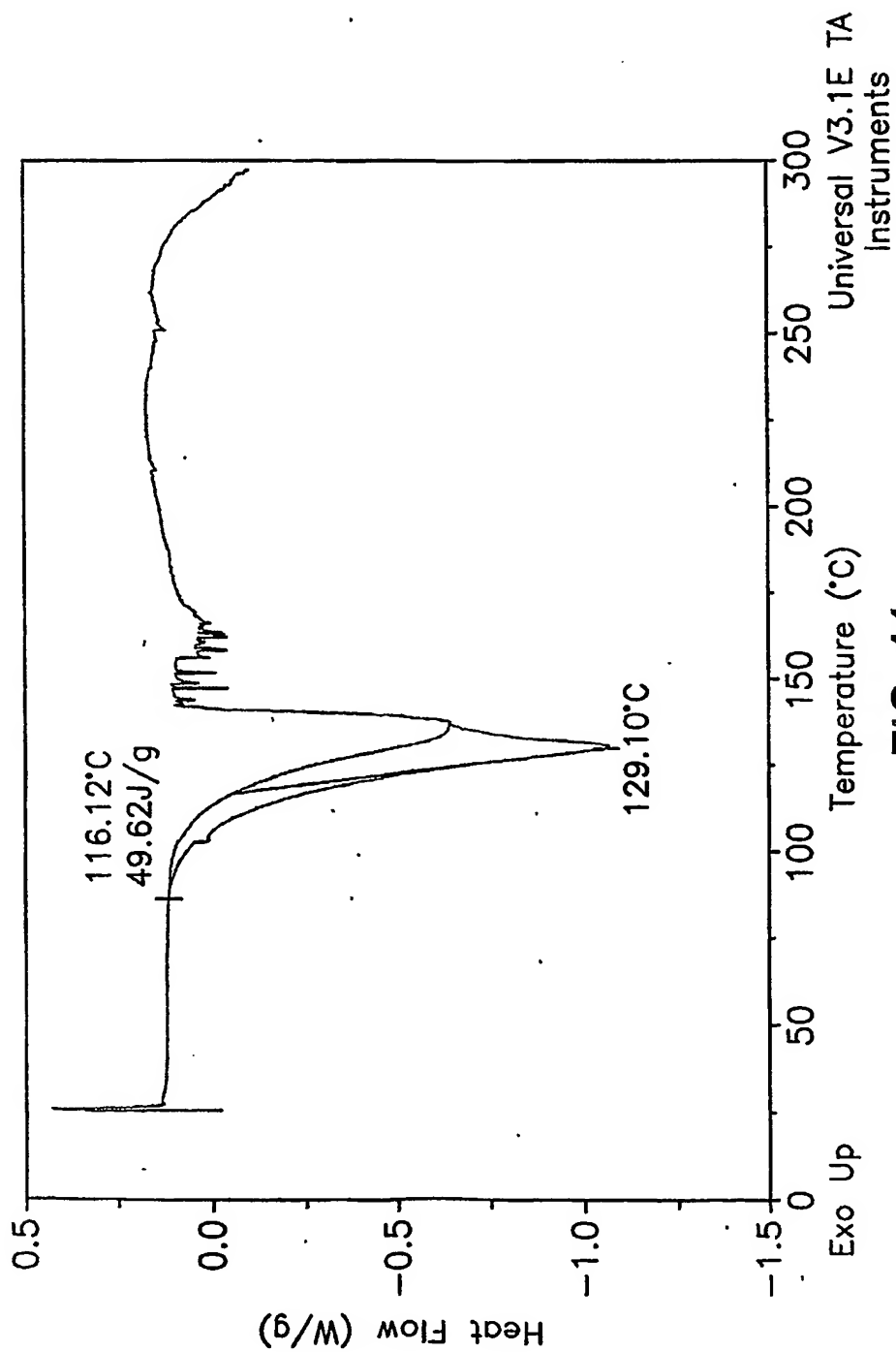


FIG. 11

12/82

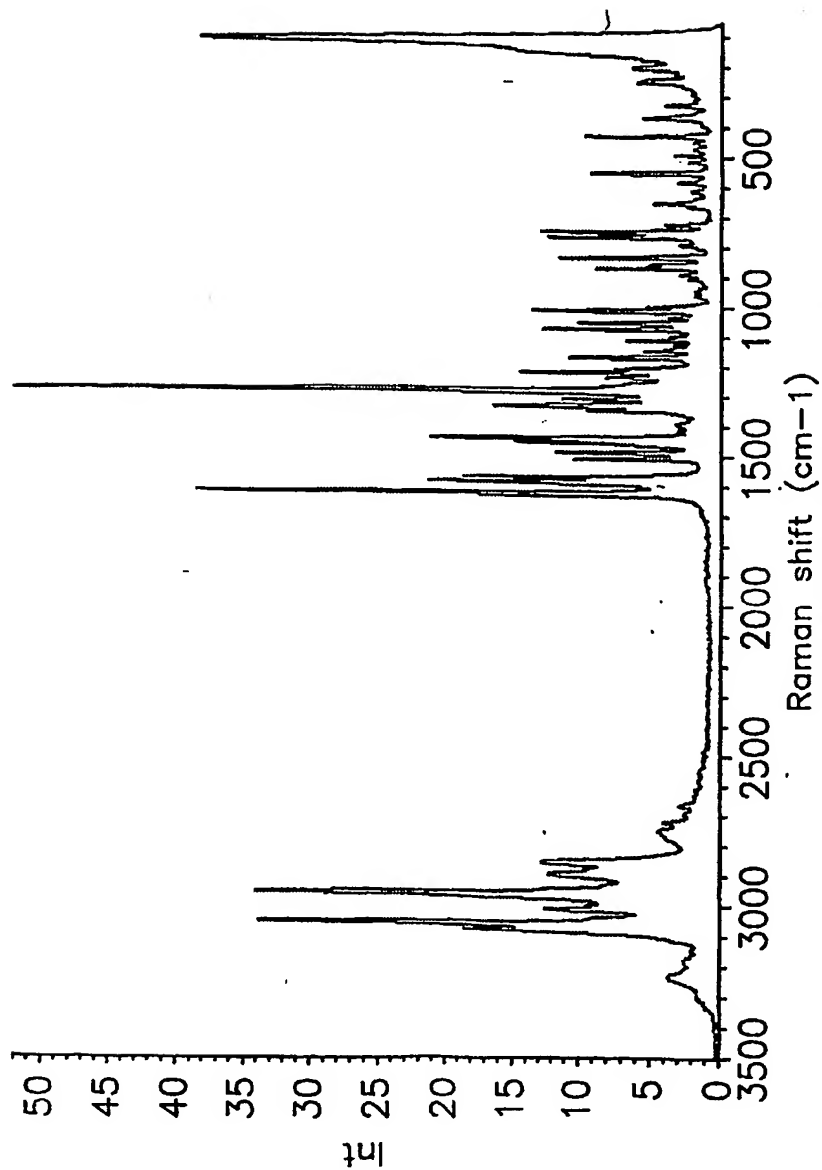


FIG. 12

13/82

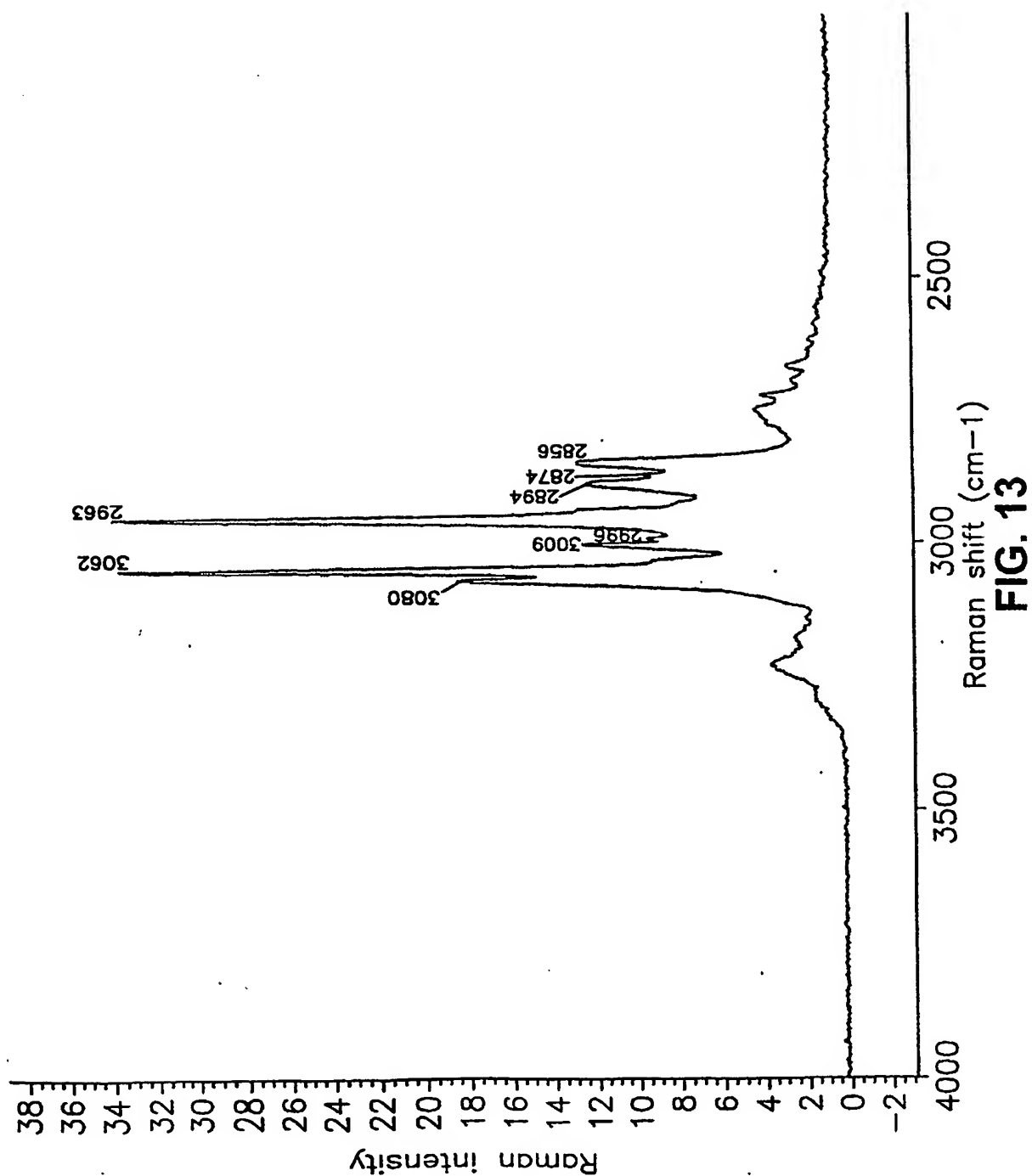


FIG. 13

14/82

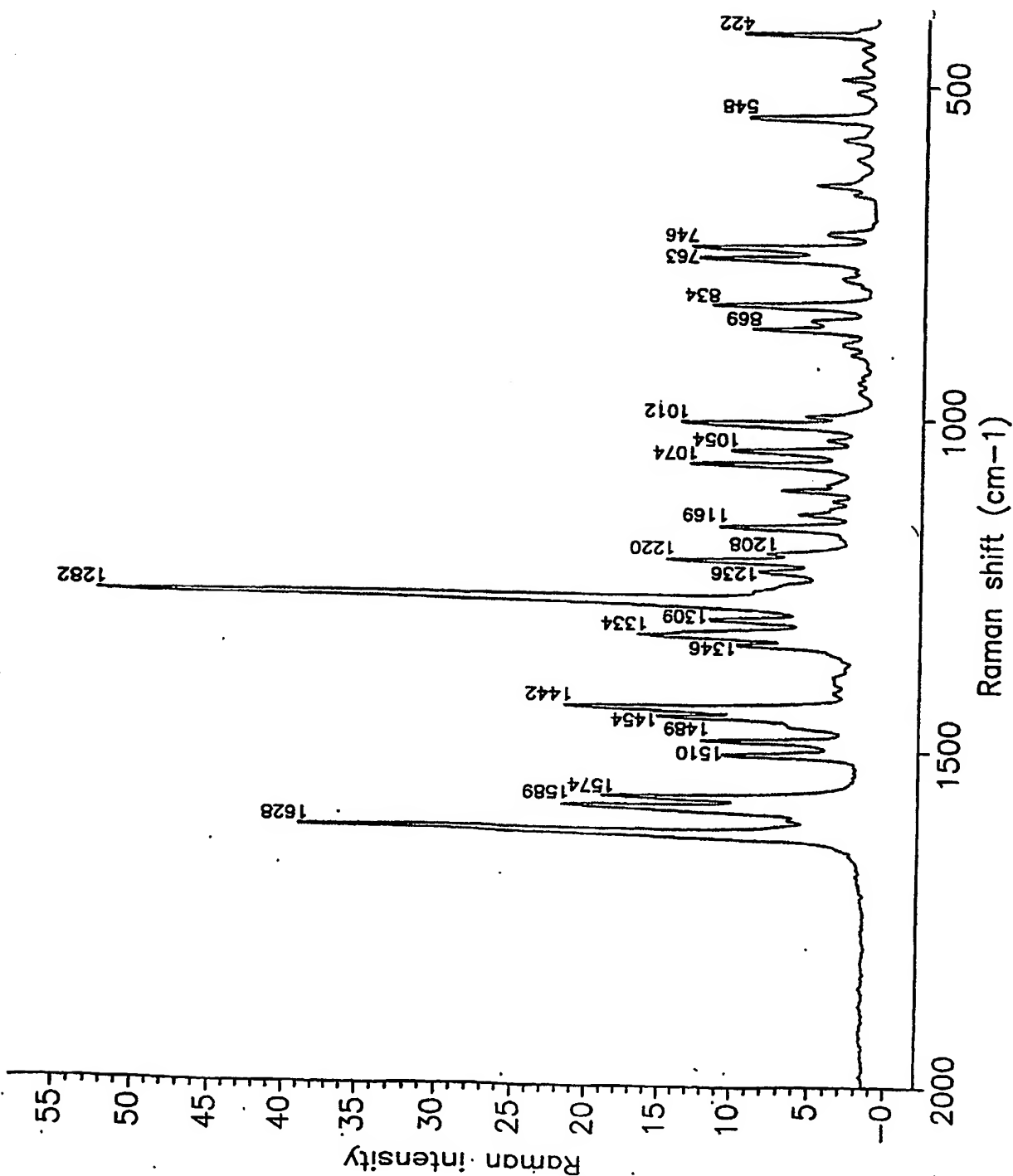


FIG. 14

15/82

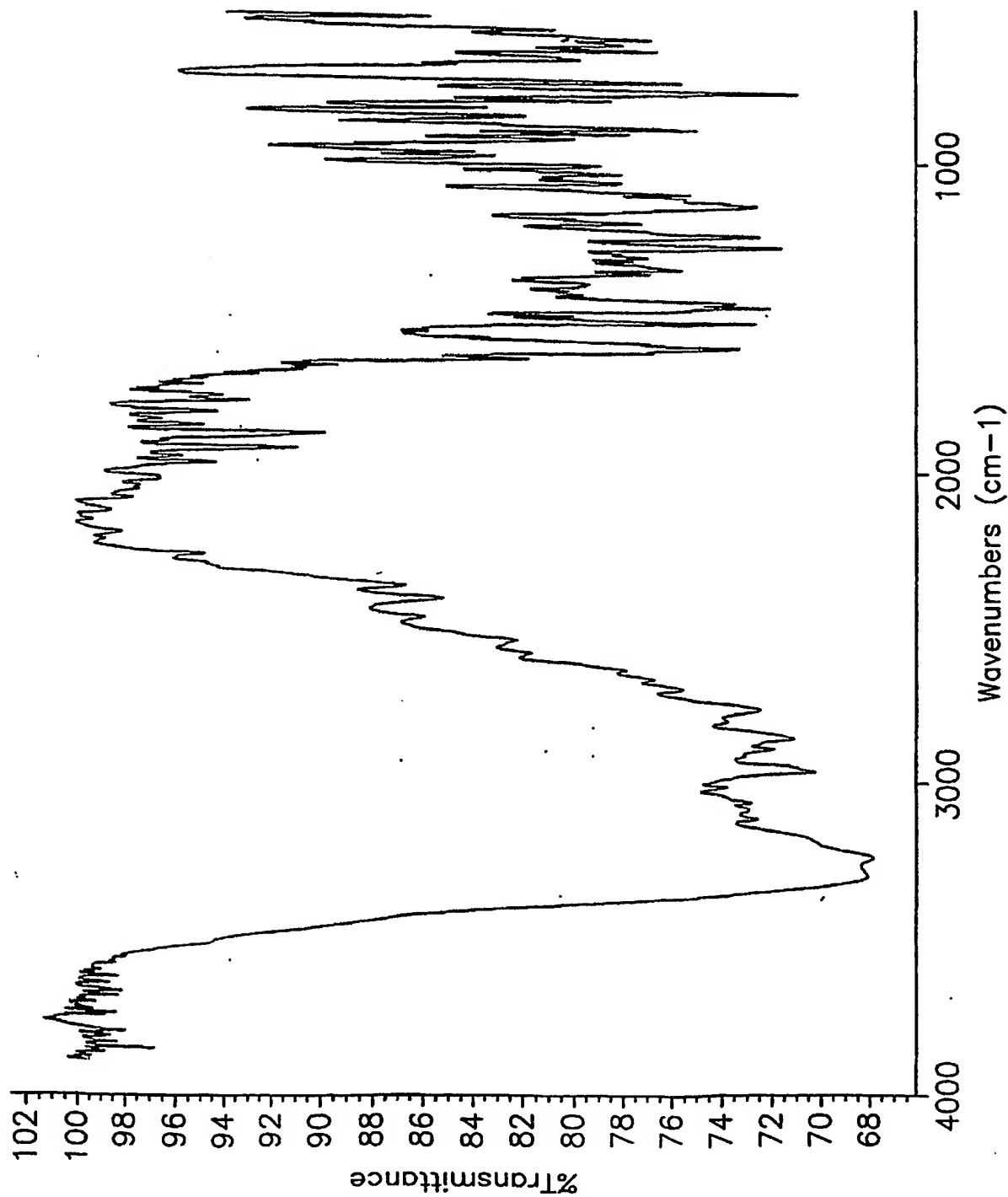
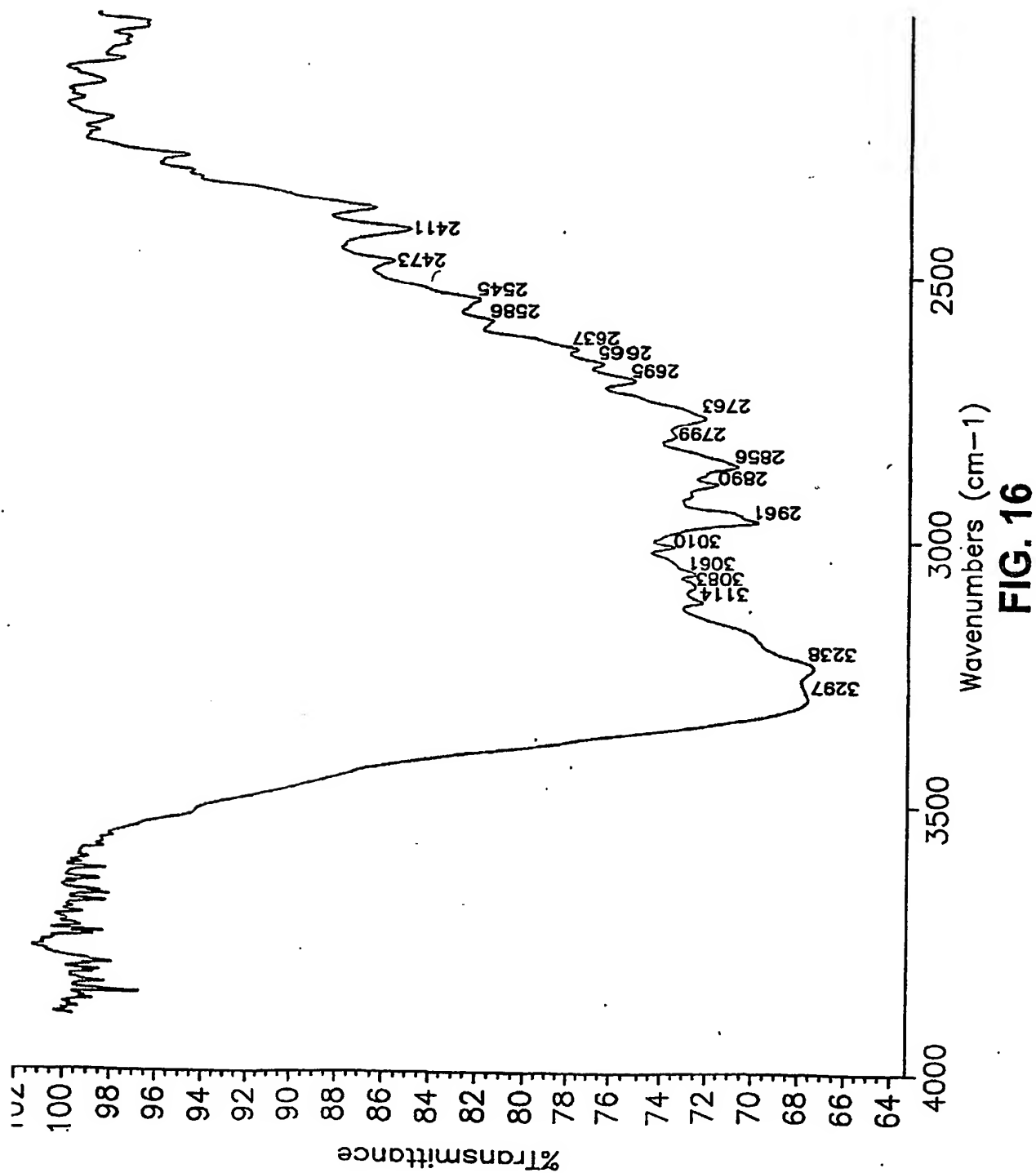
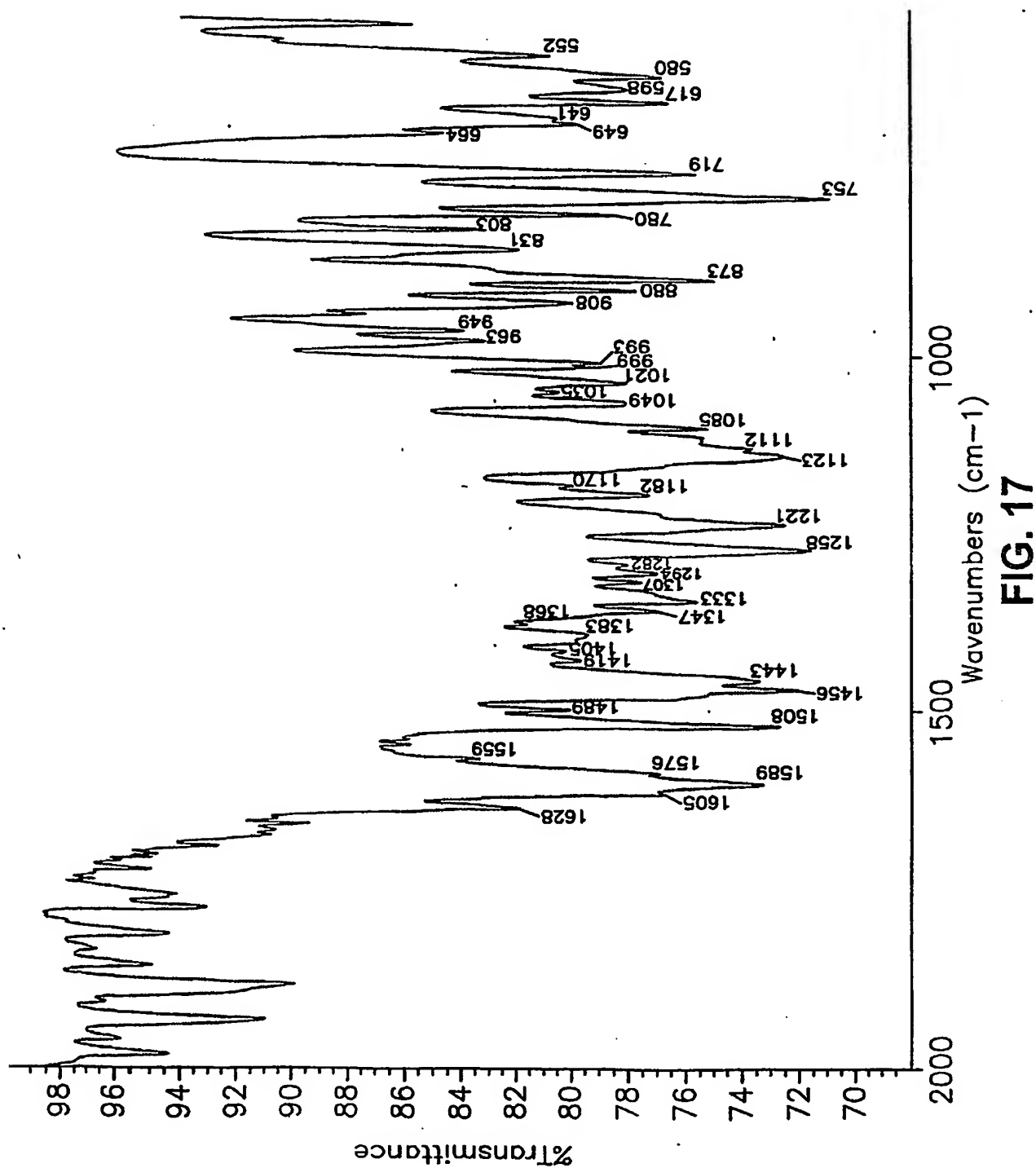


FIG. 15

16/82



17/82



18/82

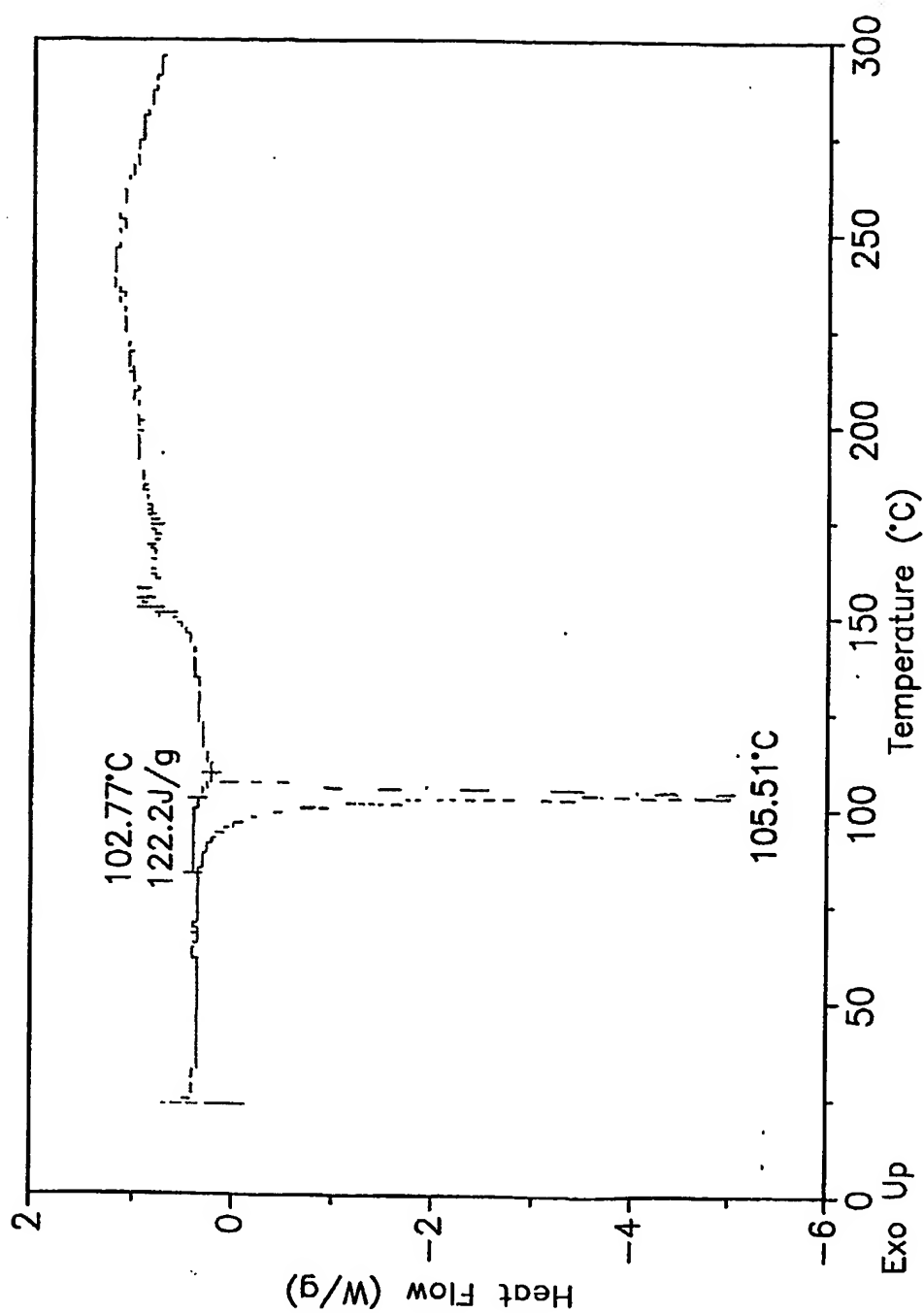
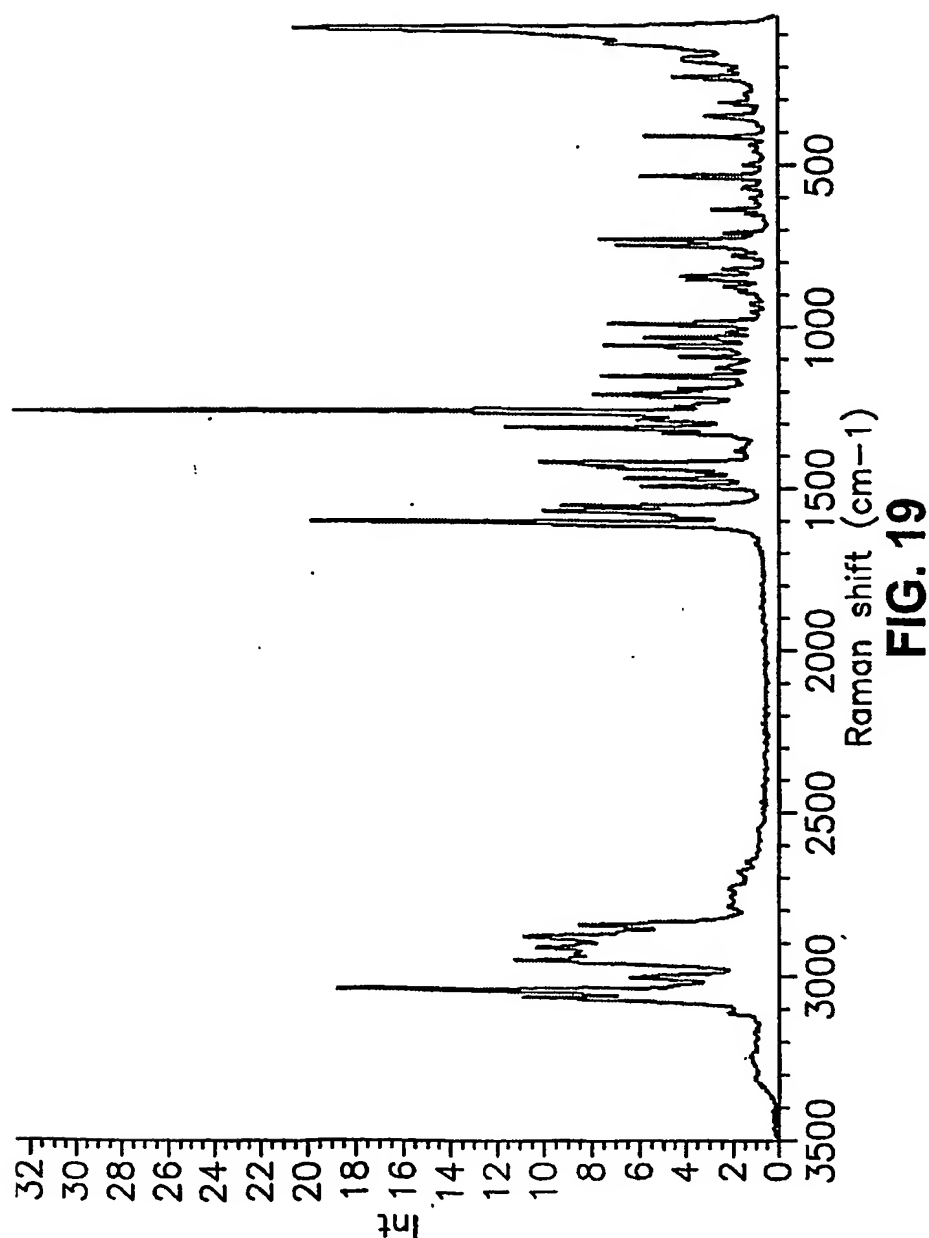


FIG. 18

19/82



20/82

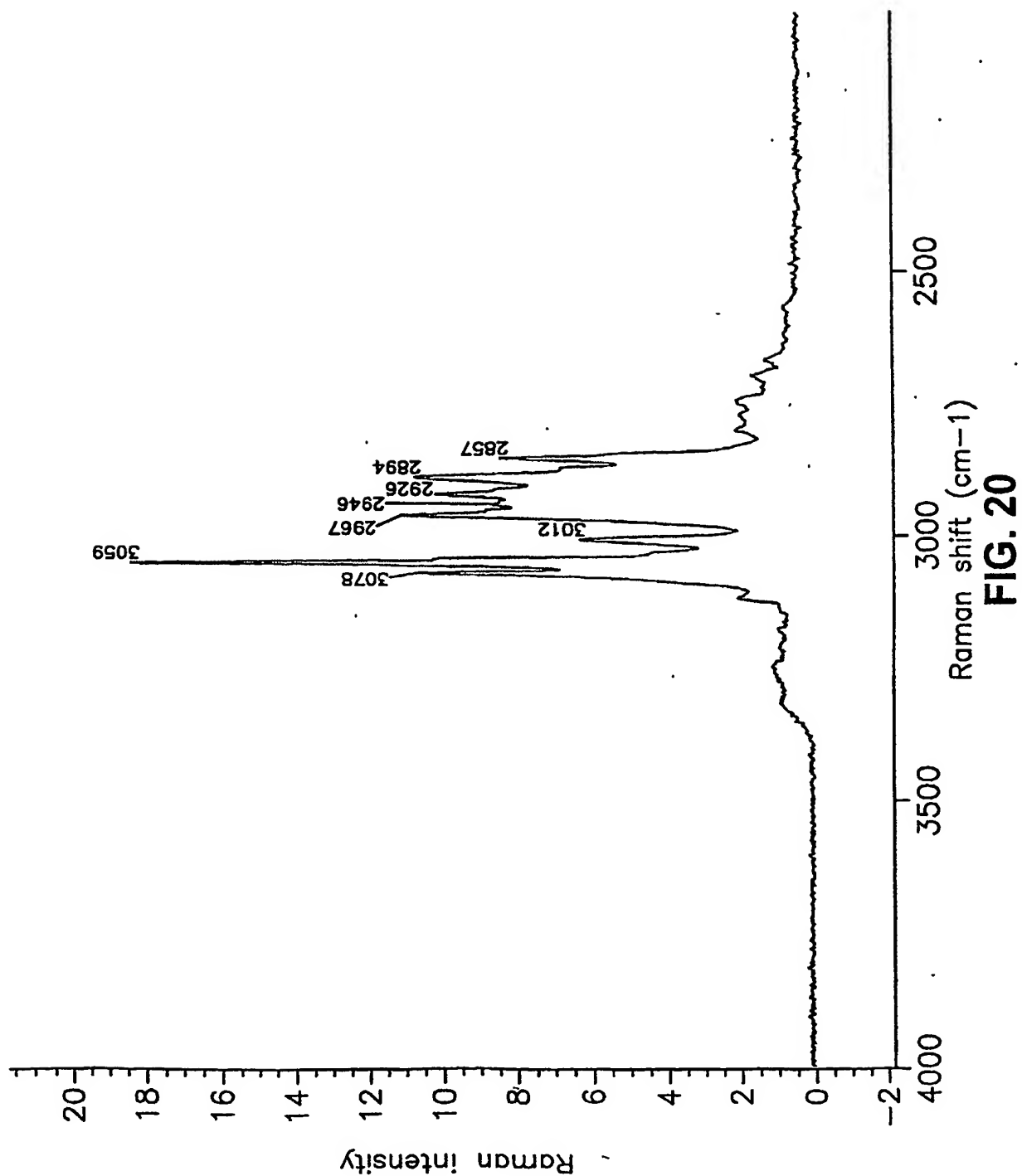


FIG. 20

21/82

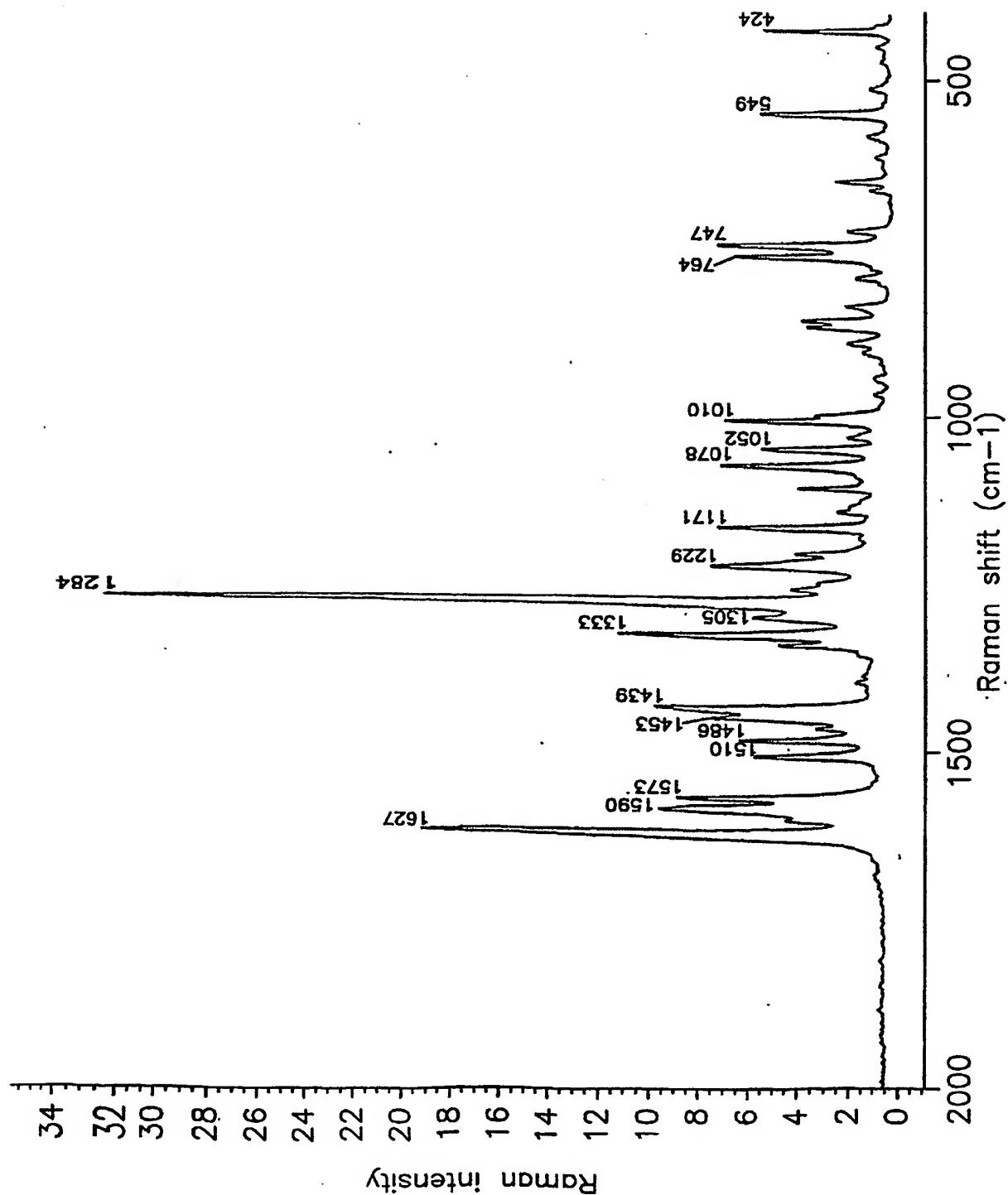
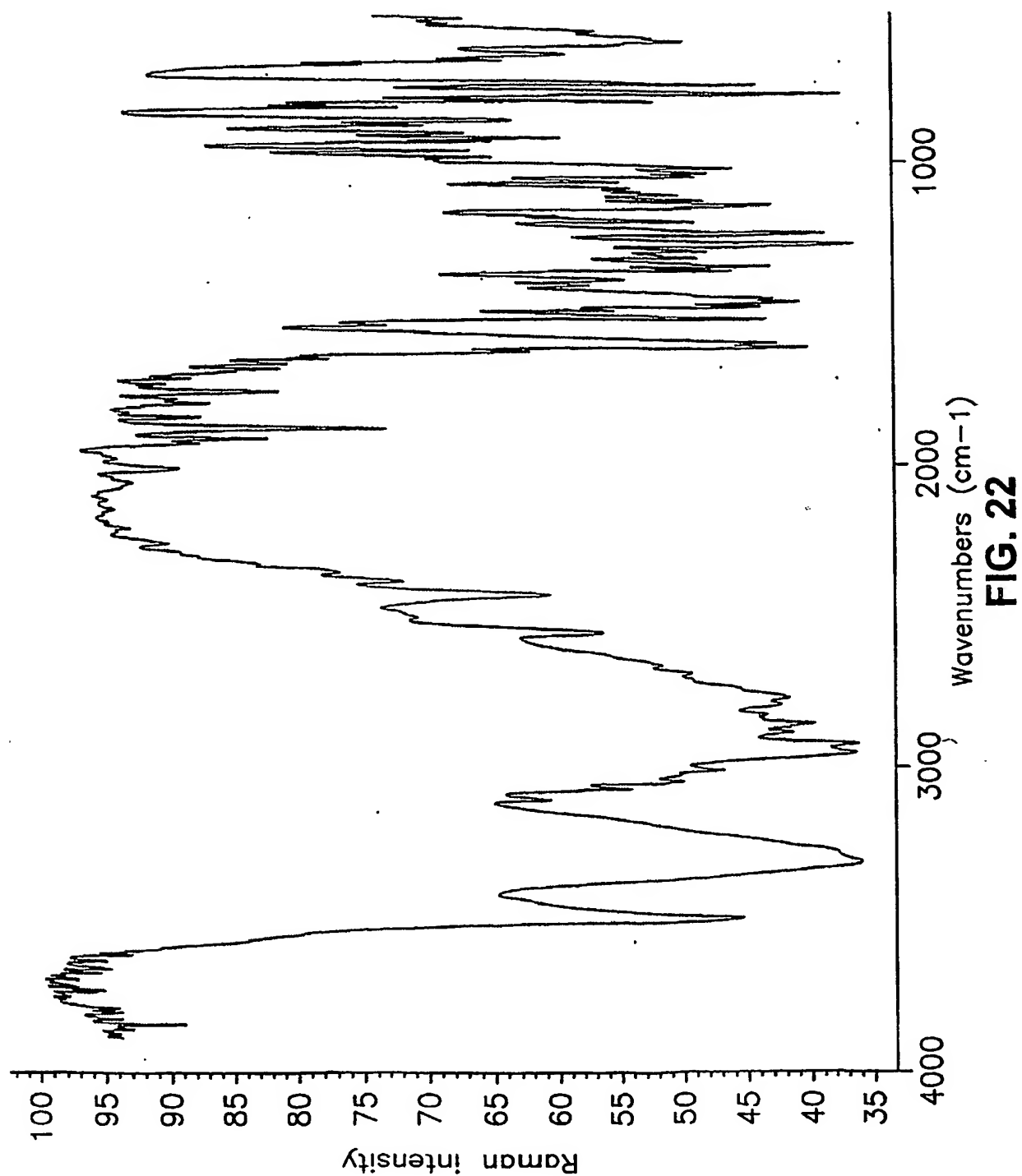


FIG. 21

22/82



23/82

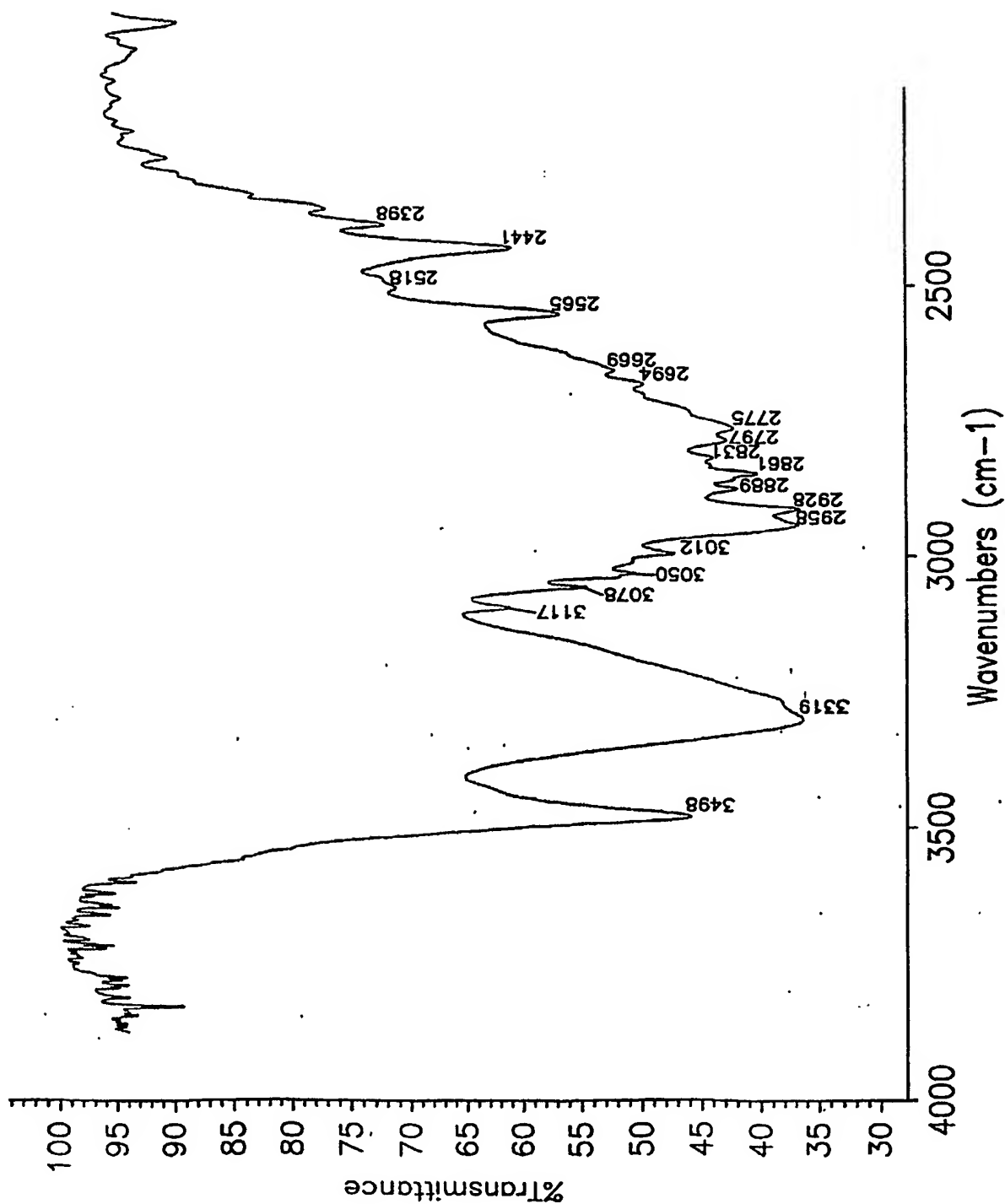


FIG. 23

24/82

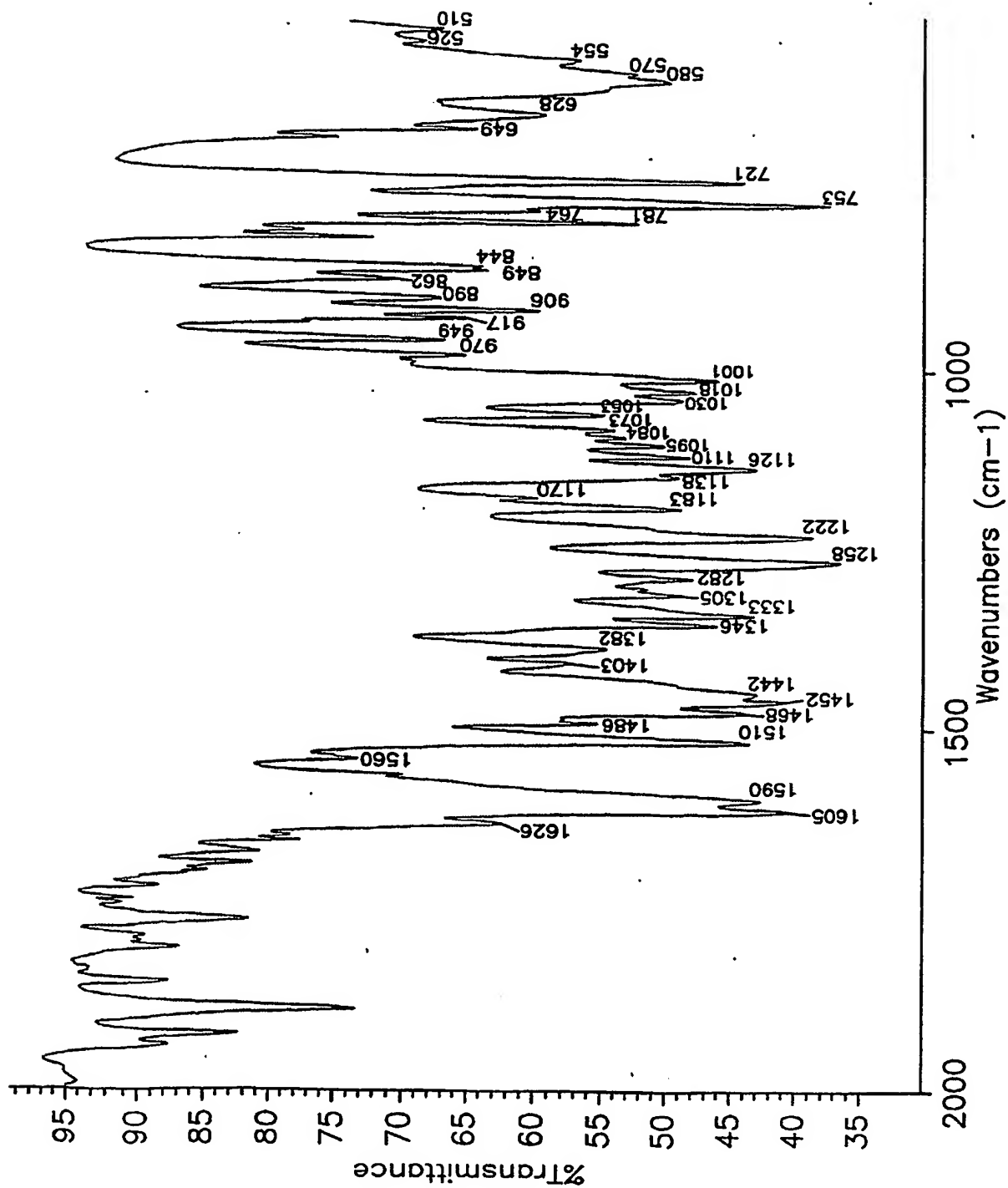


FIG. 24

25/82

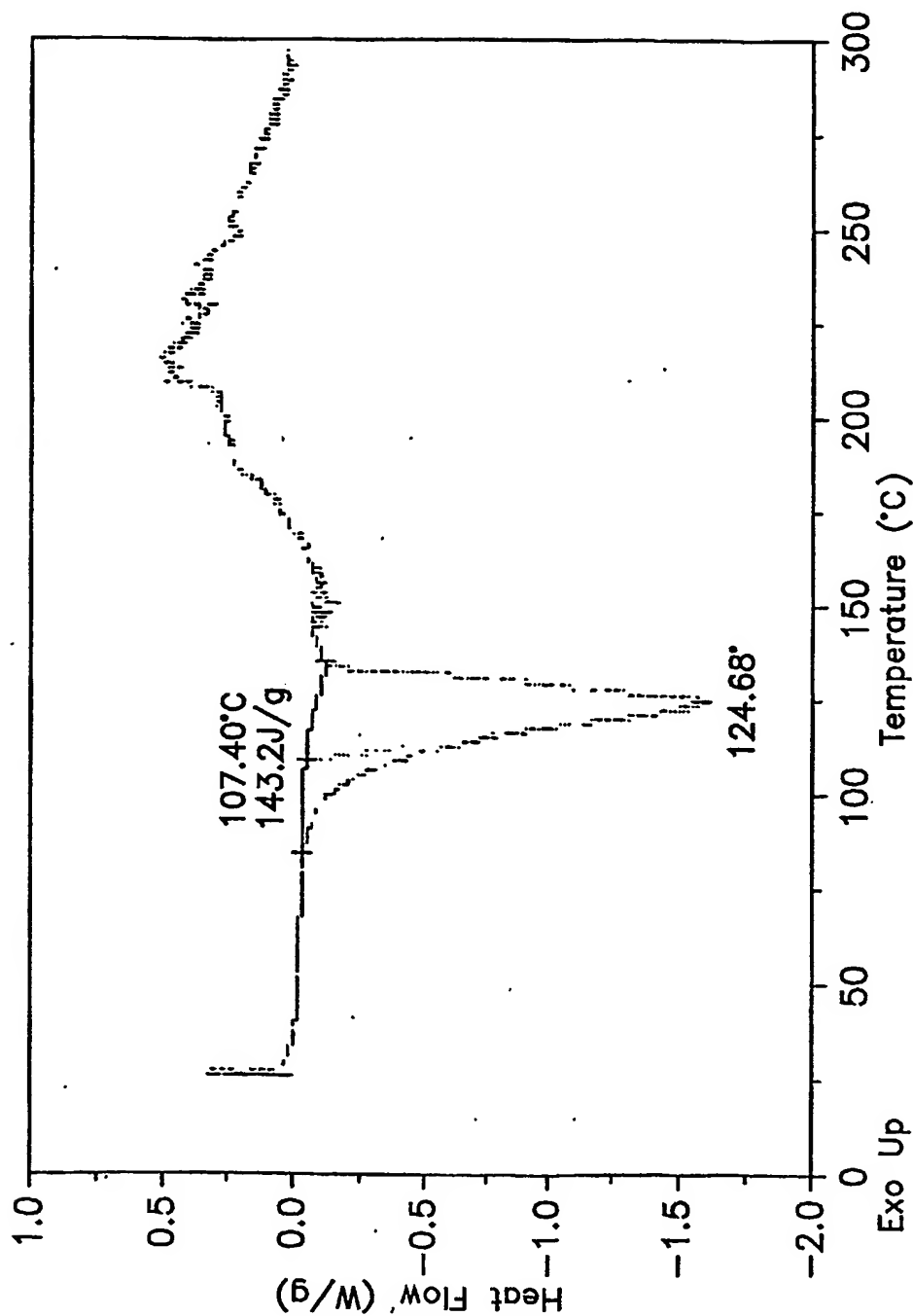


FIG. 25

26/82

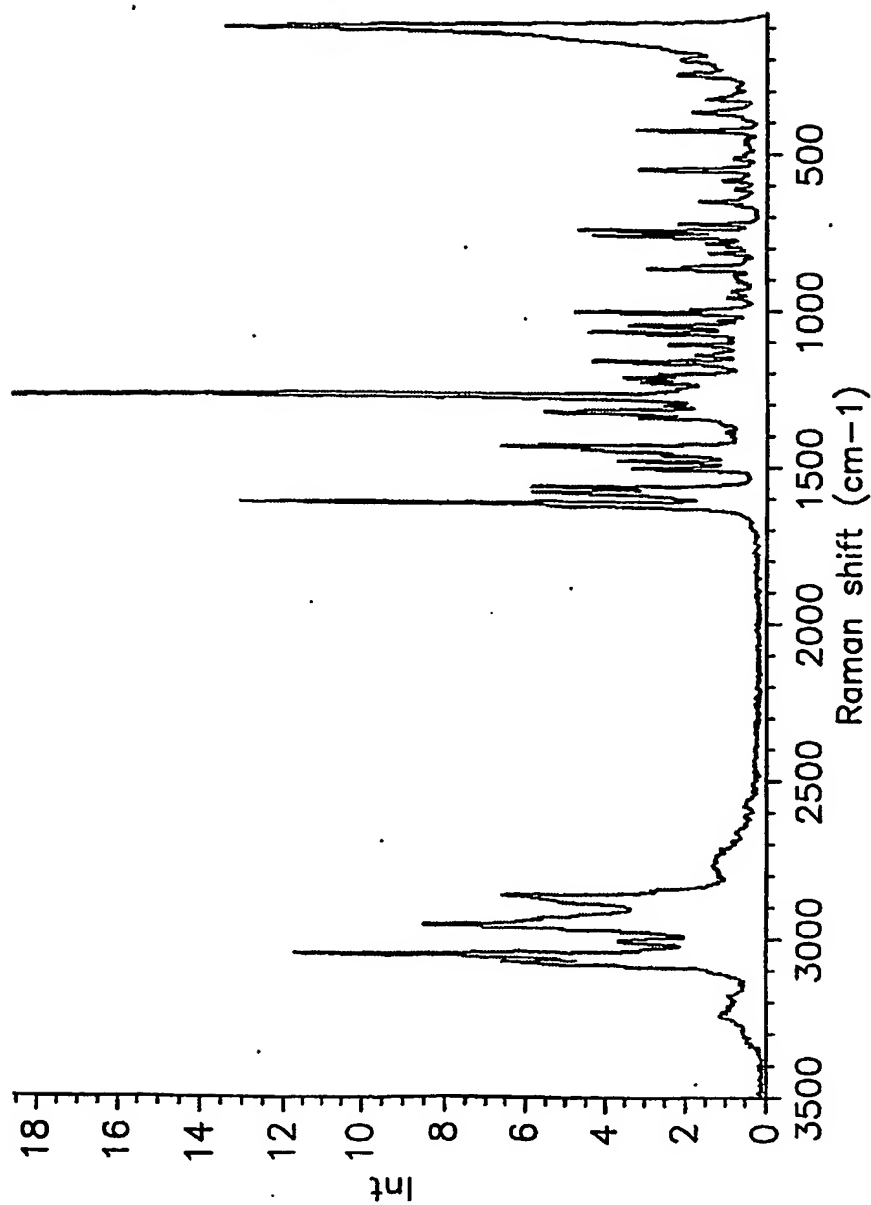


FIG. 26

27/82

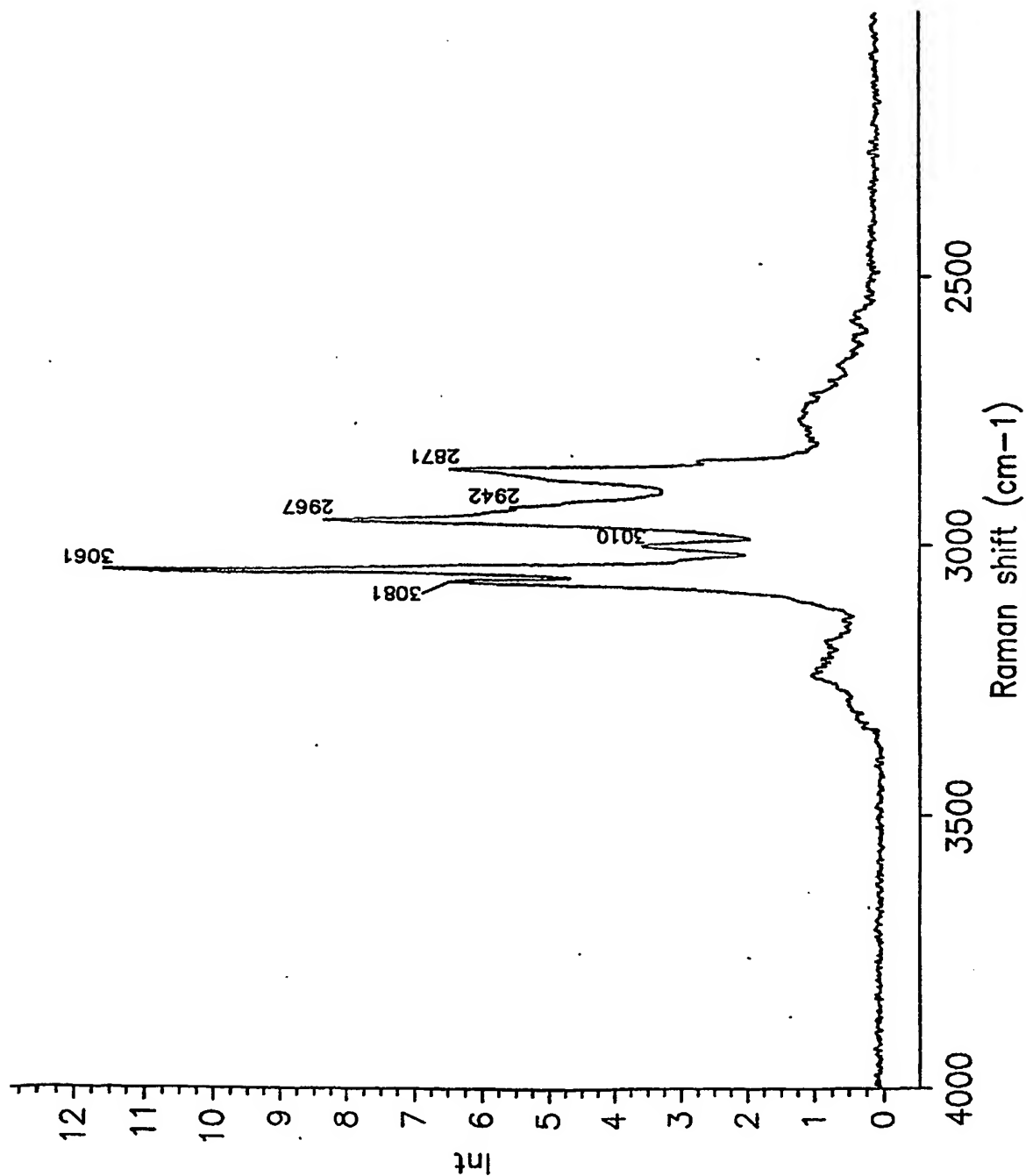


FIG. 27

28/82

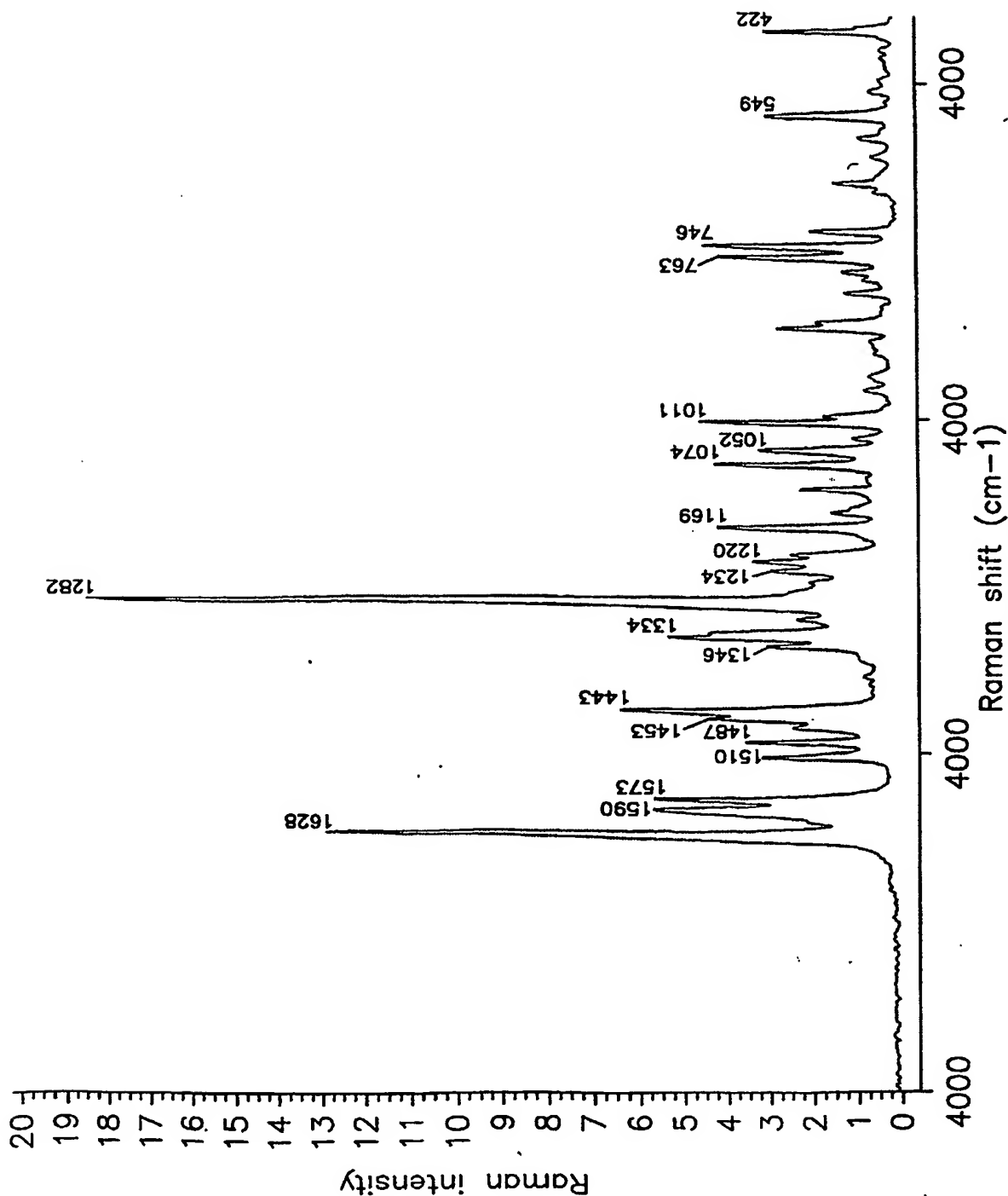


FIG. 28

29/82

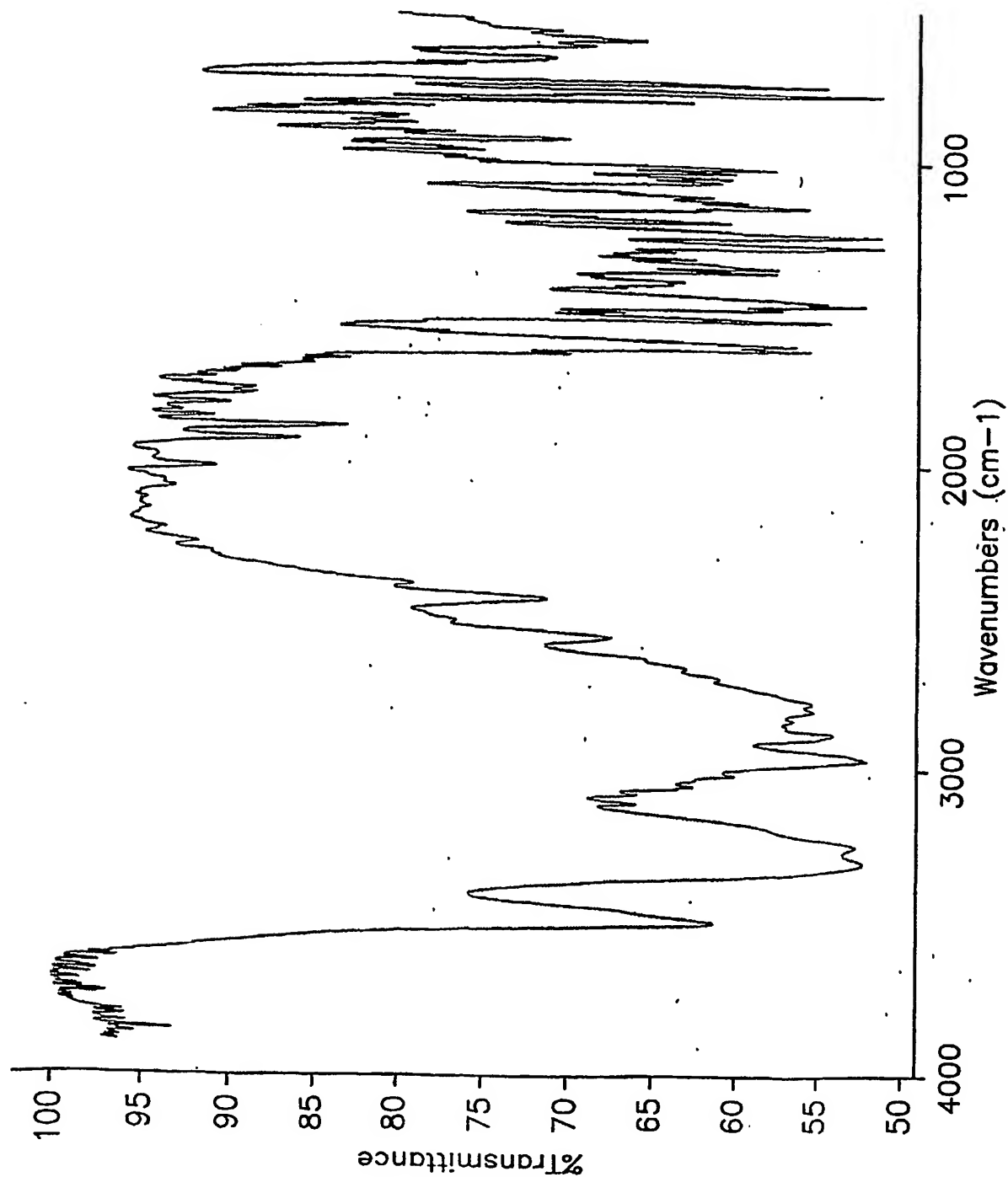


FIG. 29

30/82

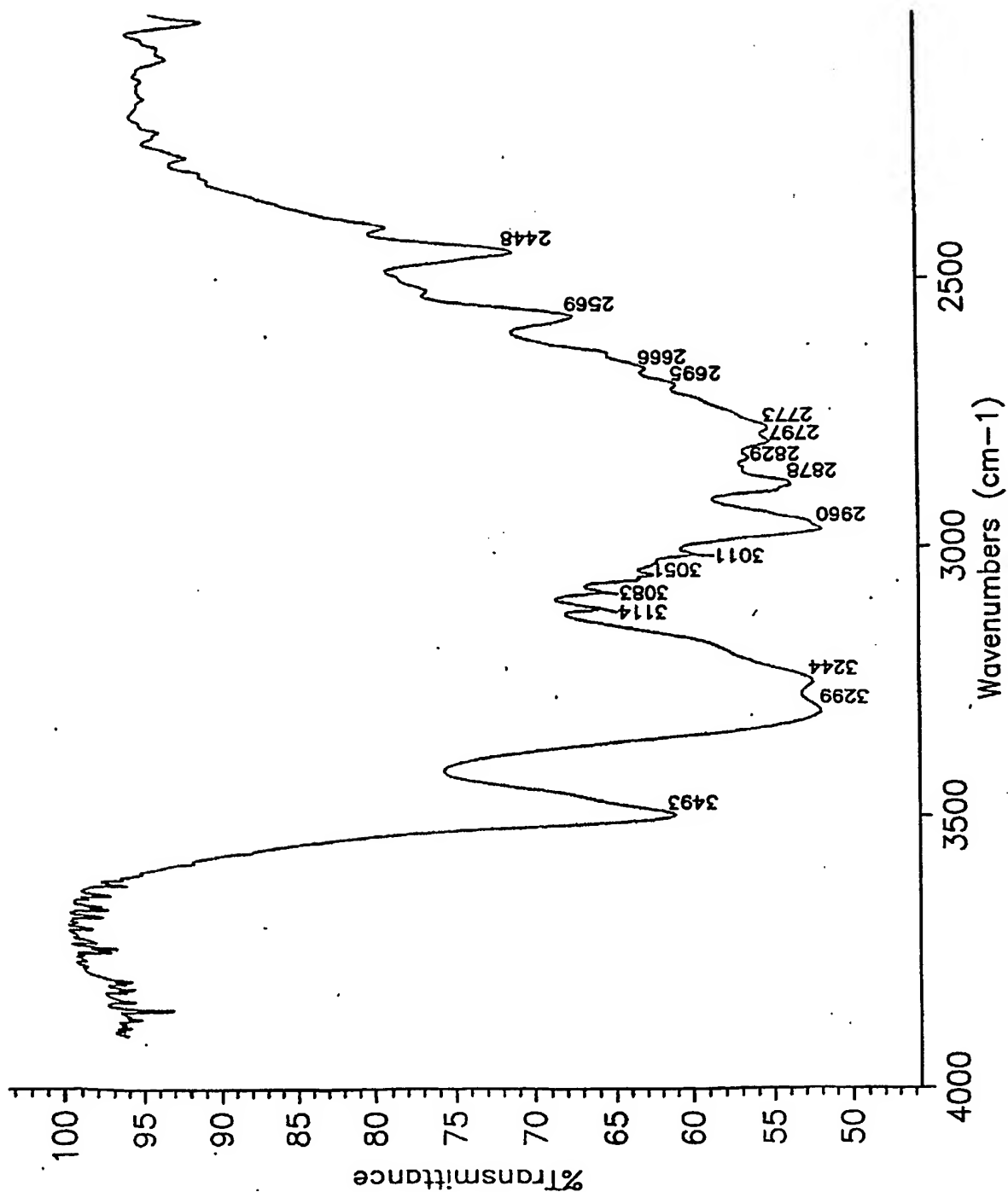


FIG. 30

31/82

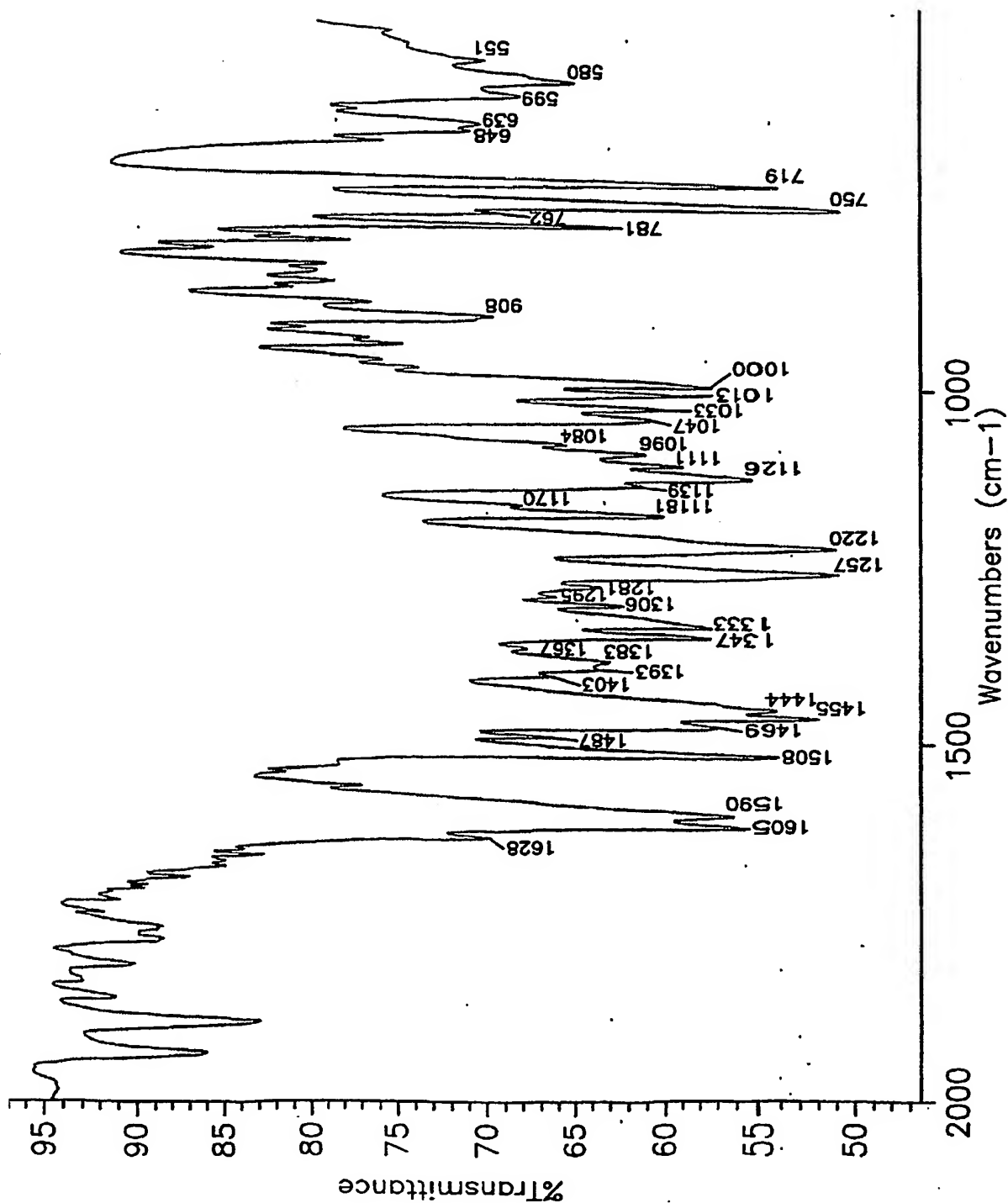


FIG. 31

32/82

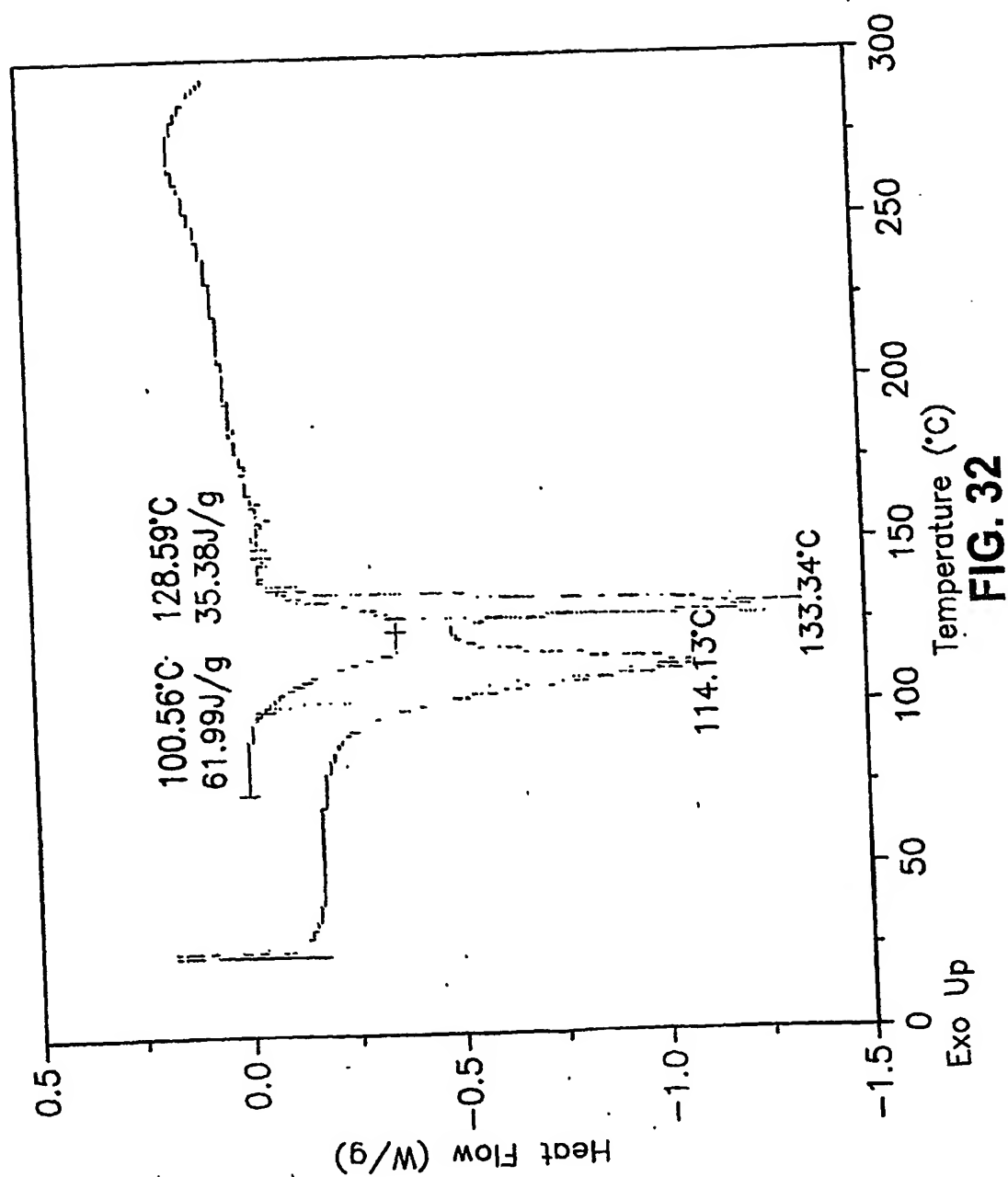


FIG. 32

33/82

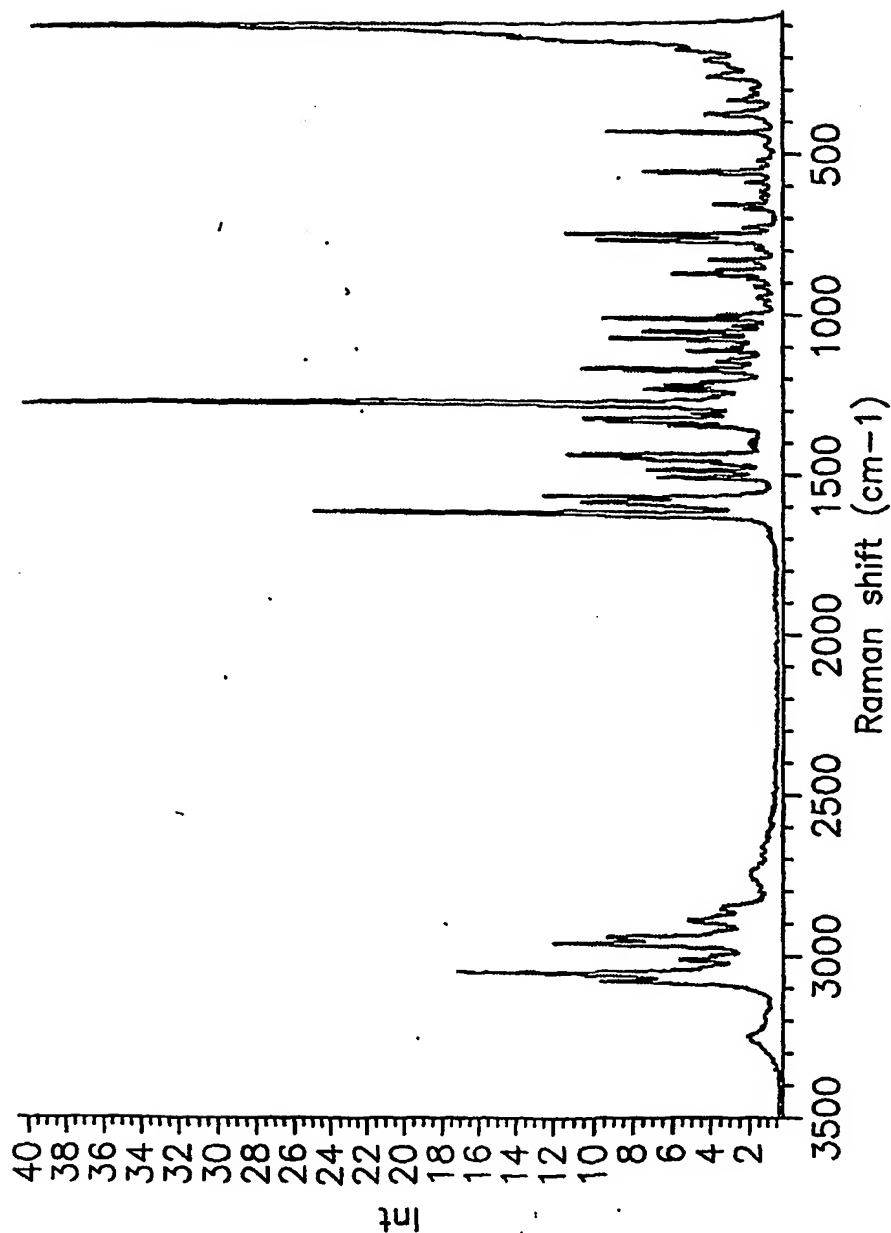


FIG. 33

34/82

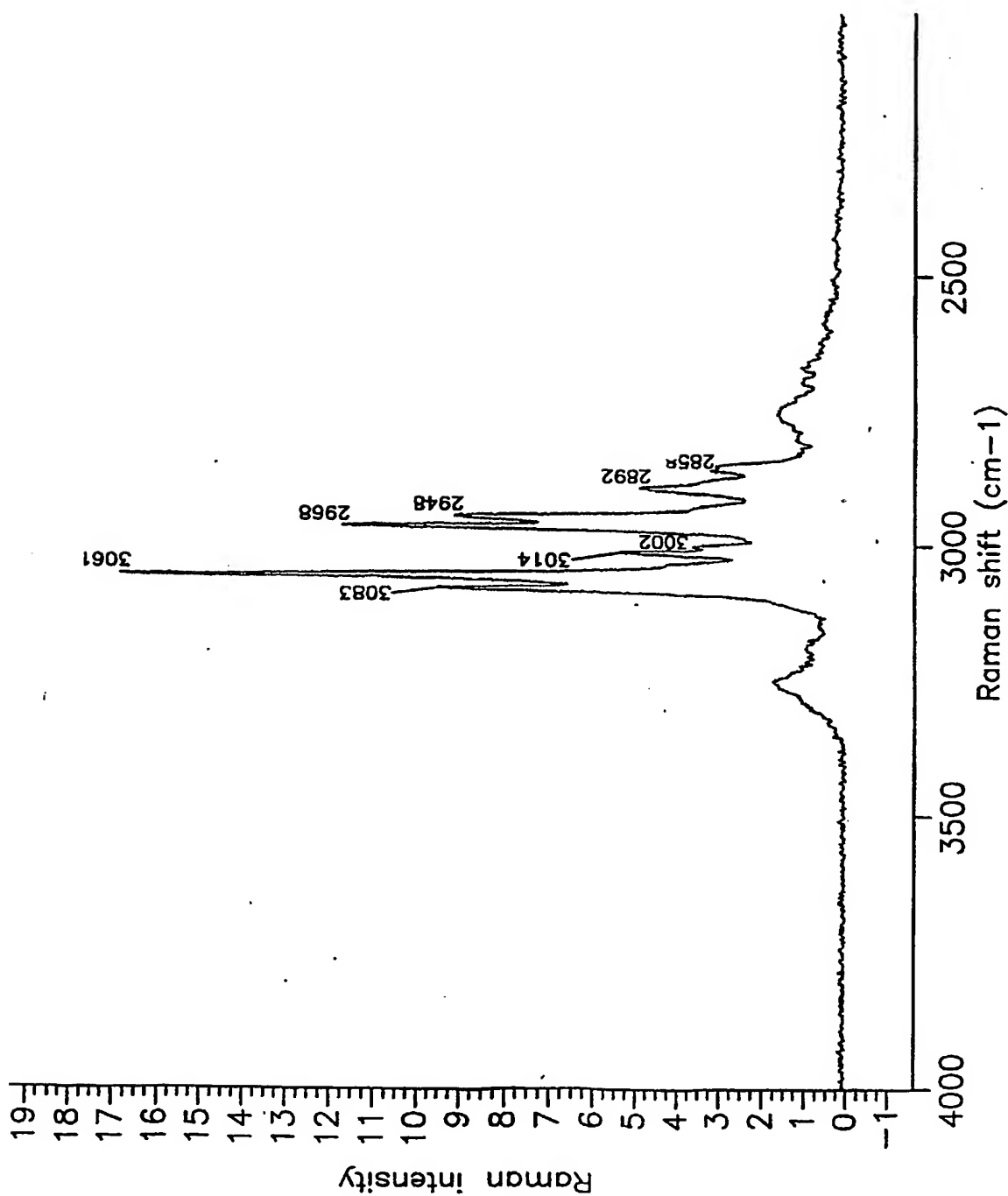


FIG. 34

35/82

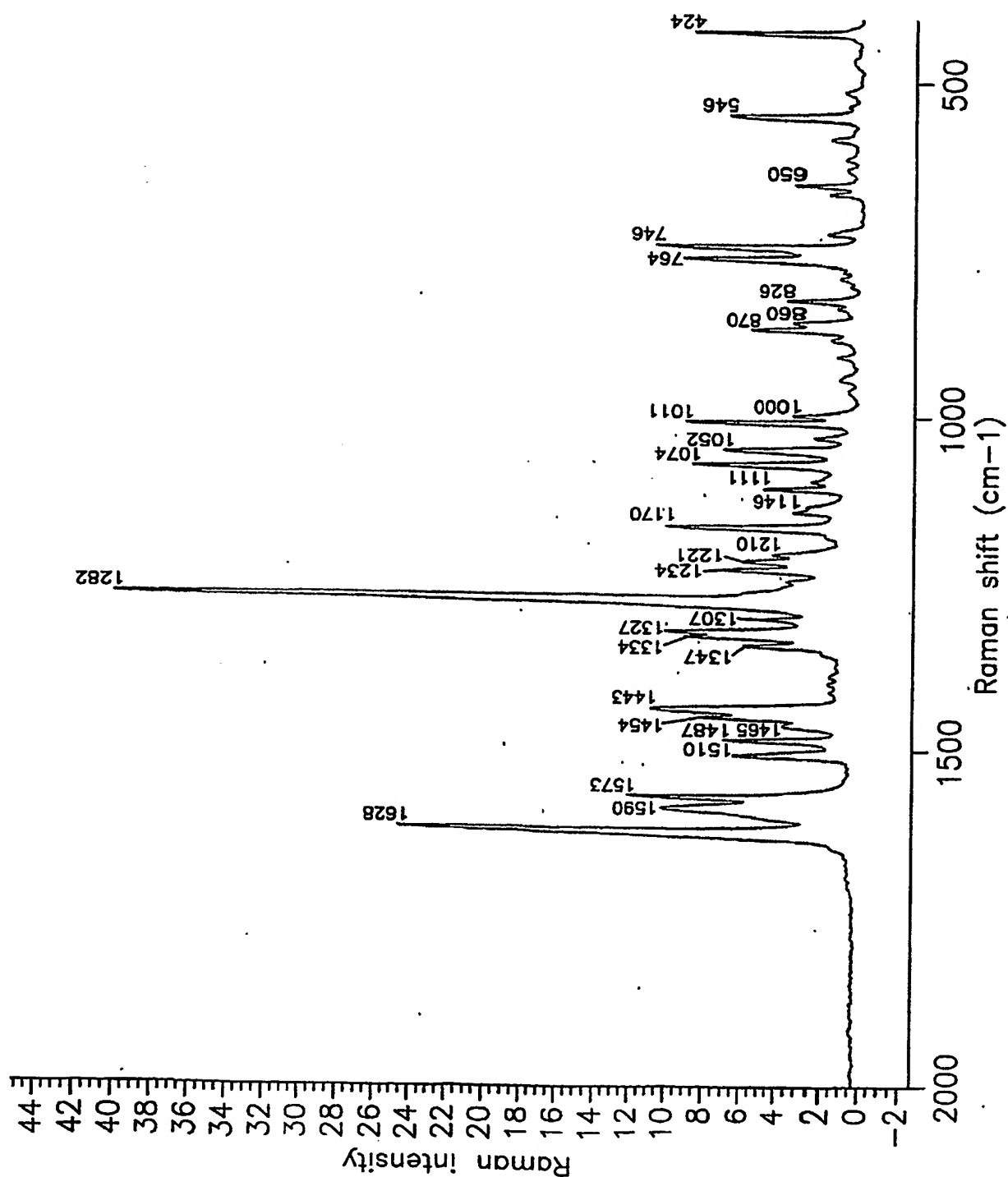


FIG. 35

36/82

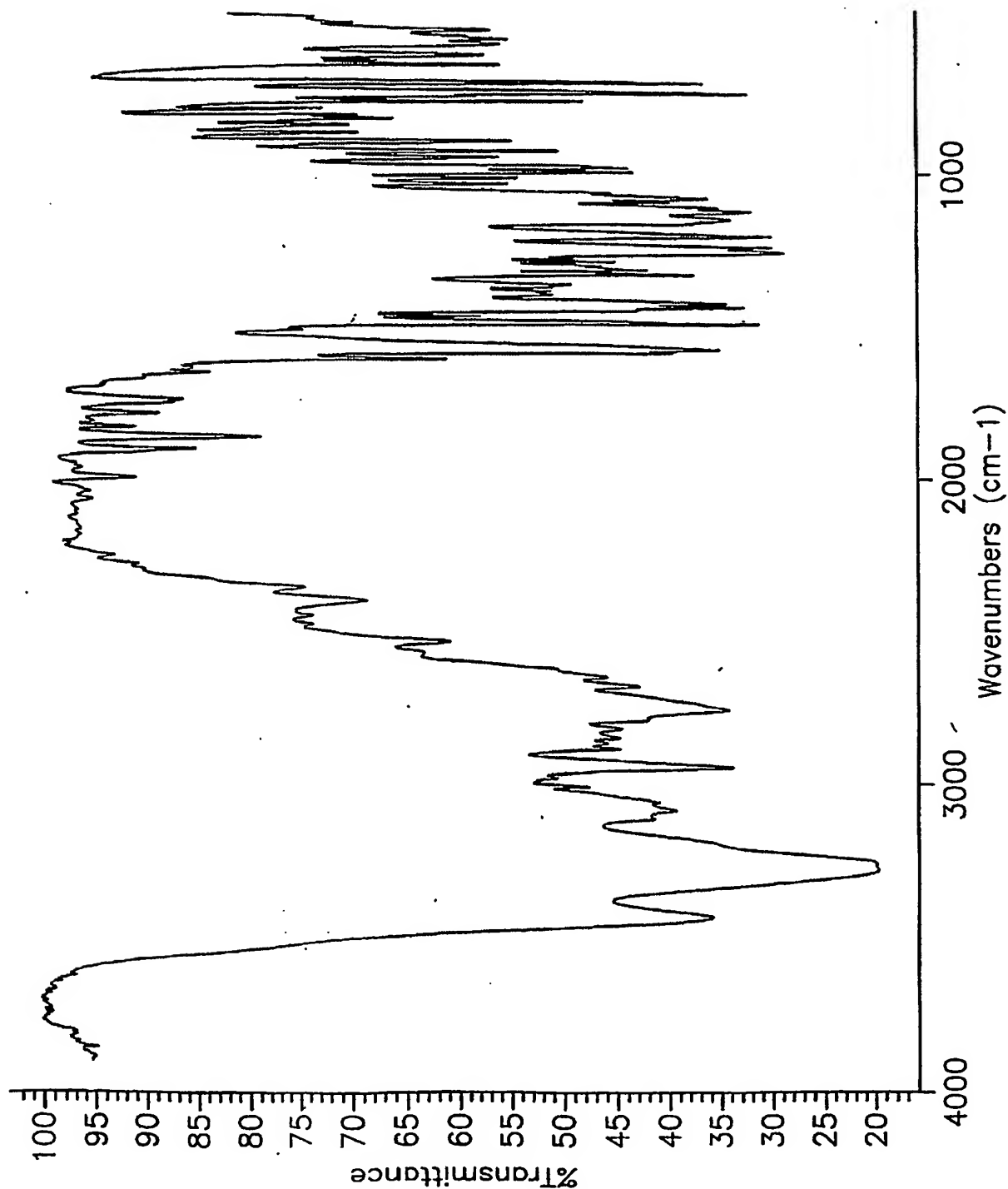


FIG. 36

37/82

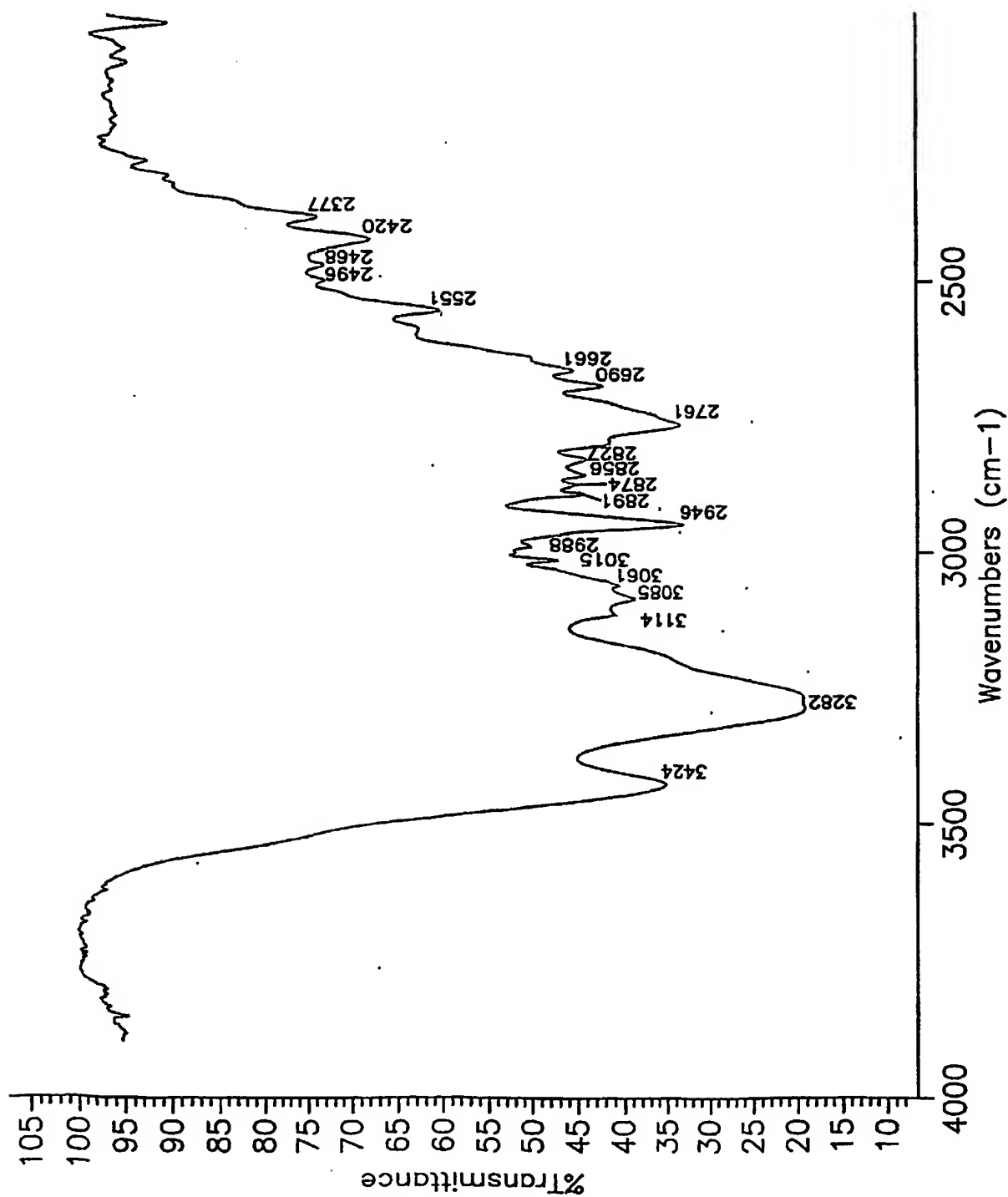


FIG. 37

38/82

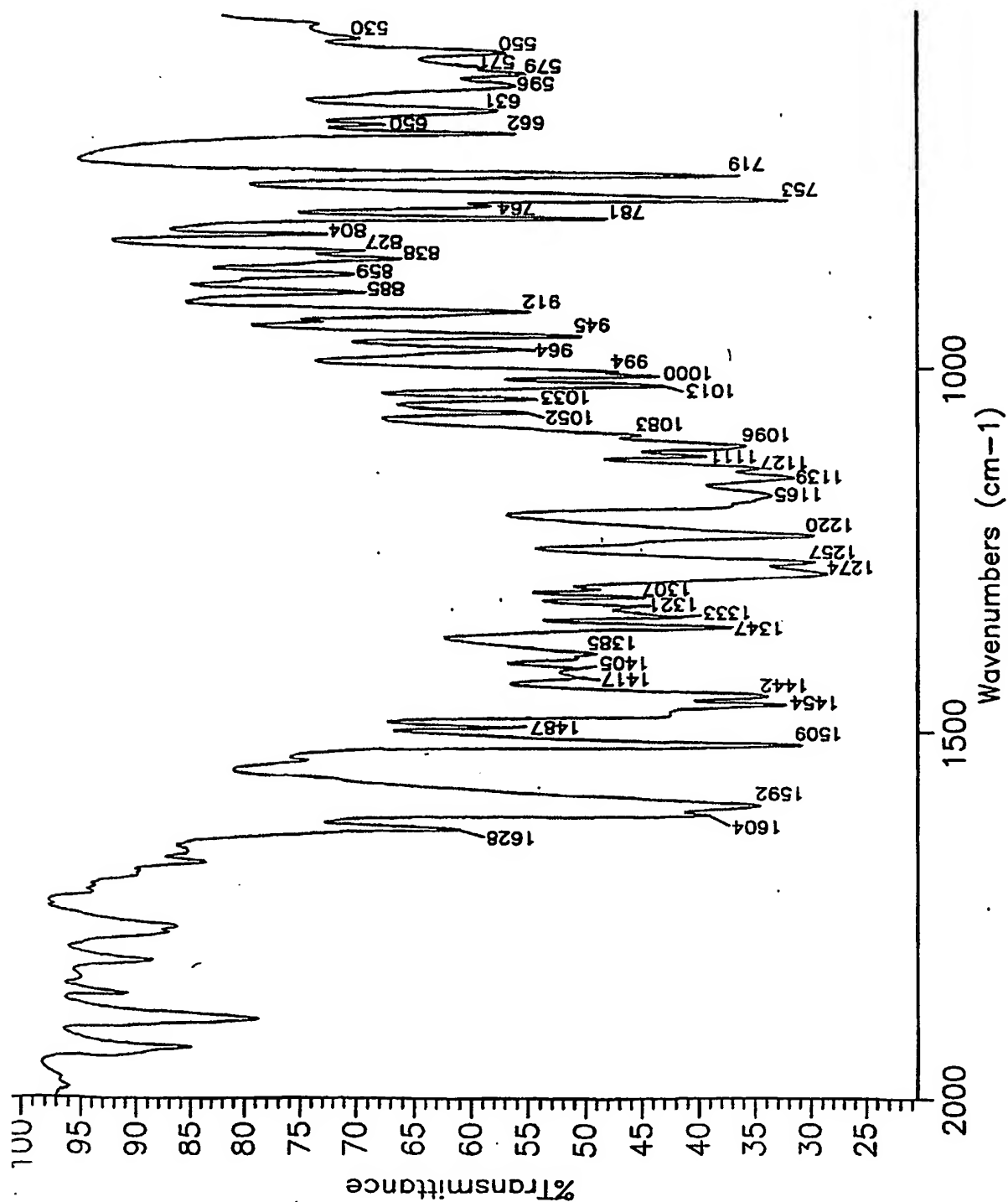


FIG. 38

39/82

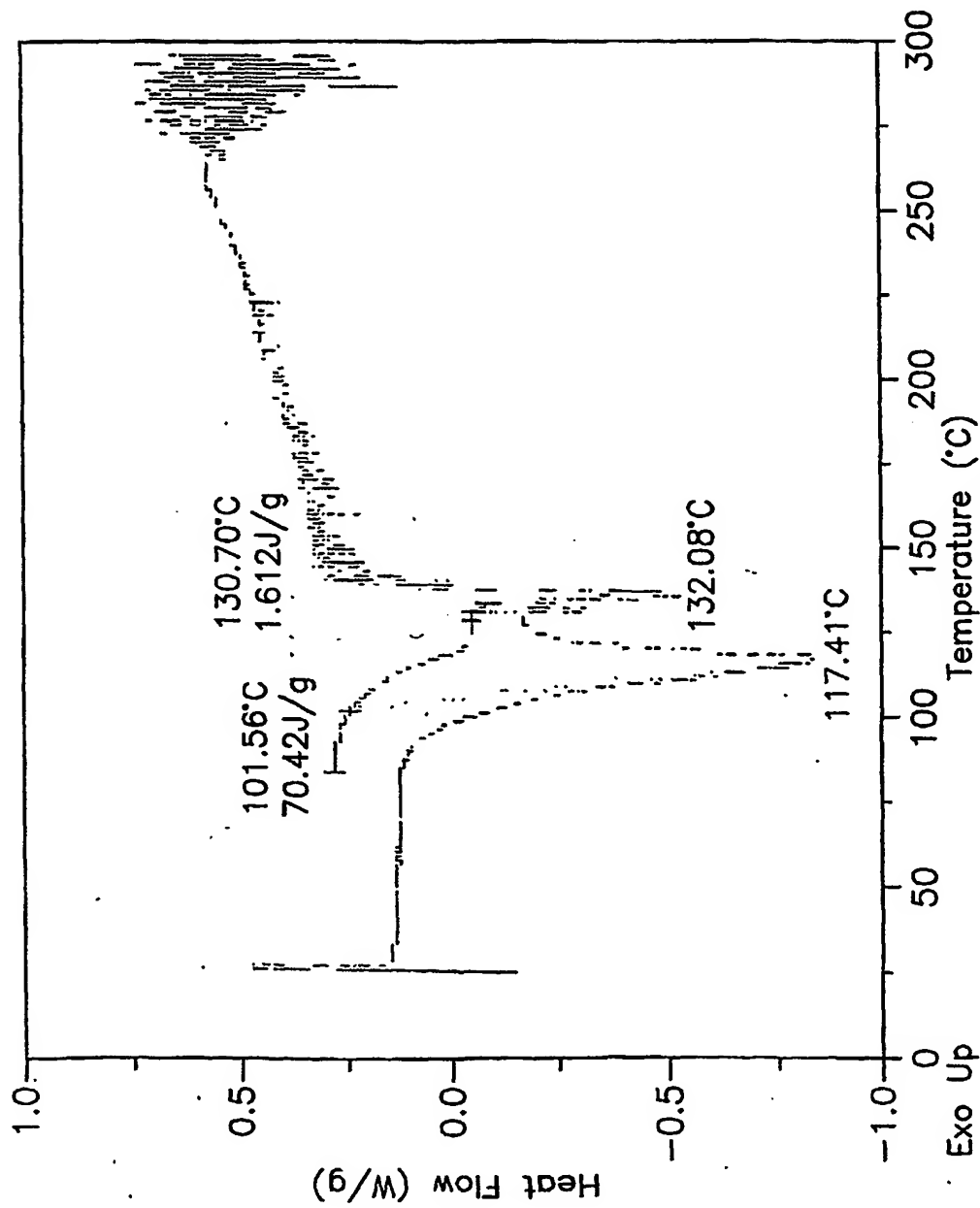
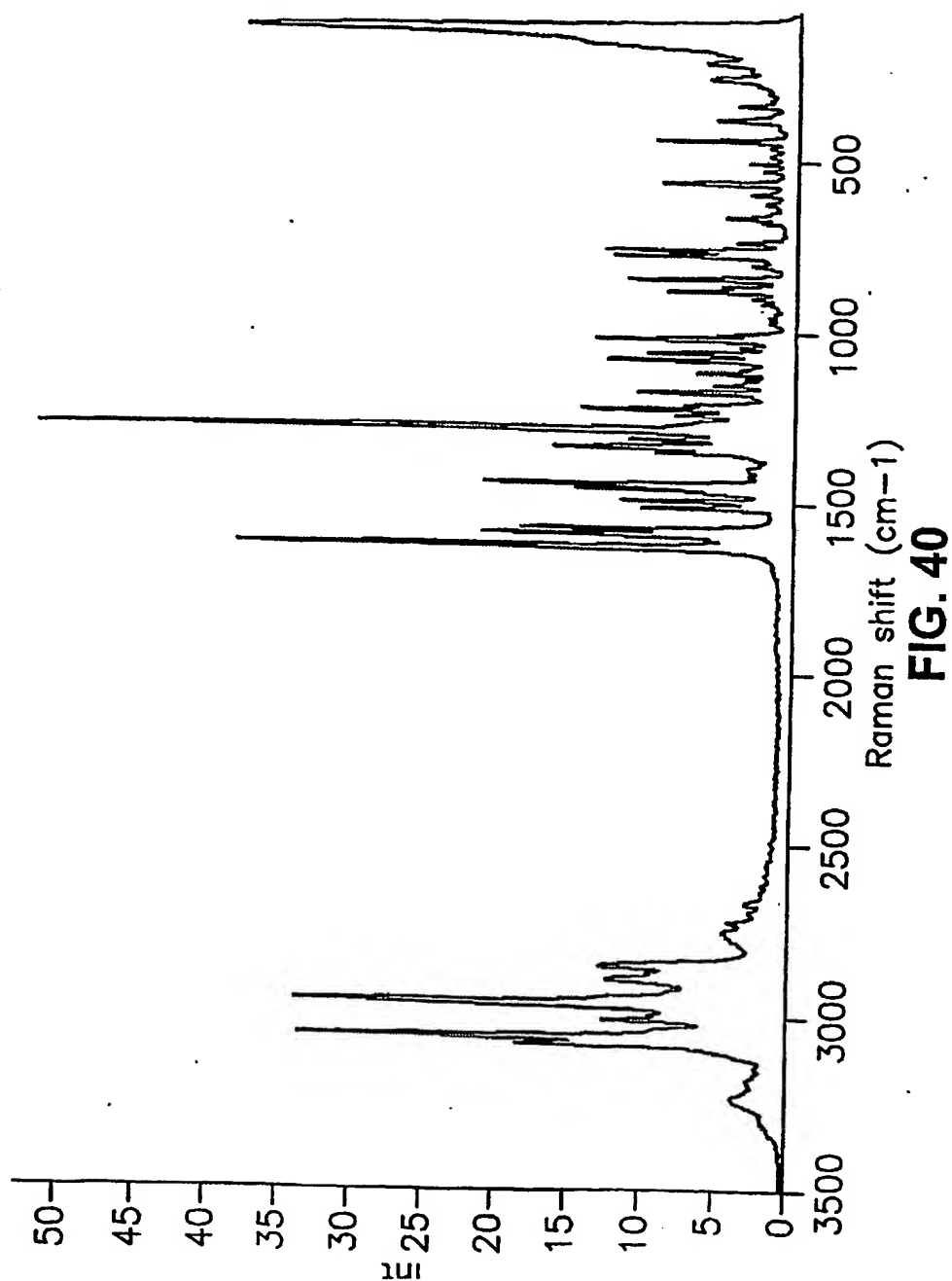


FIG. 39

40/82



41/82

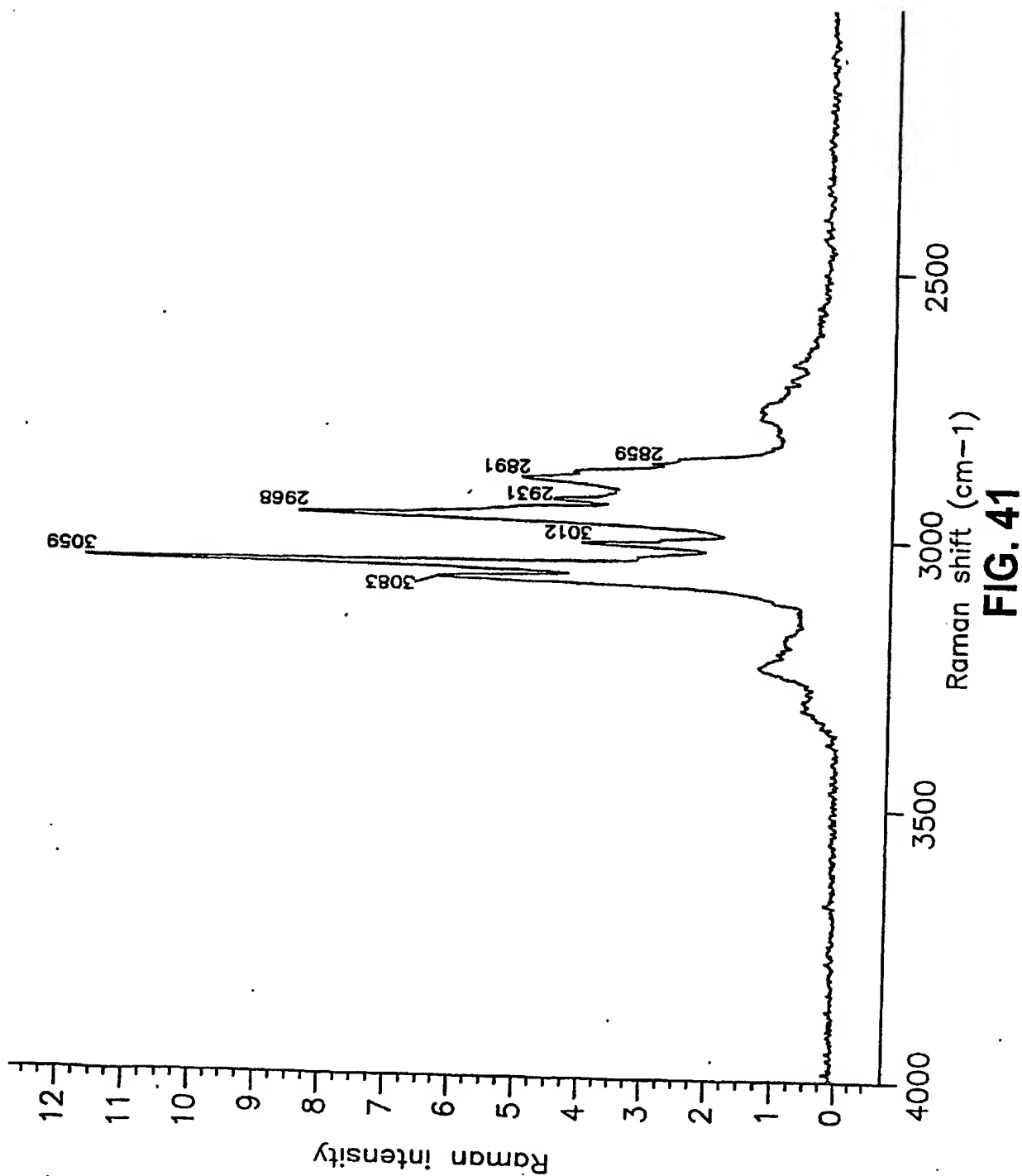
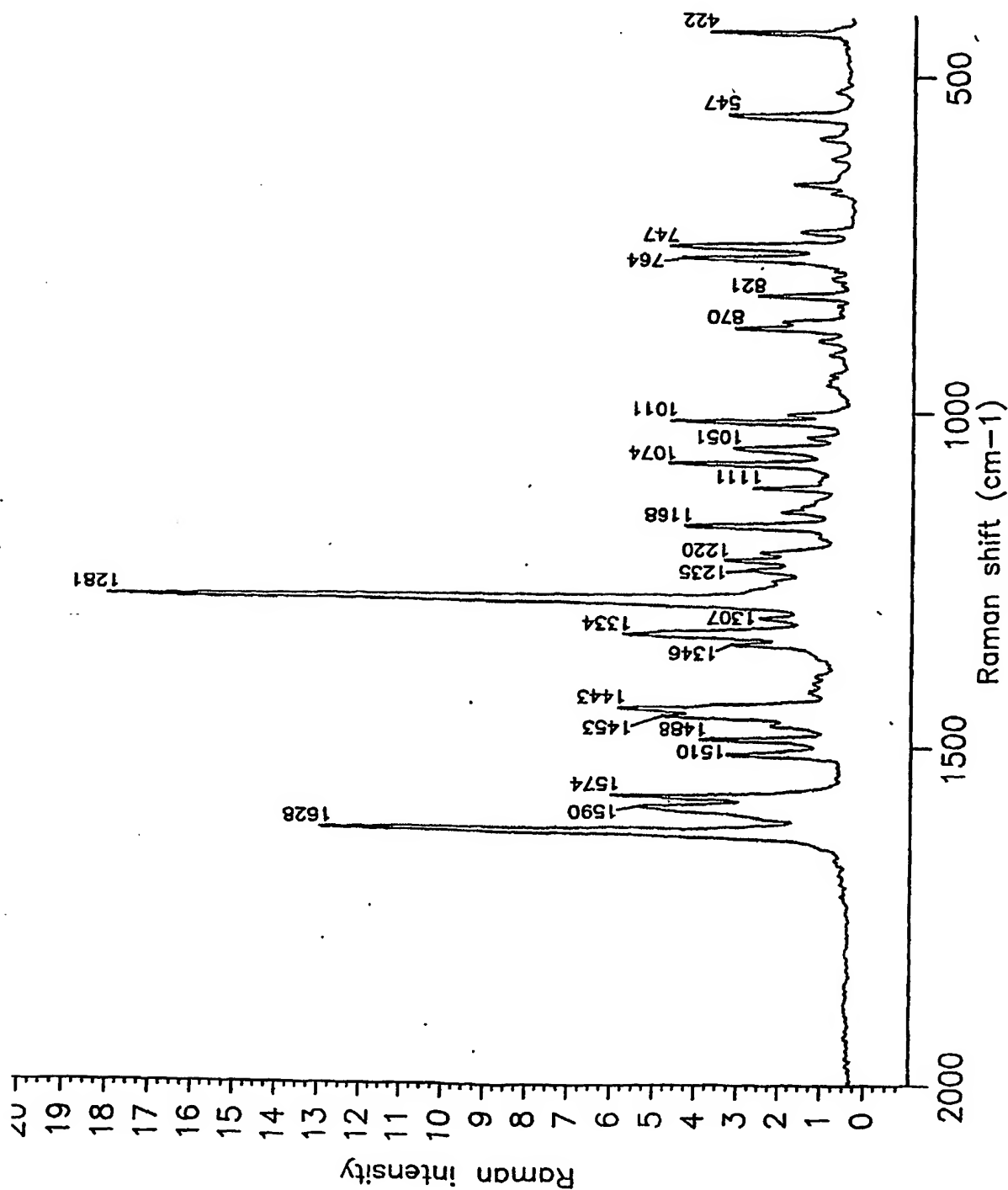


FIG. 41

42/82



43/82

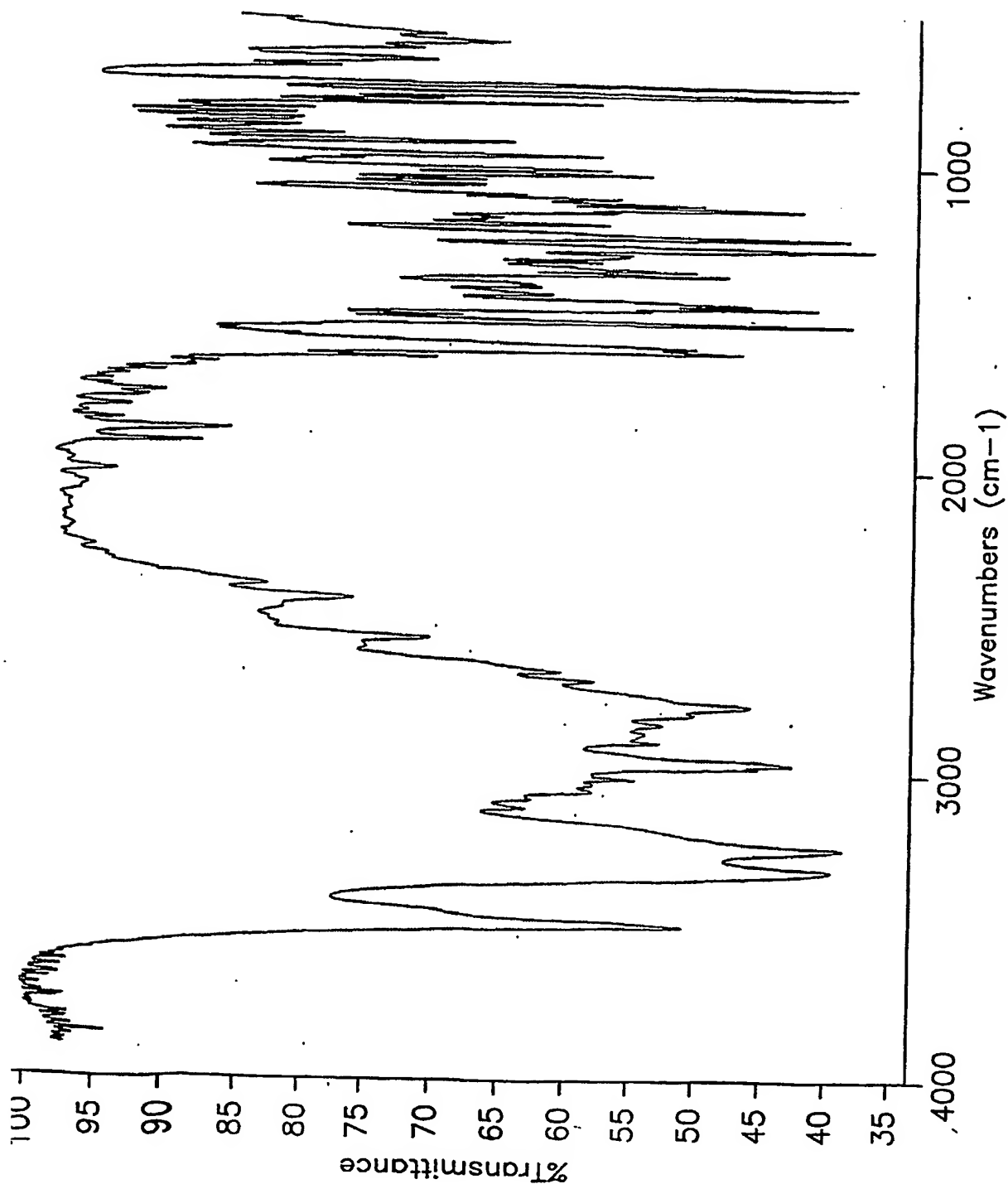


FIG. 43

44/82

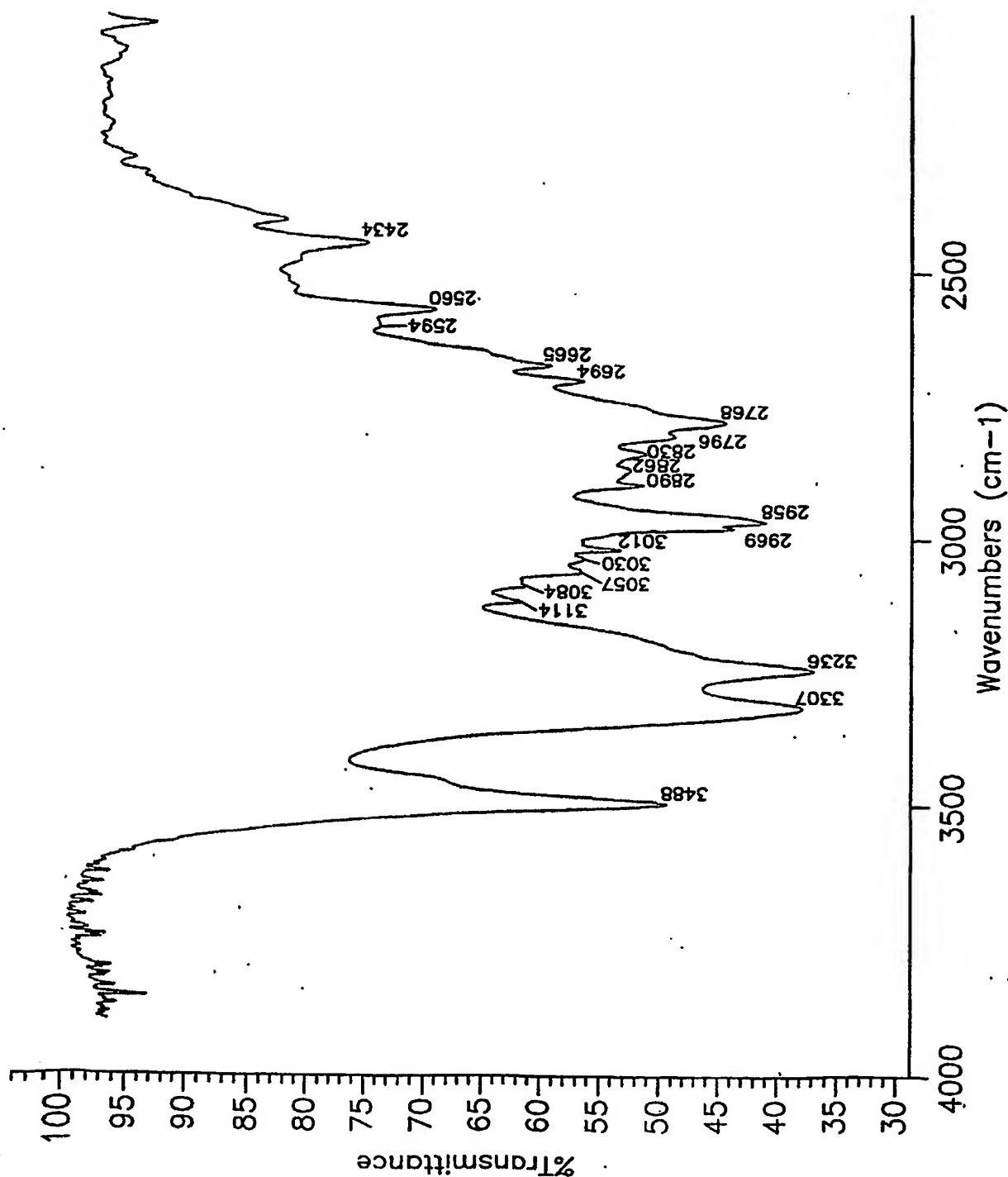
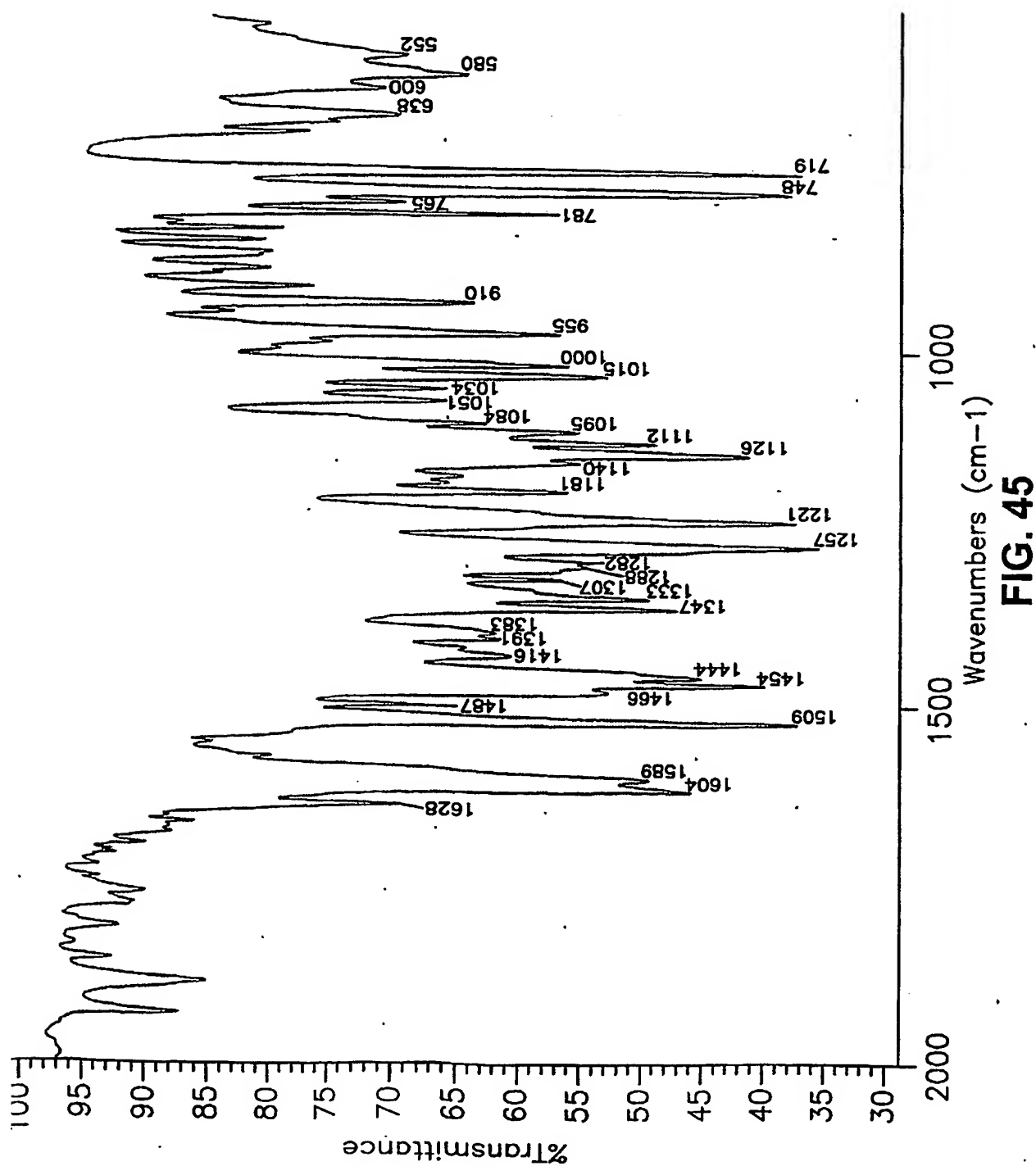


FIG. 44

45/82



46/82

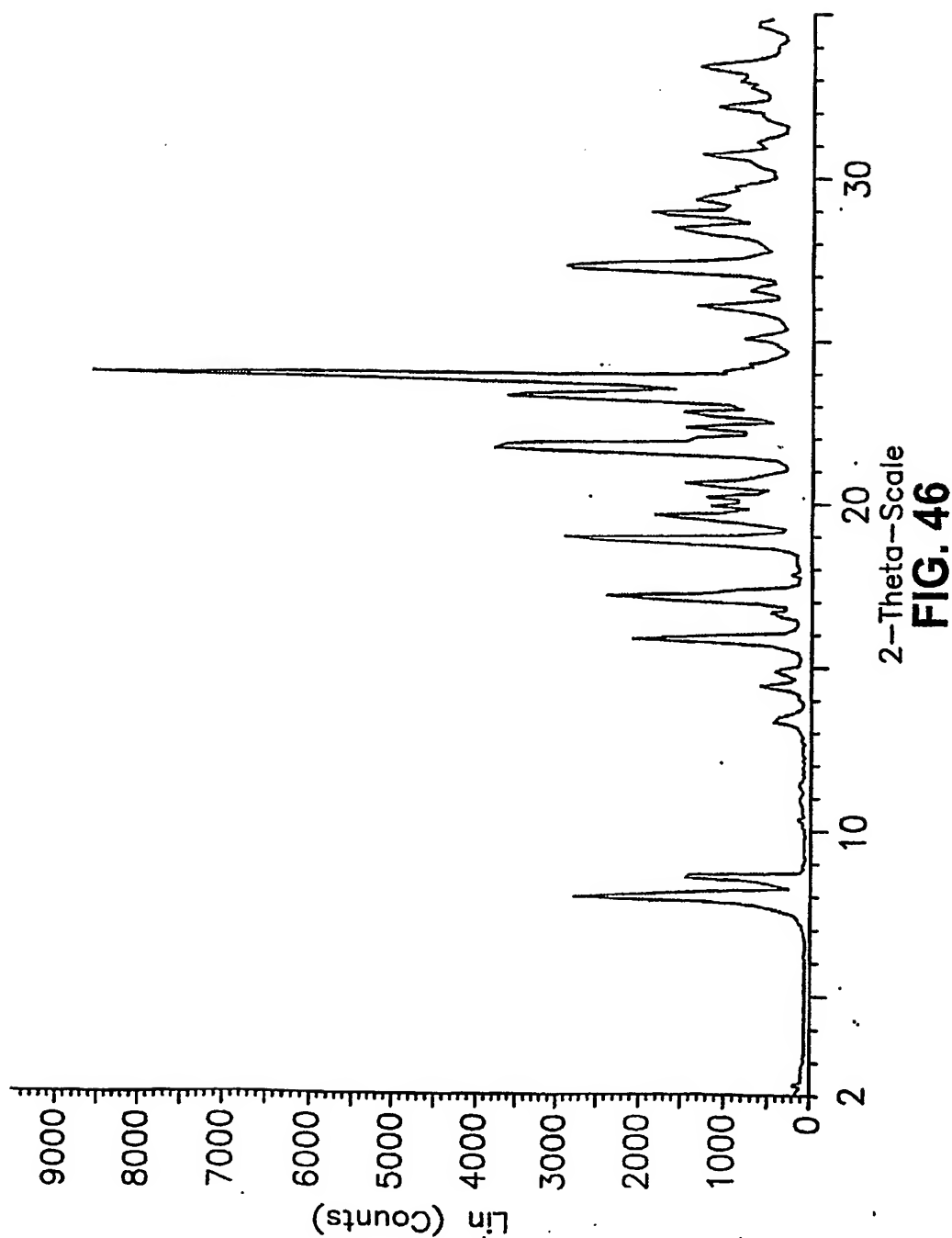


FIG. 46

47/82

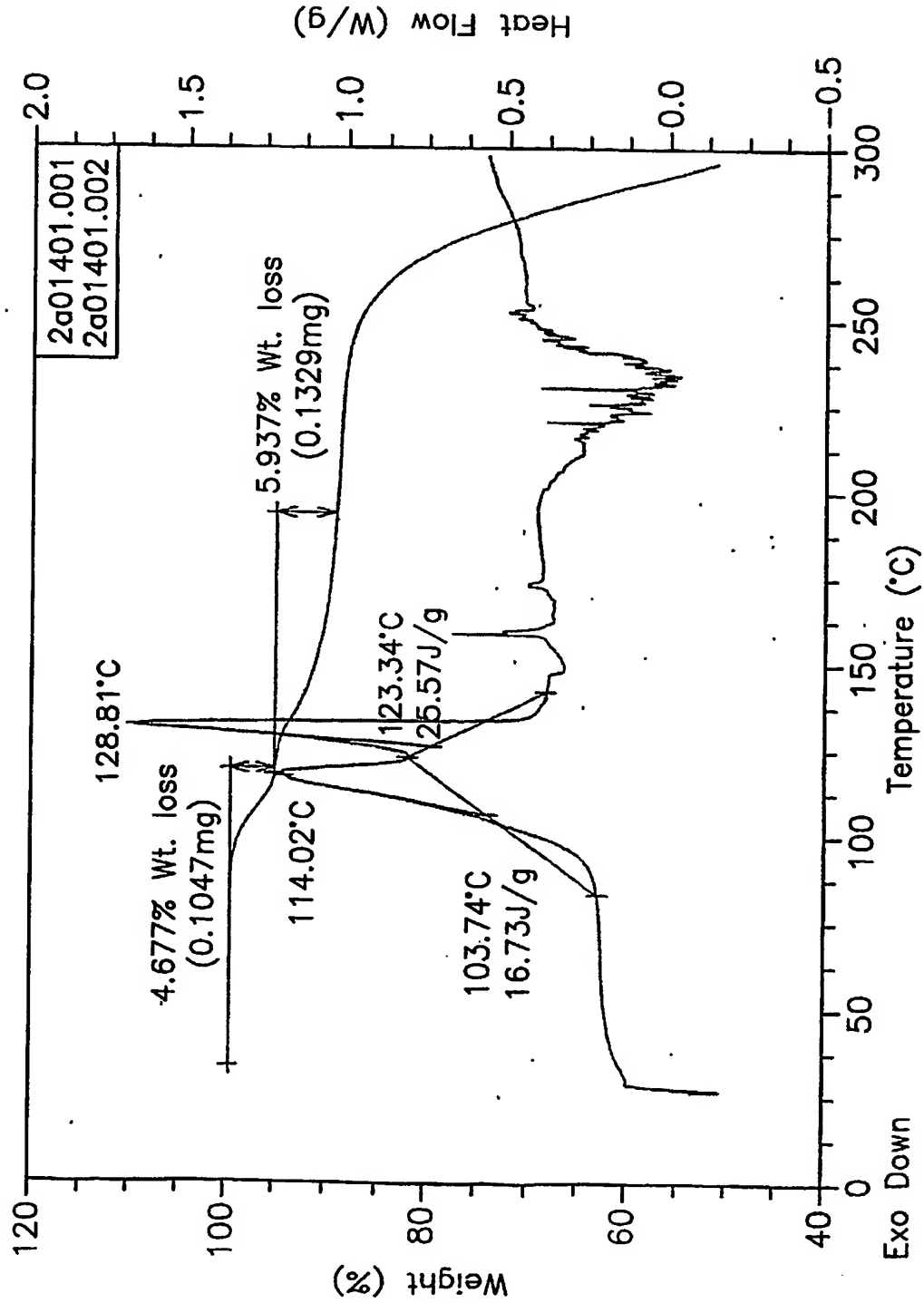
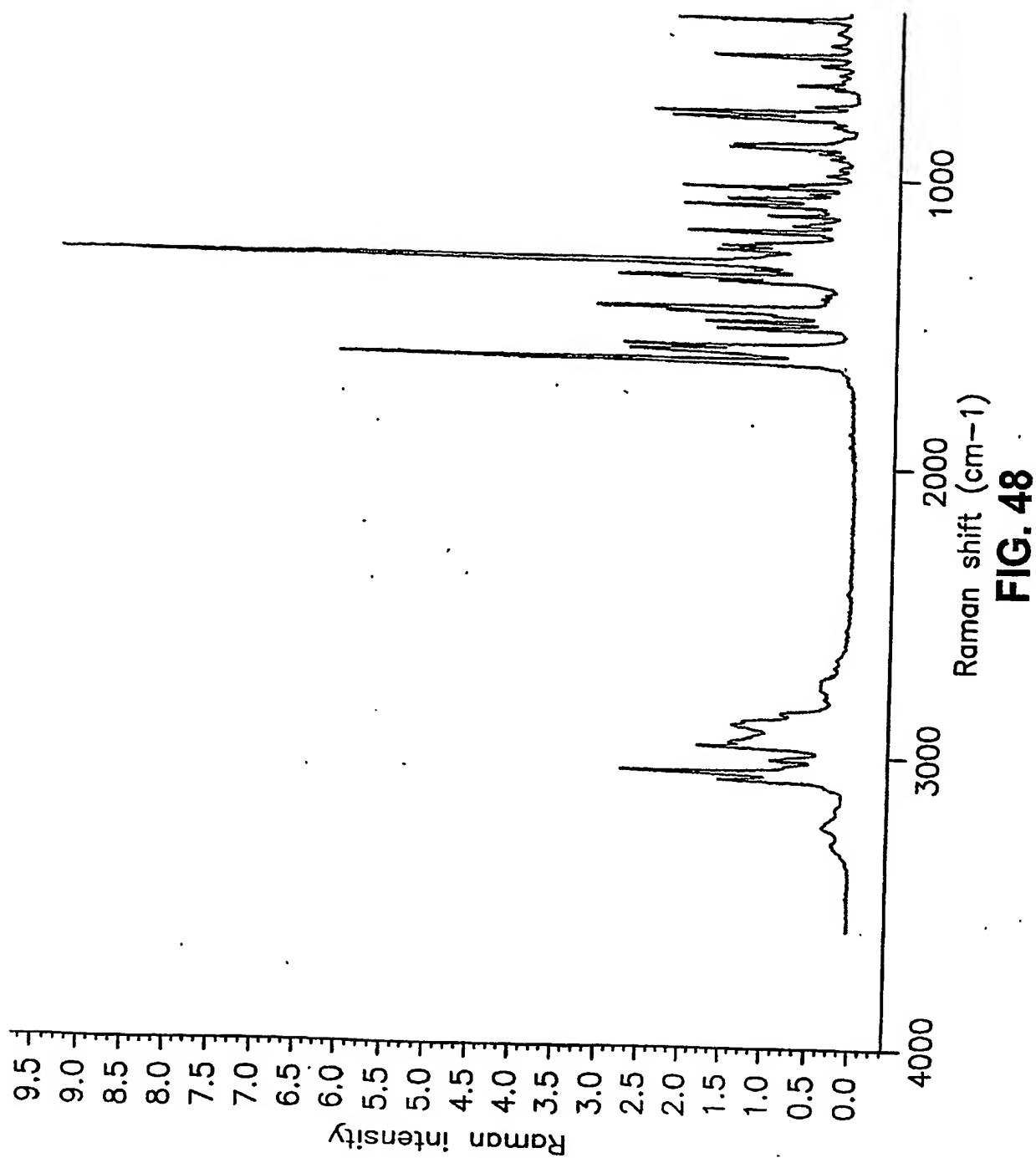


FIG. 47

48/82



49/82

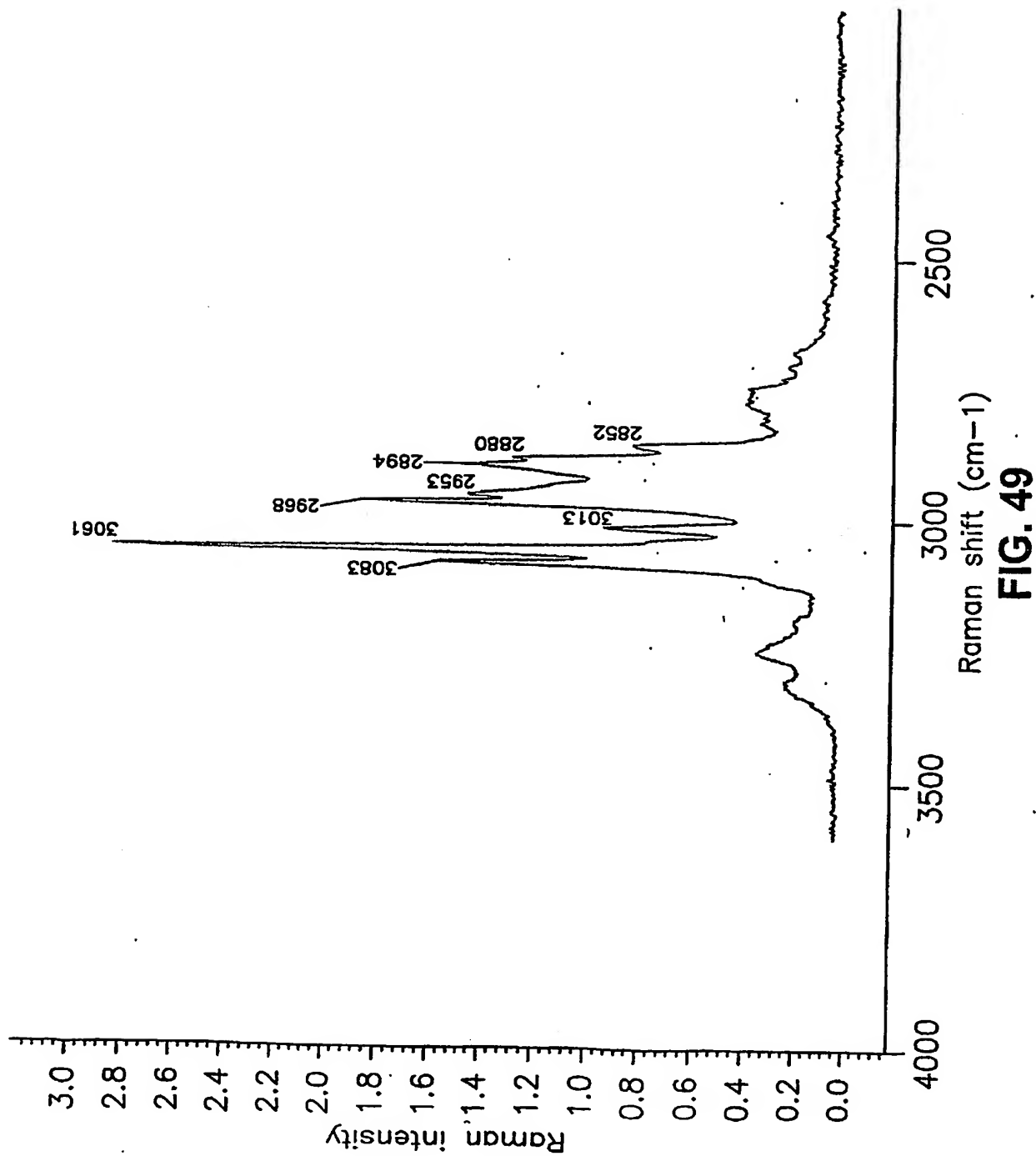


FIG. 49

50/82

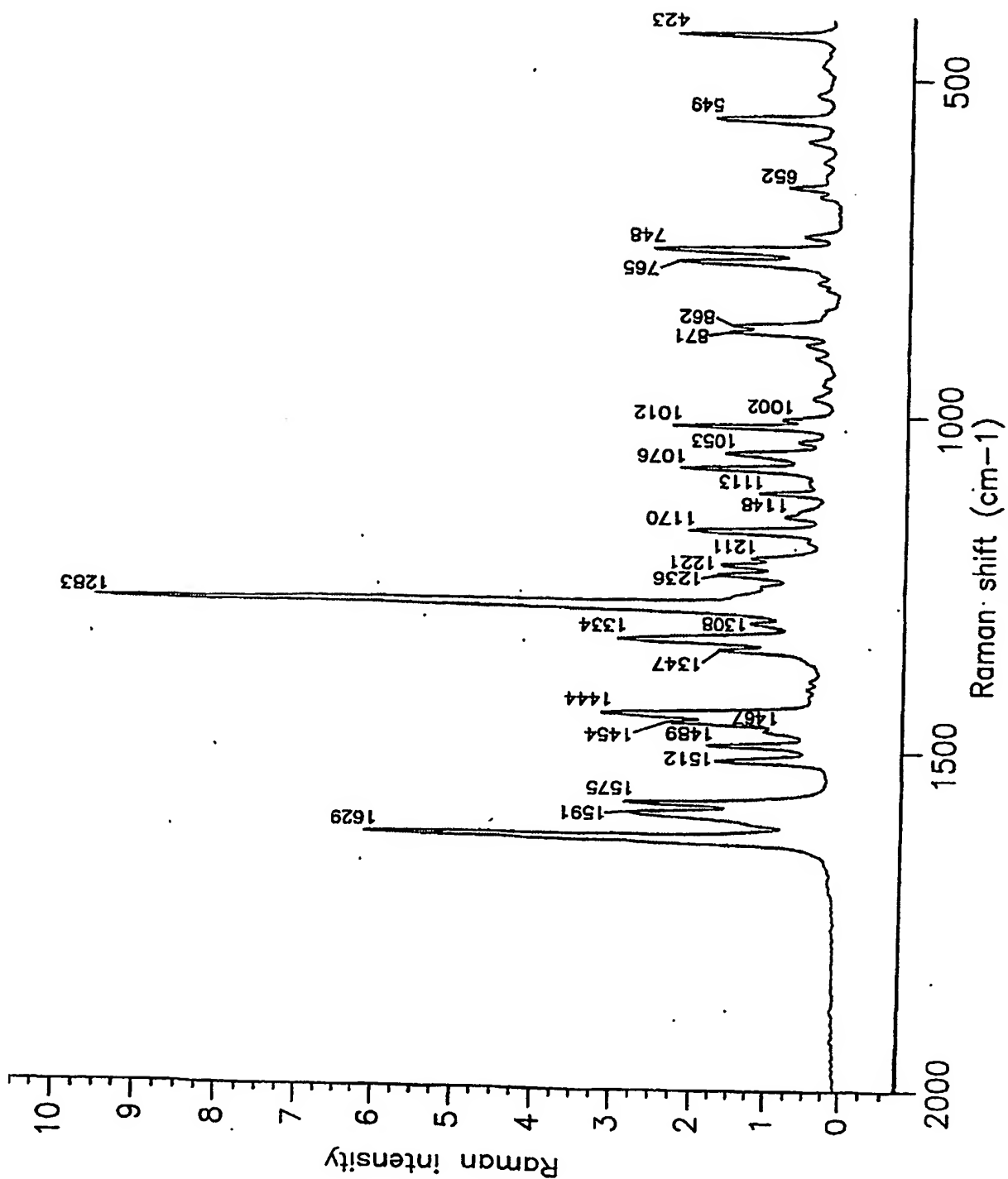


FIG. 50

51/82

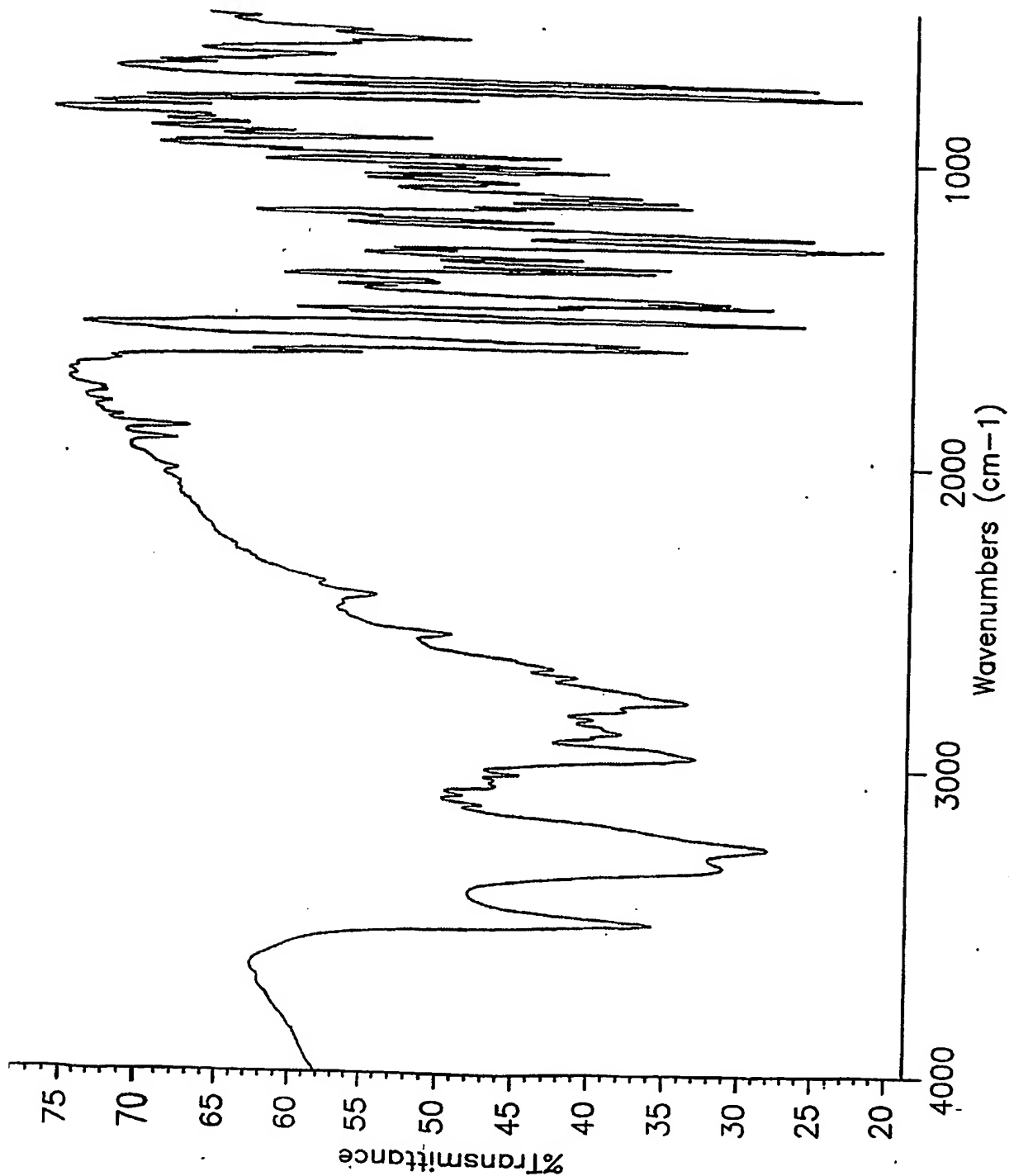
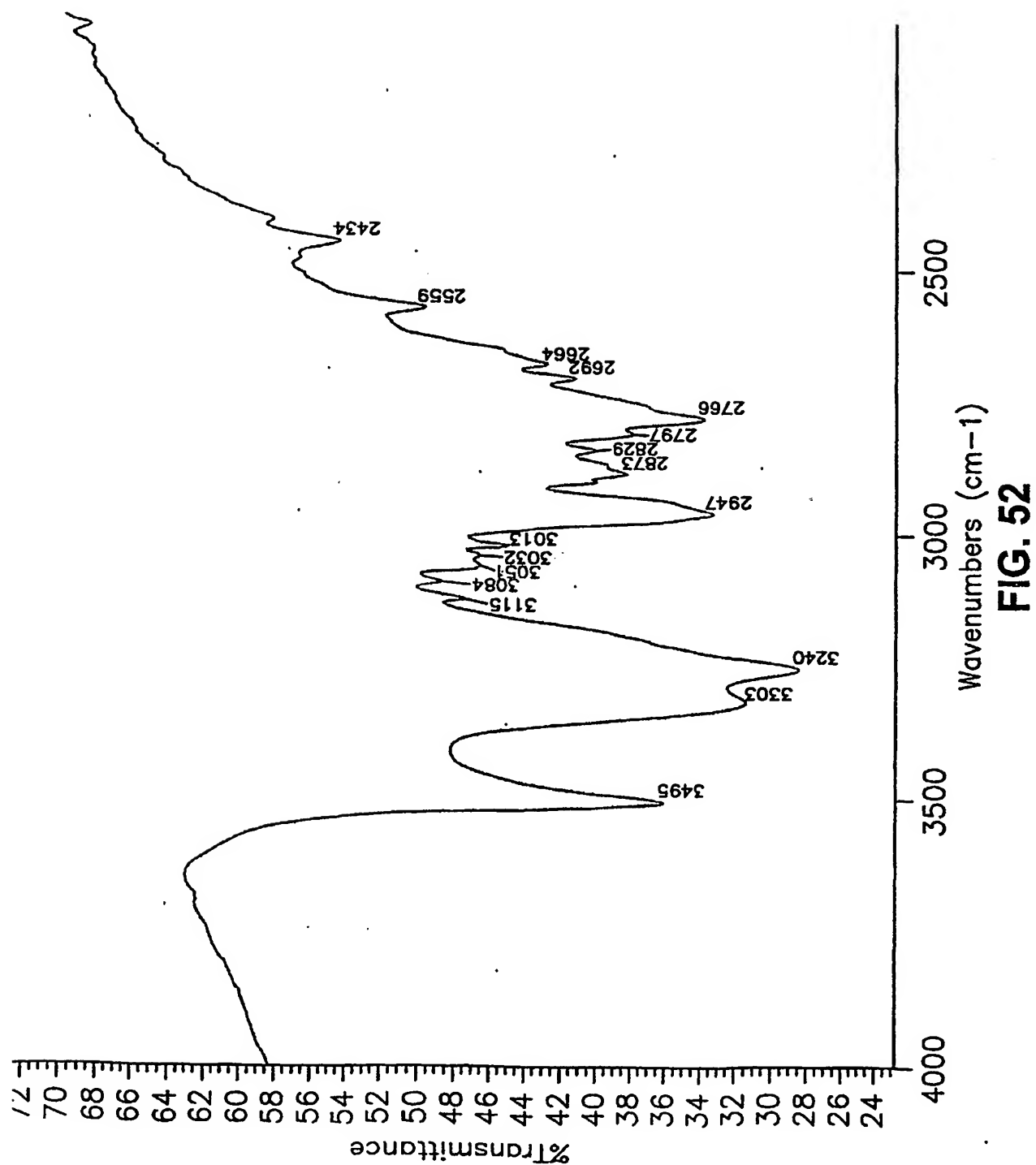


FIG. 51

52/82



53/82

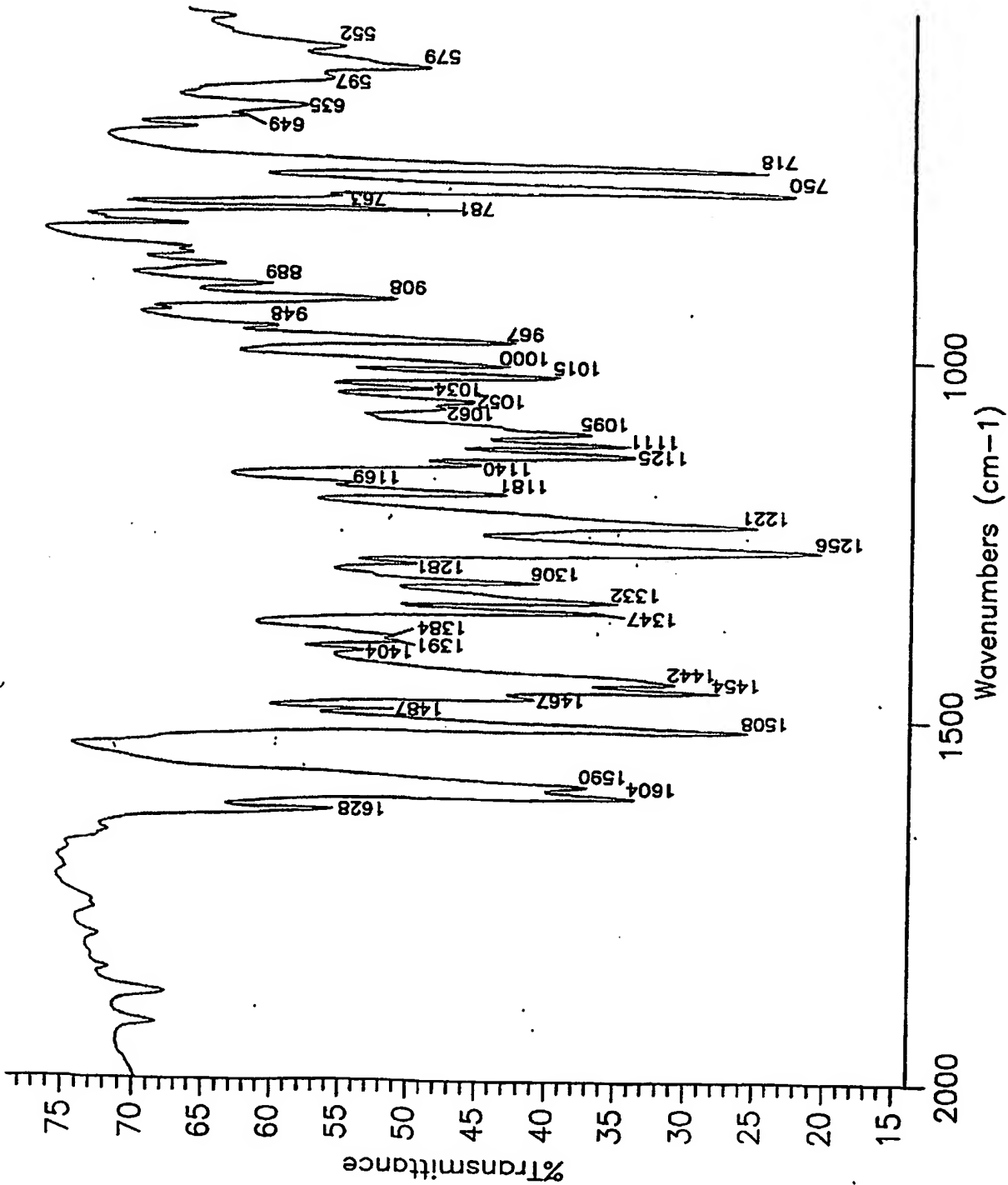


FIG. 53

54/82

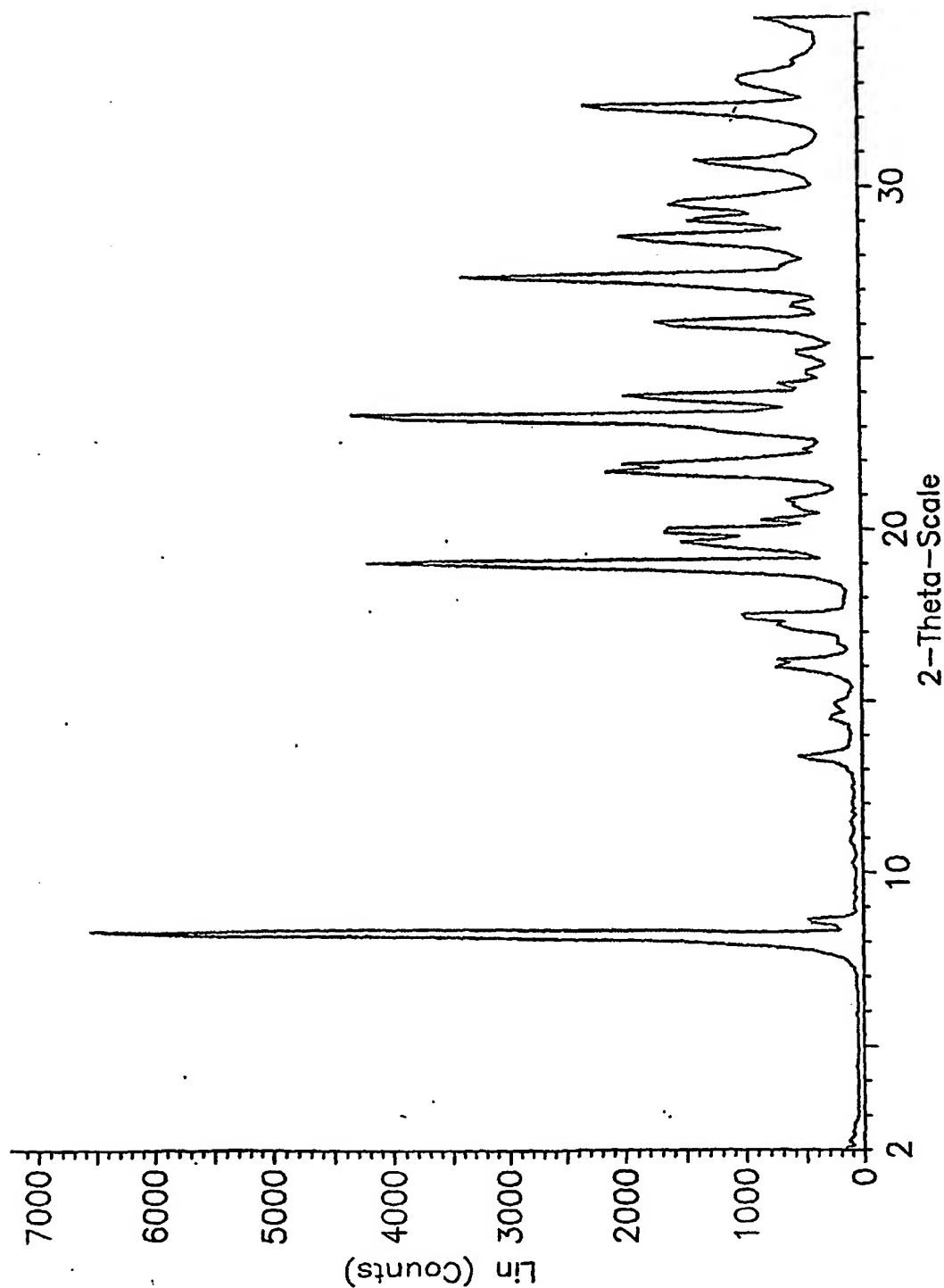


FIG. 54

55/82

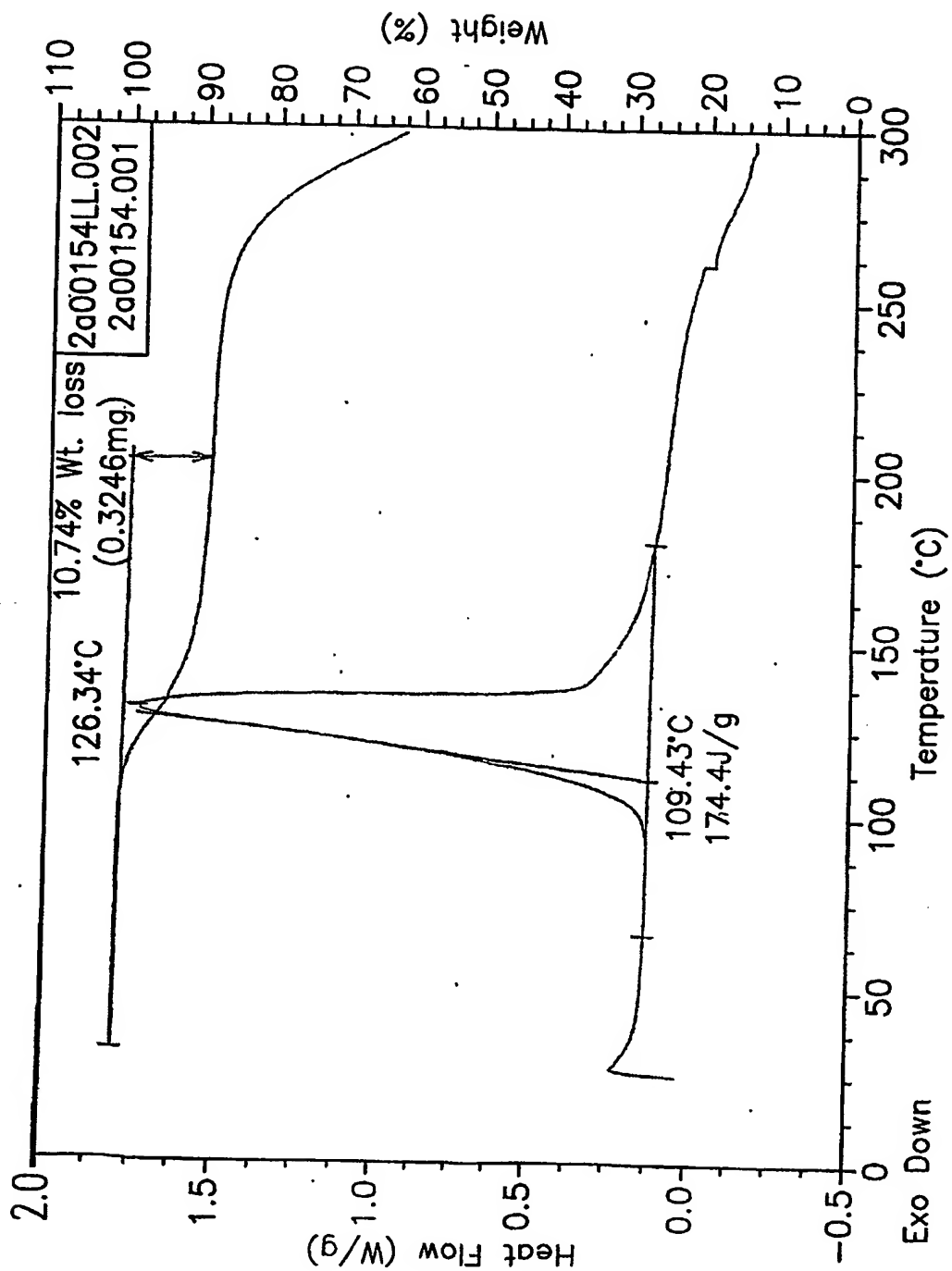


FIG. 55

56/82

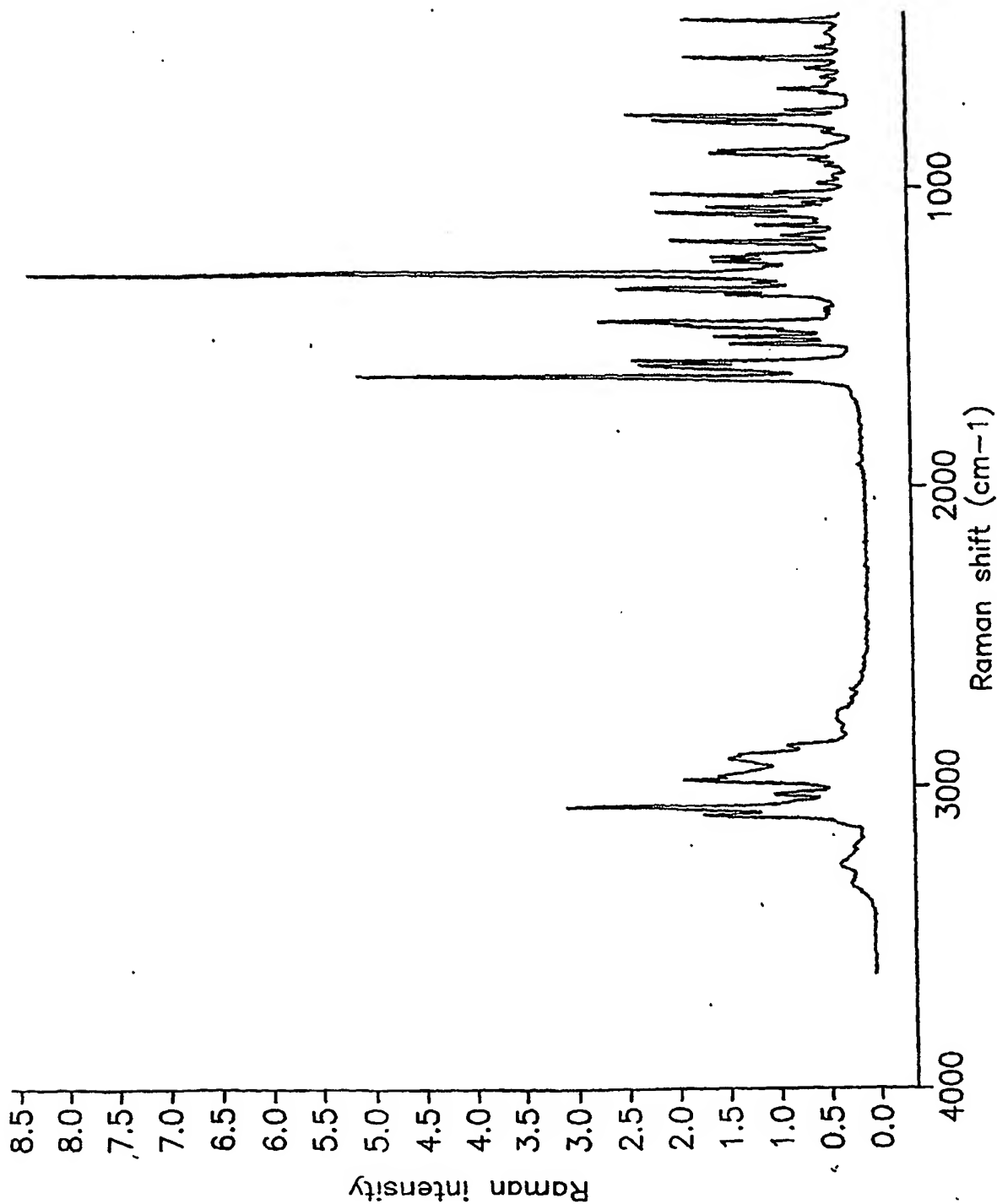


FIG. 56

57/82

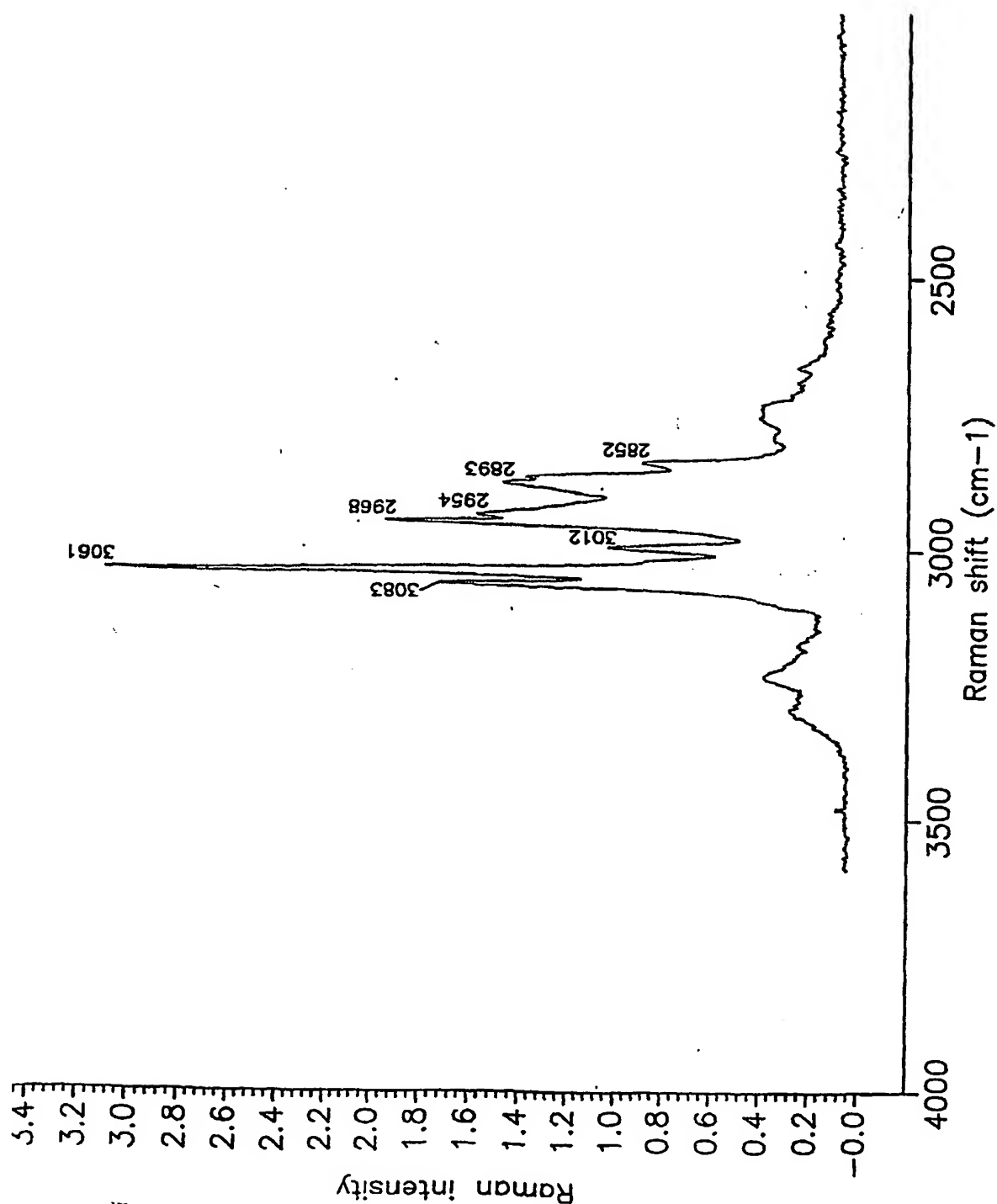


FIG. 57

58/82

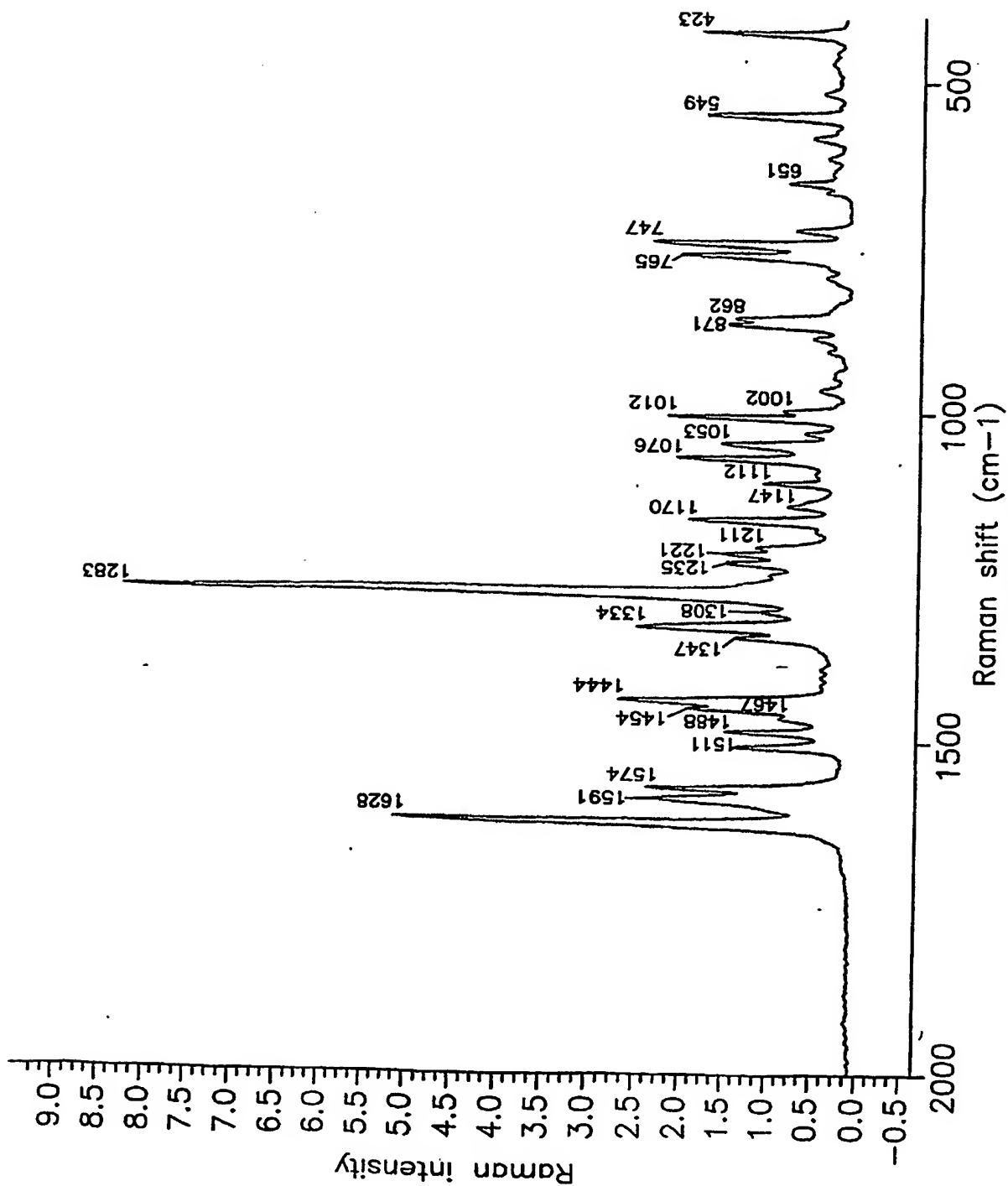
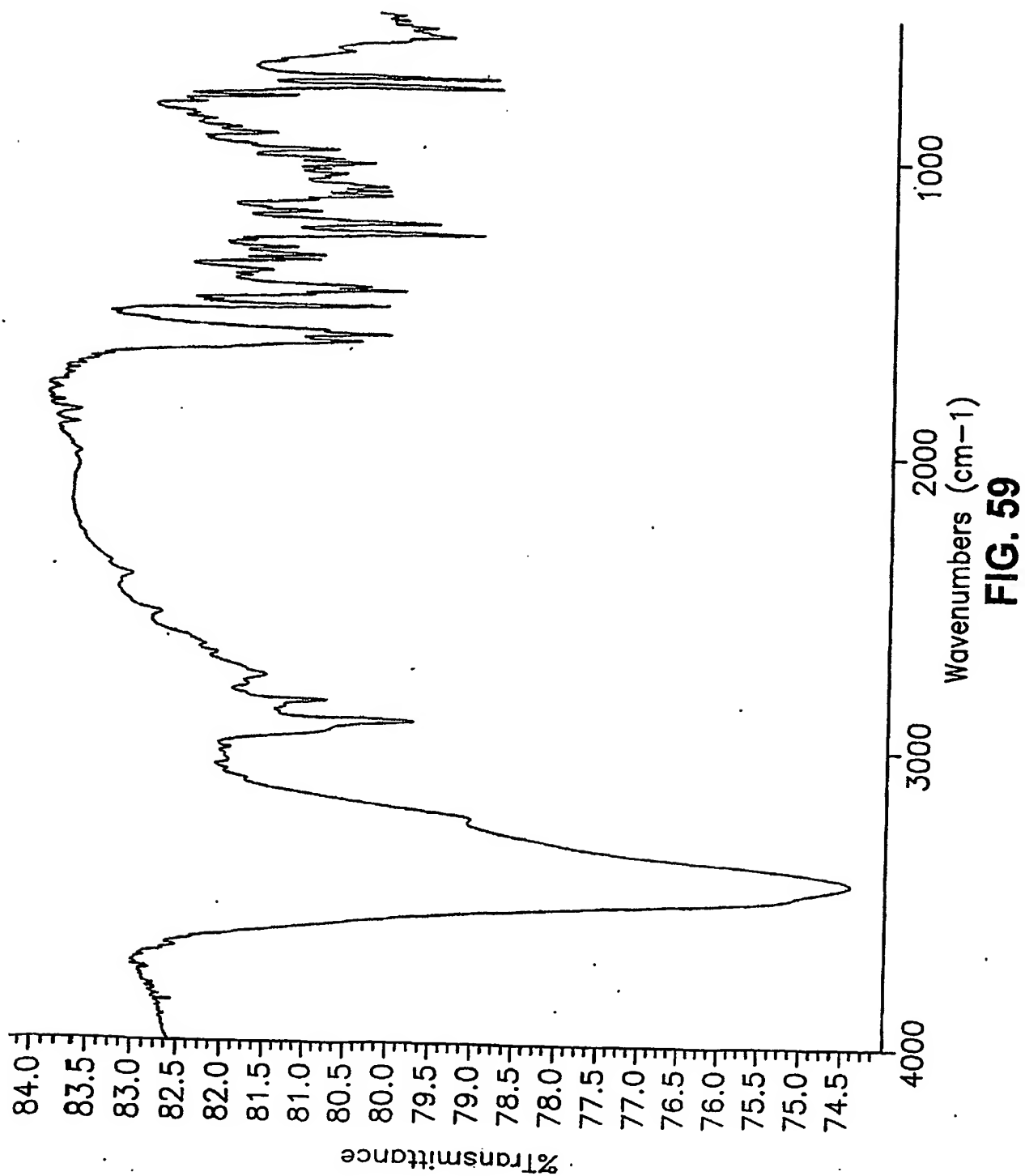


FIG. 58

59/82



60/82

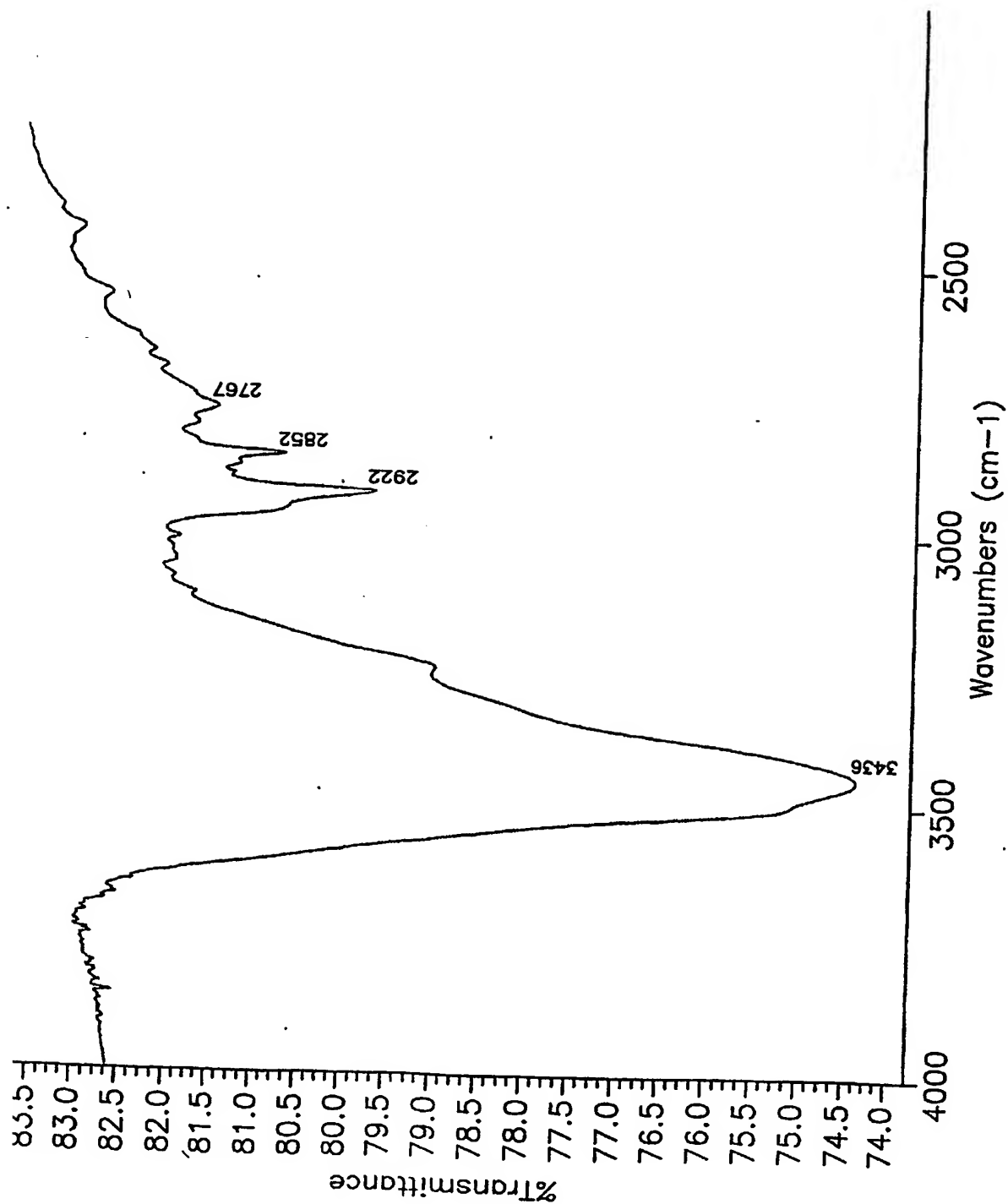


FIG. 60

61/82

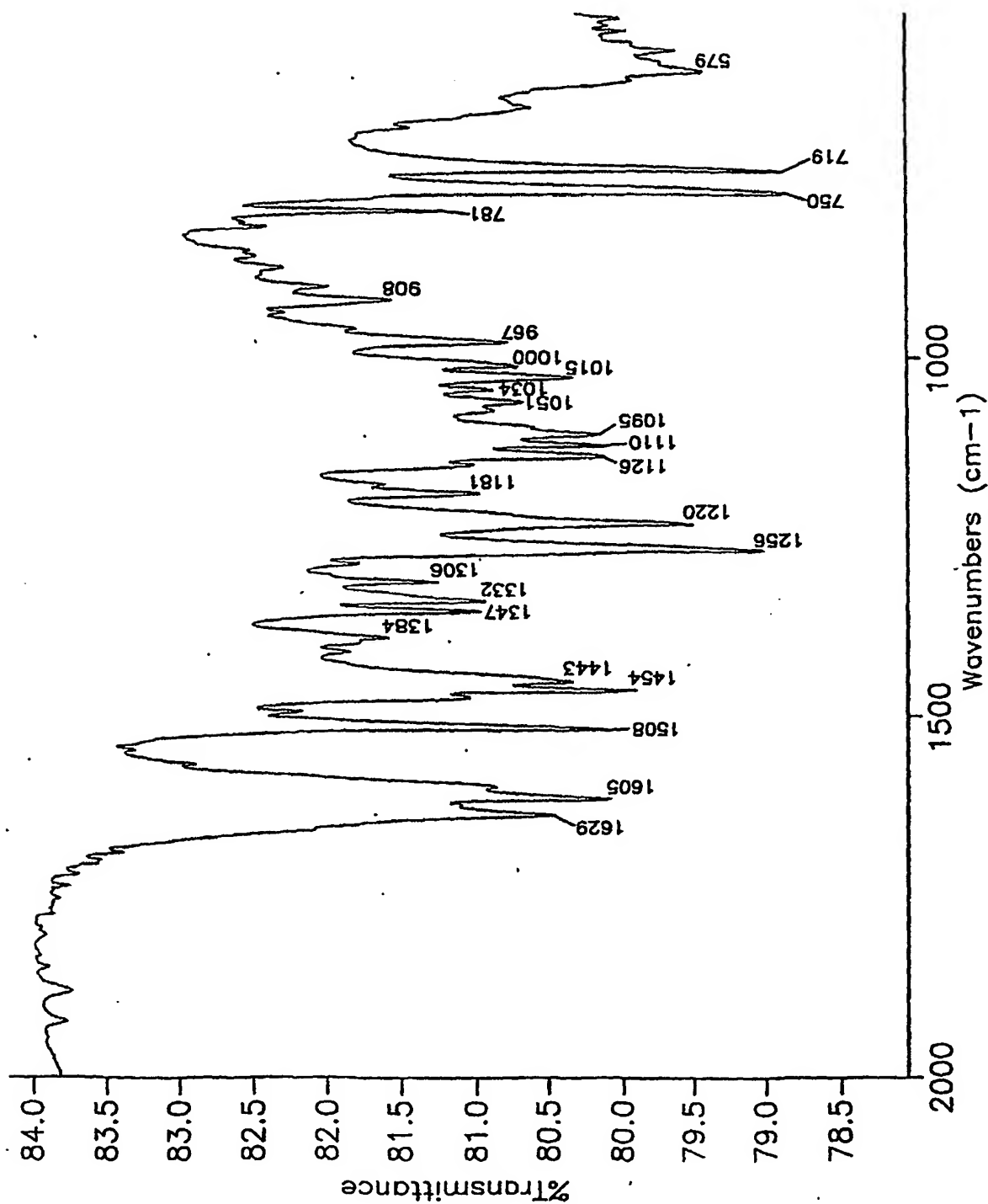
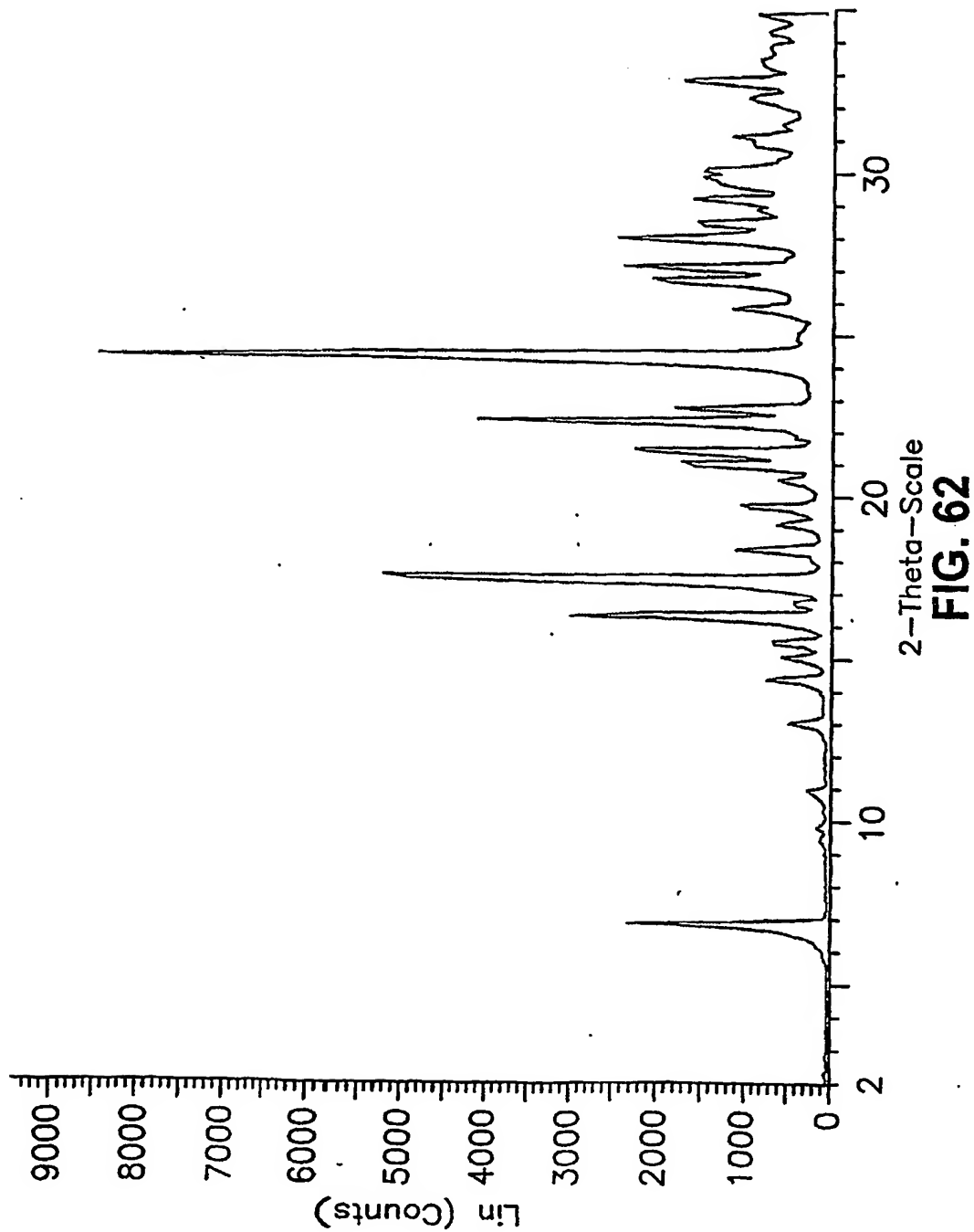


FIG. 61

62/82



63/82

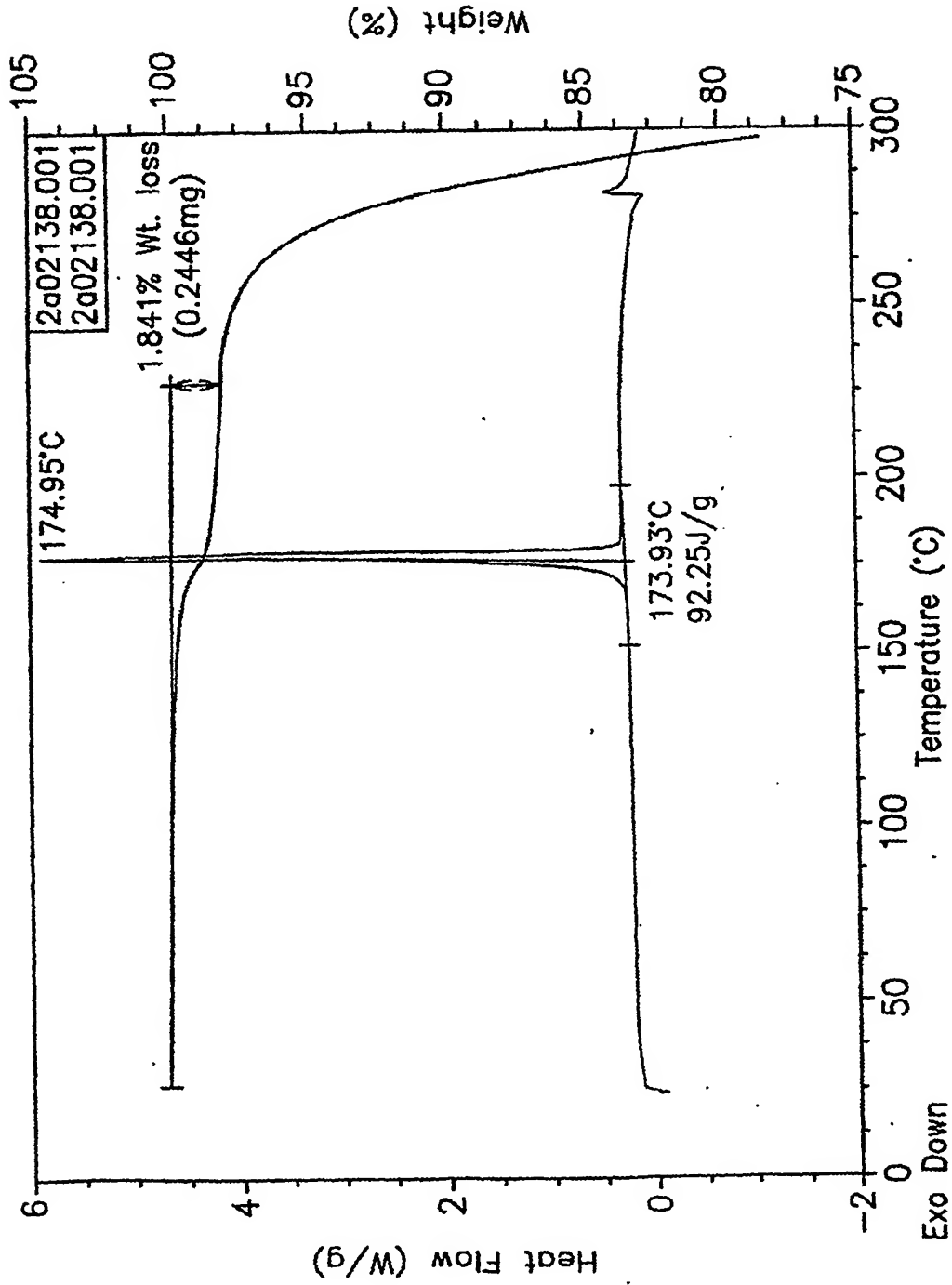


FIG. 63

64/82

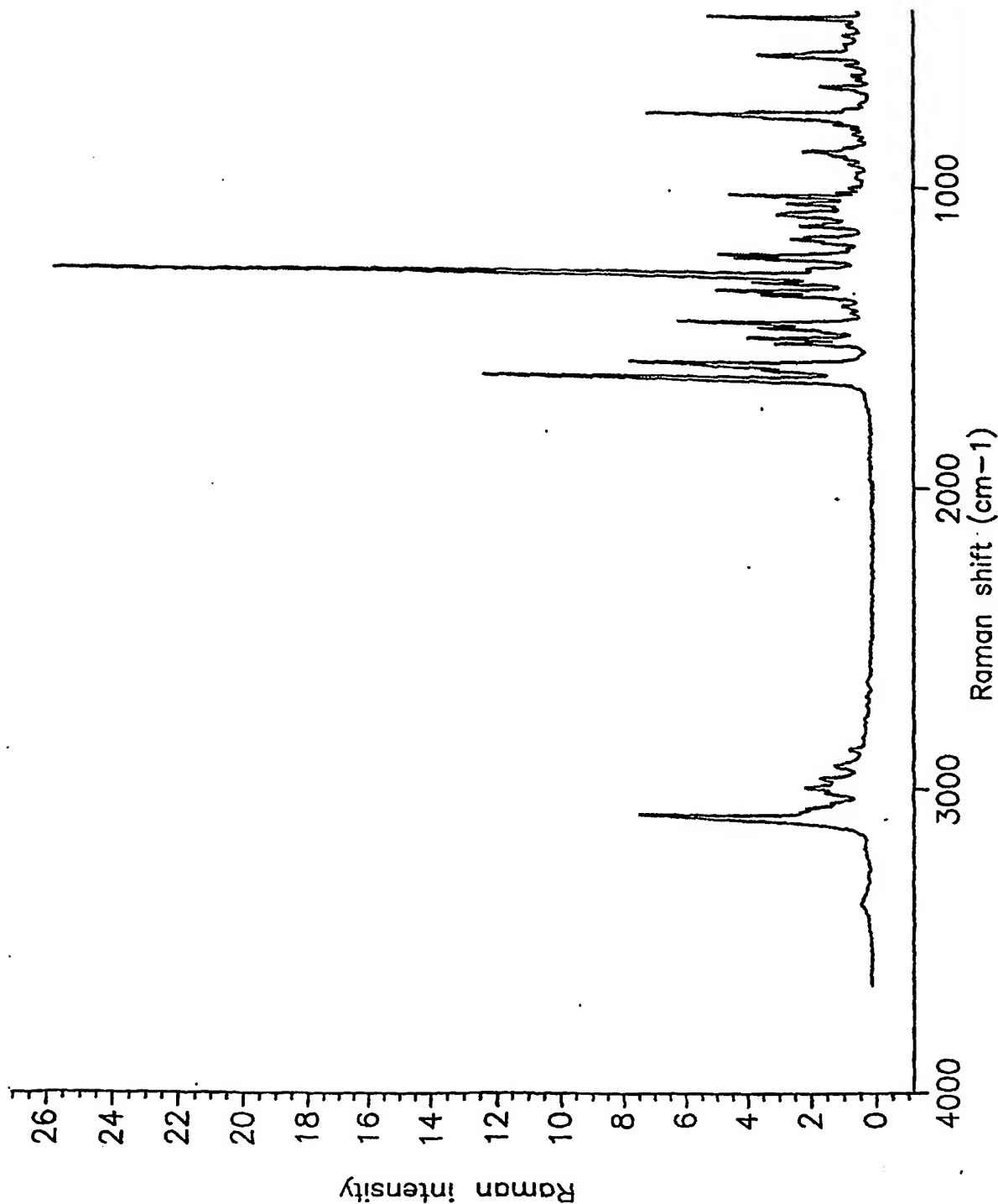


FIG. 64

65/82

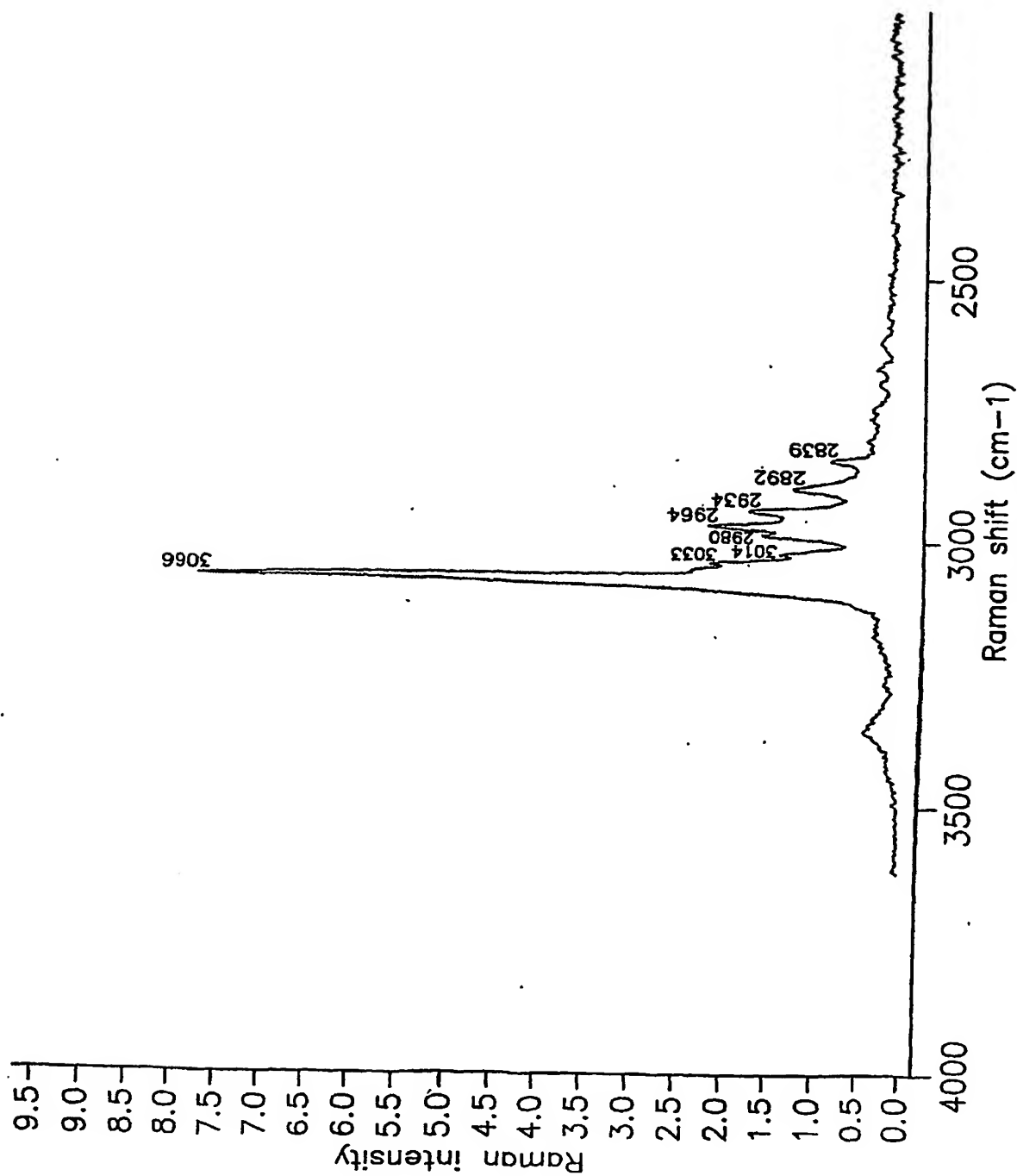


FIG. 65

66/82

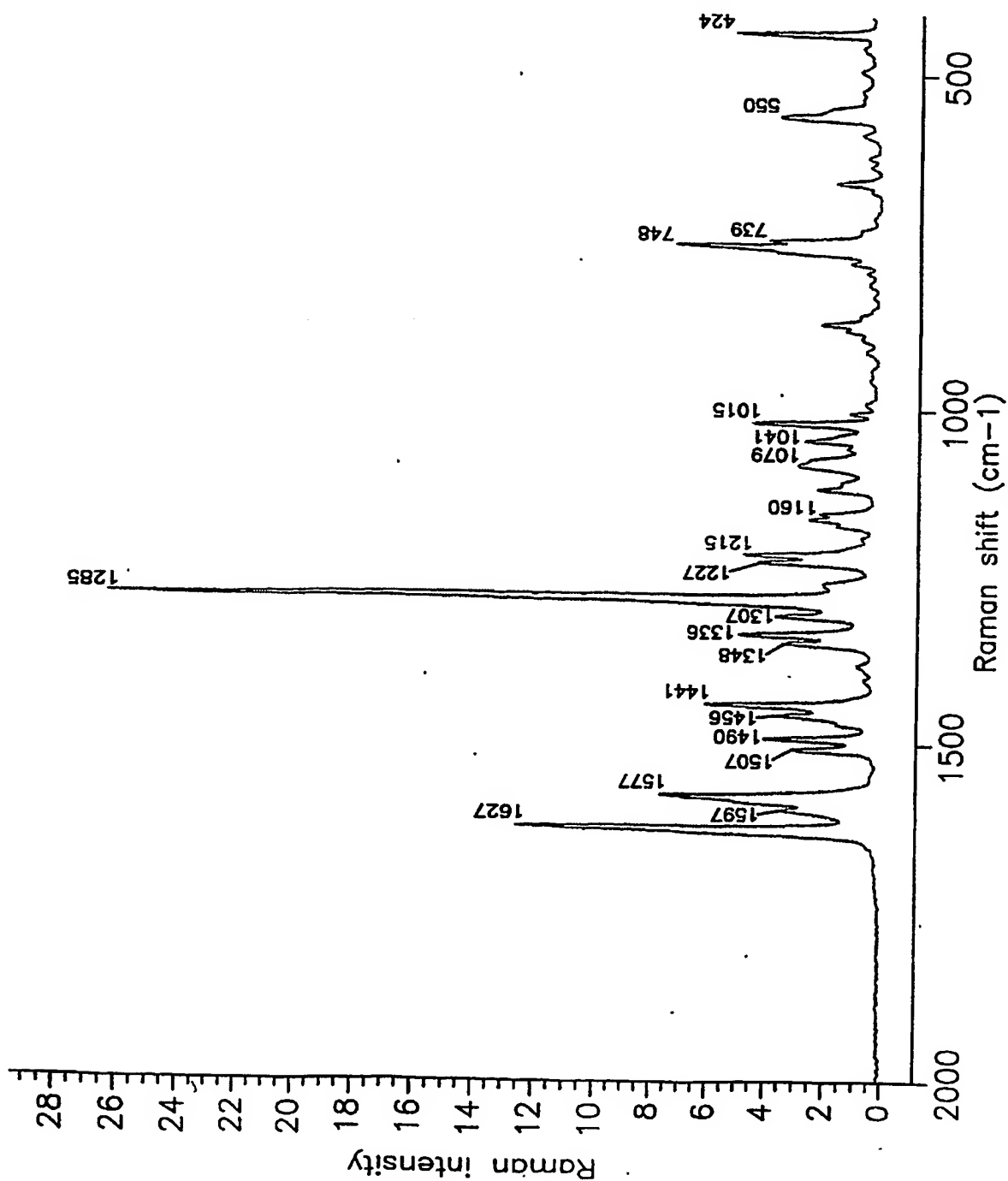


FIG. 66

67/82

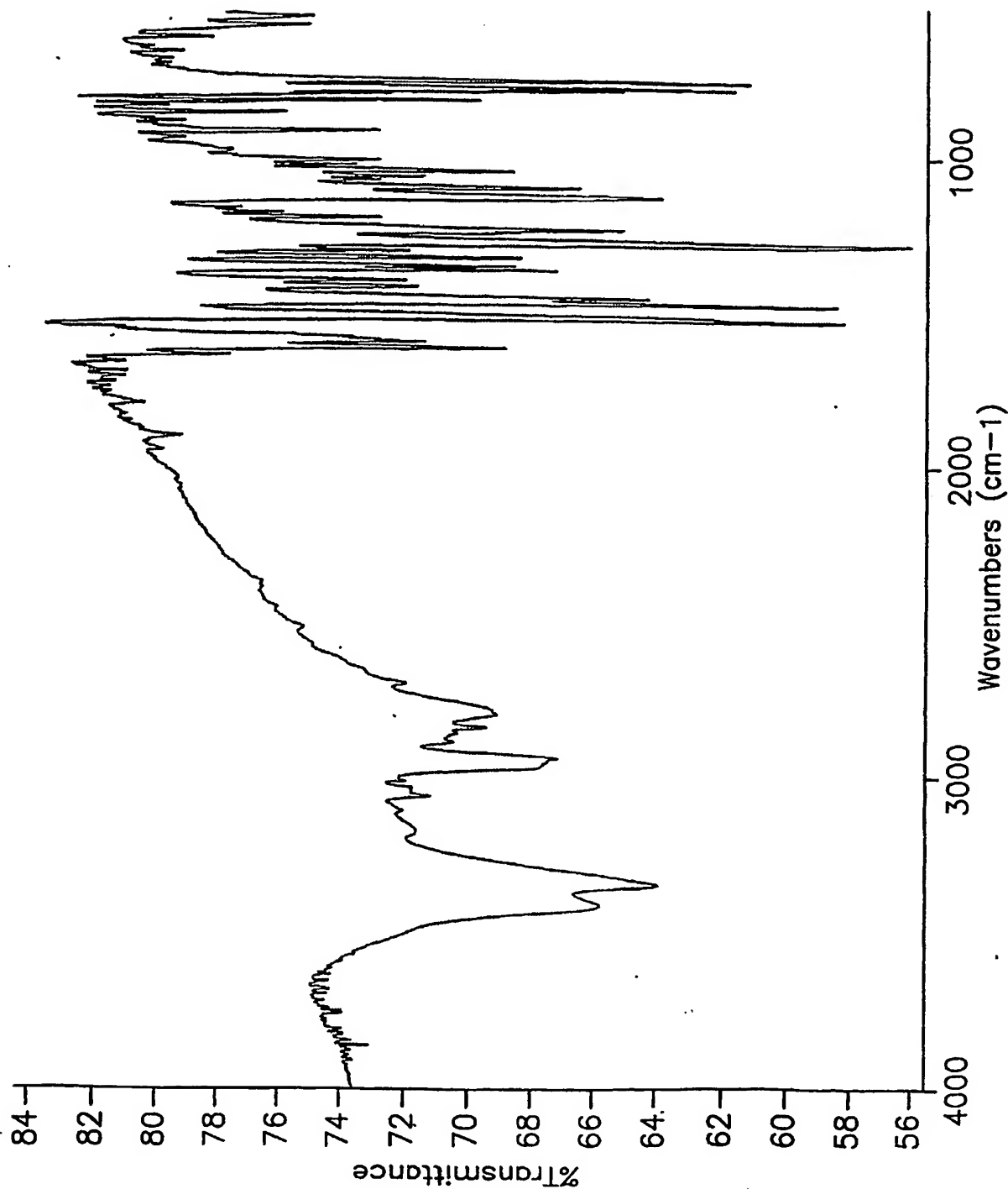


FIG. 67

68/82

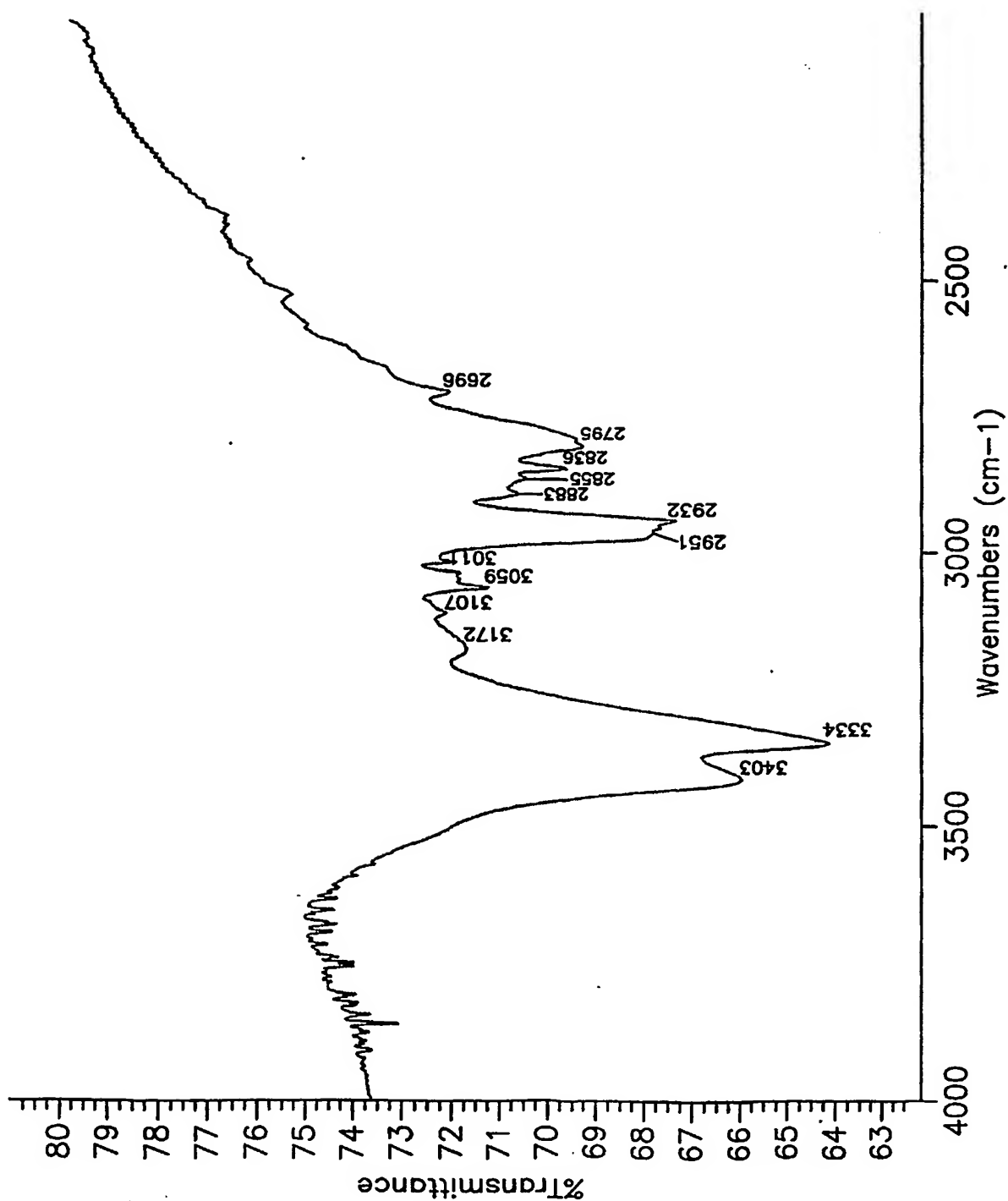


FIG. 68

69/82

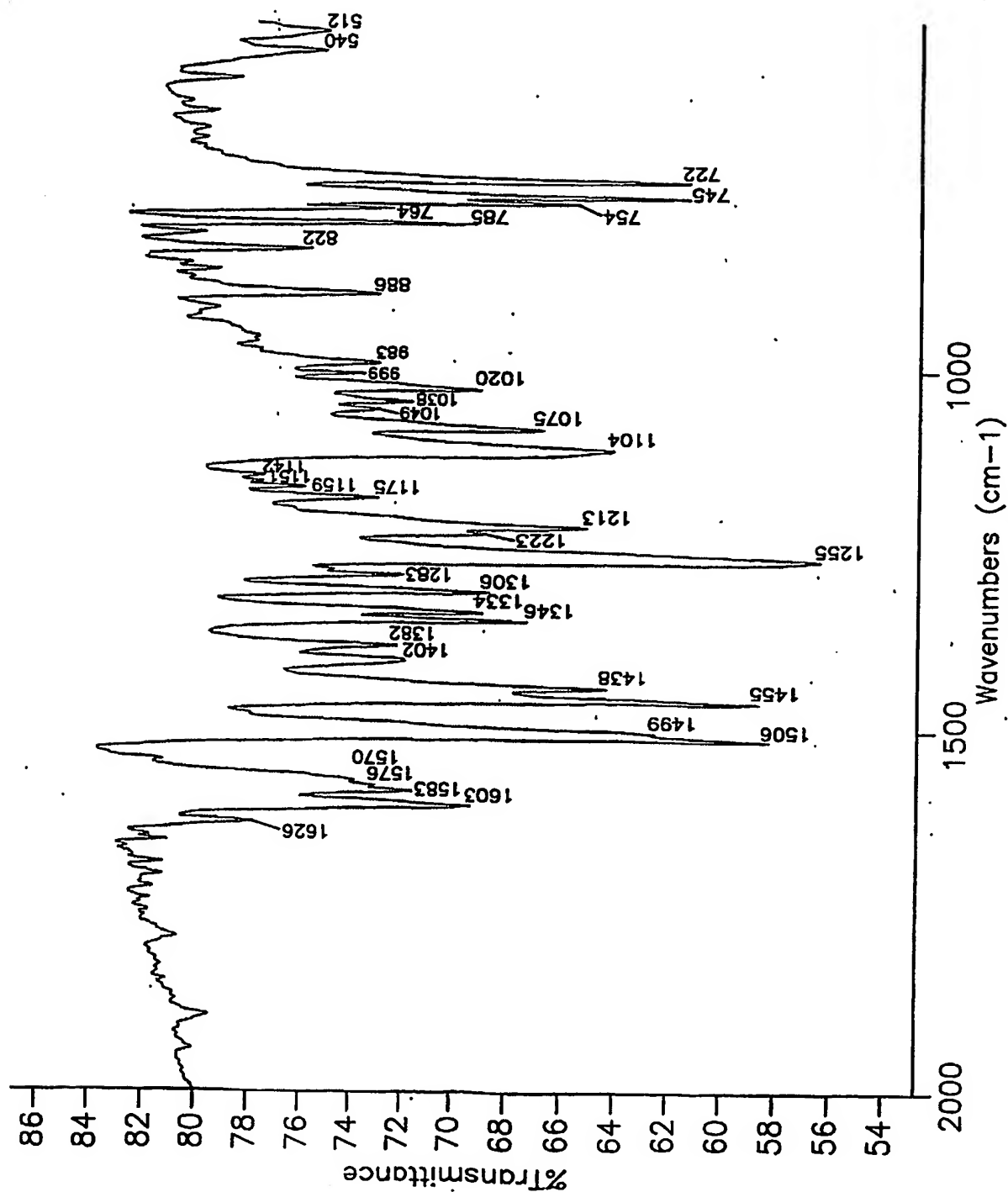
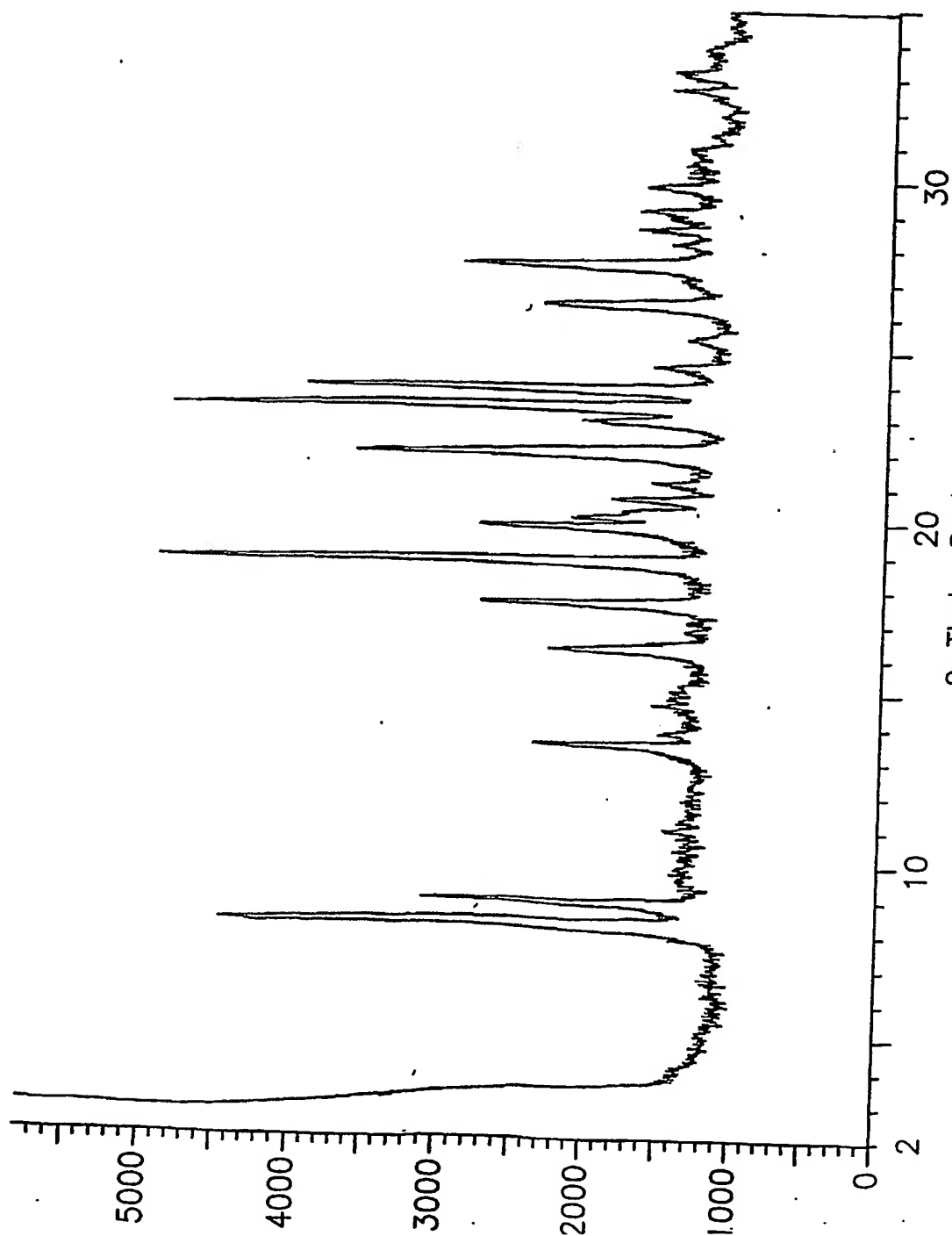


FIG. 69

70/82



2-Theta-Scale

FIG. 70

71/82

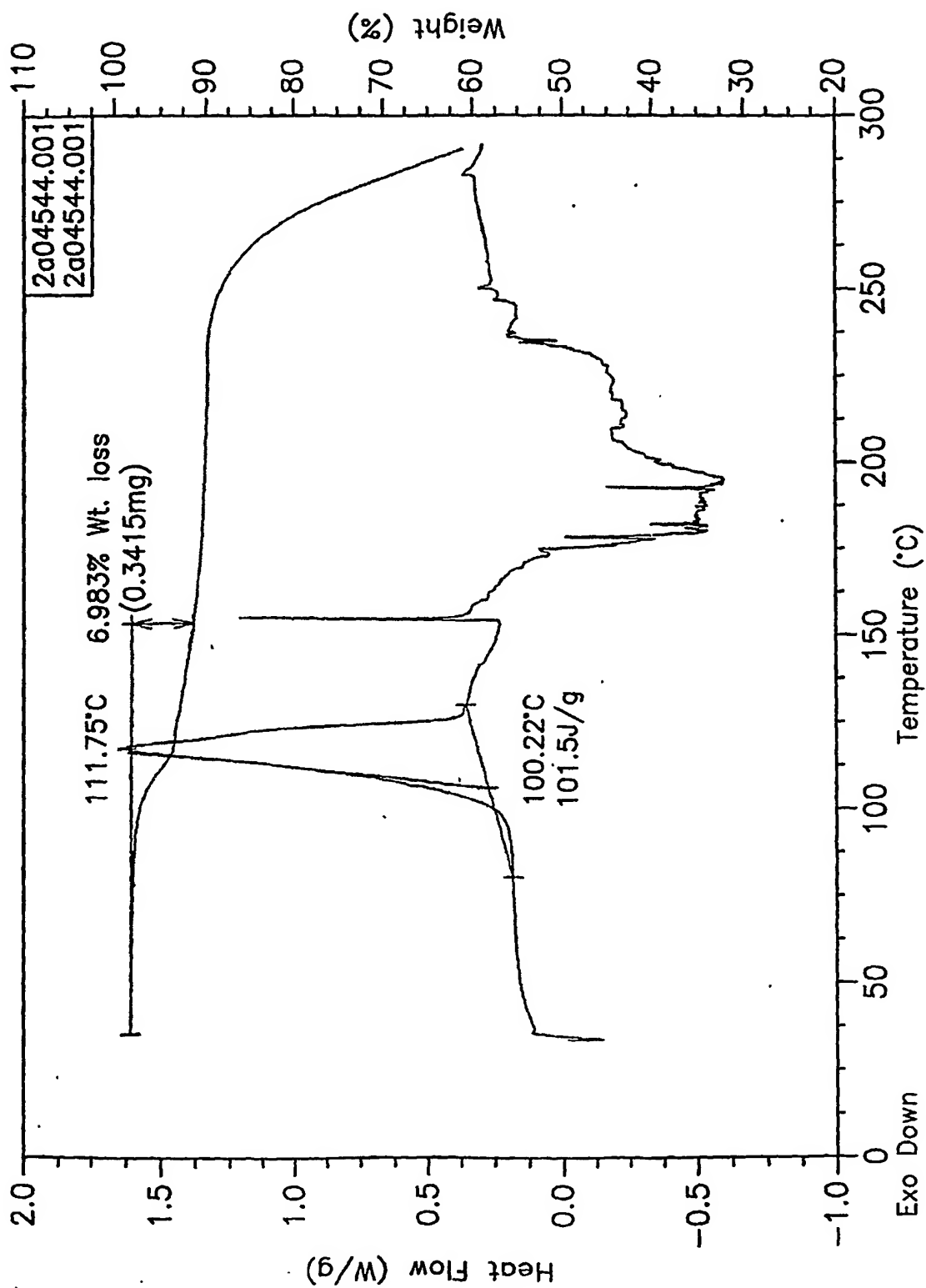


FIG. 71

72/82

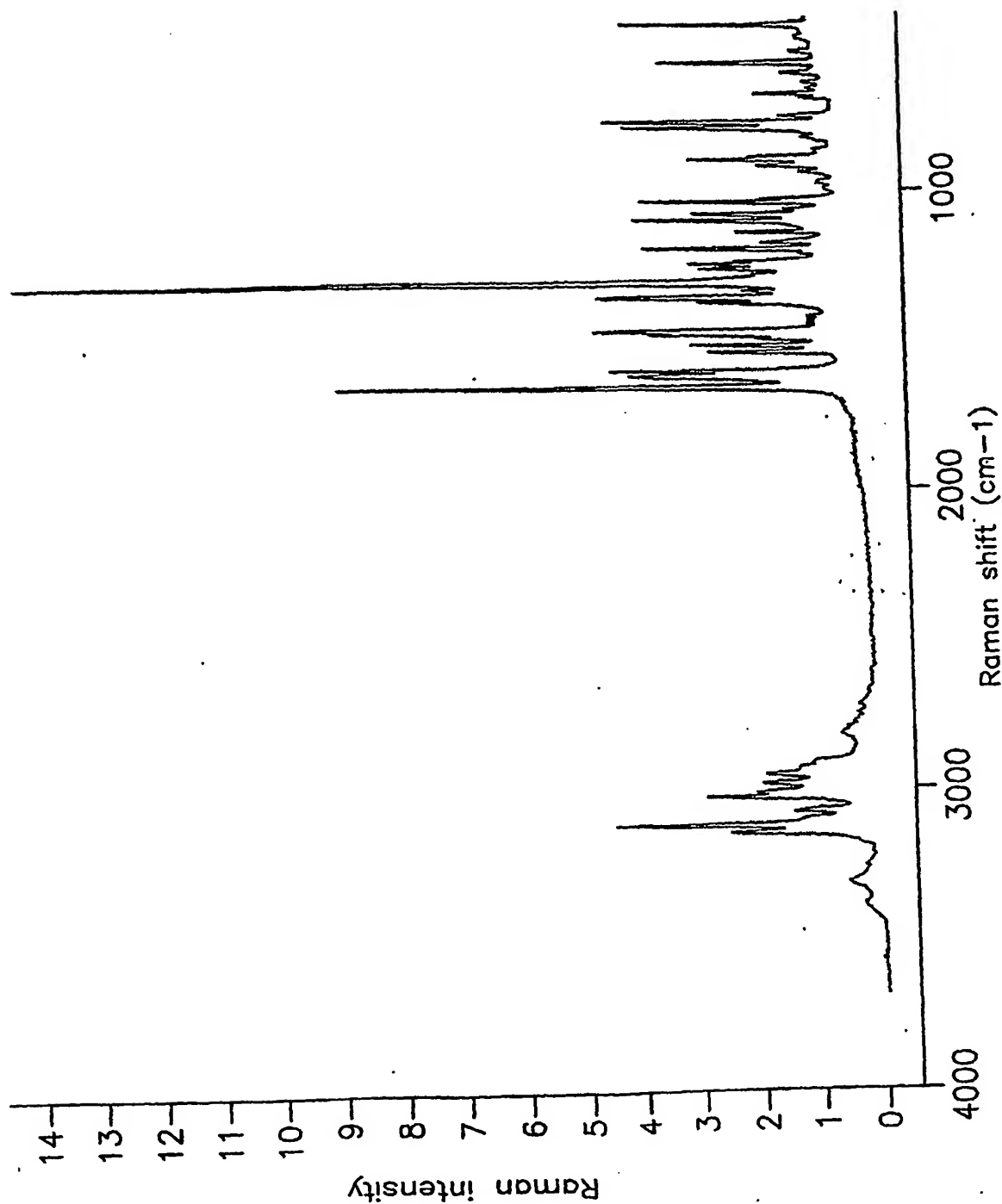


FIG. 72

73/82

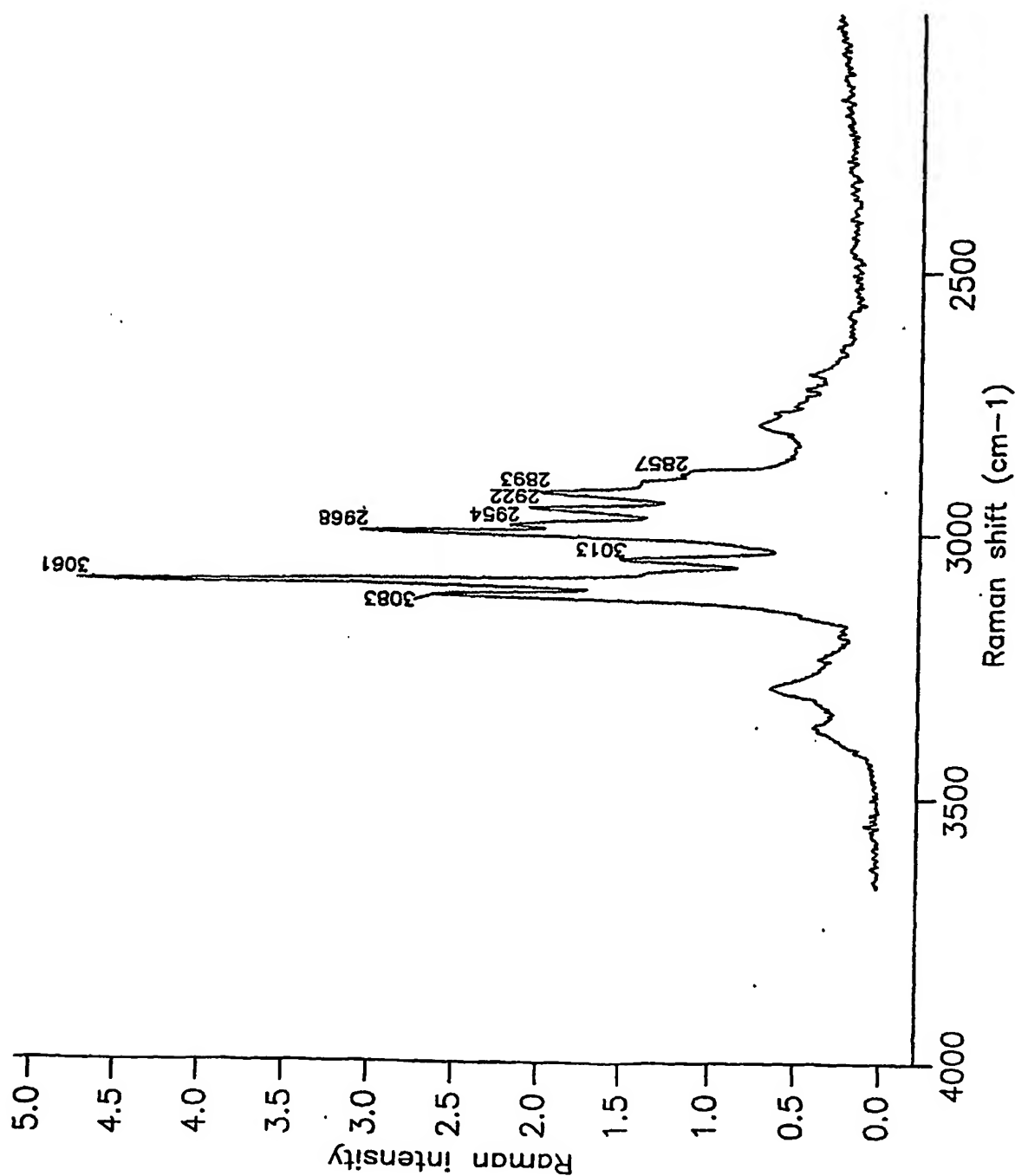


FIG. 73

74/82

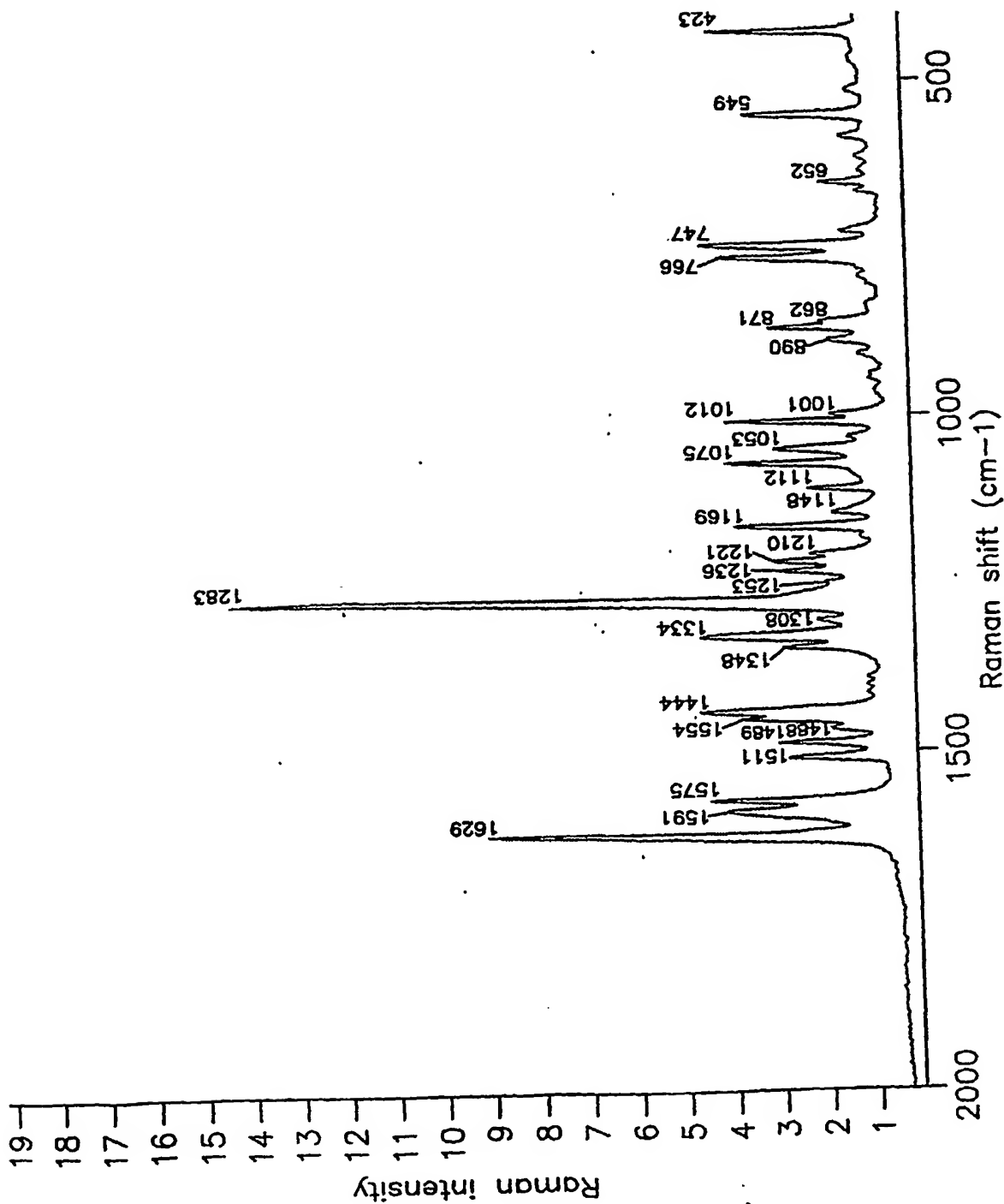


FIG. 74

75/82

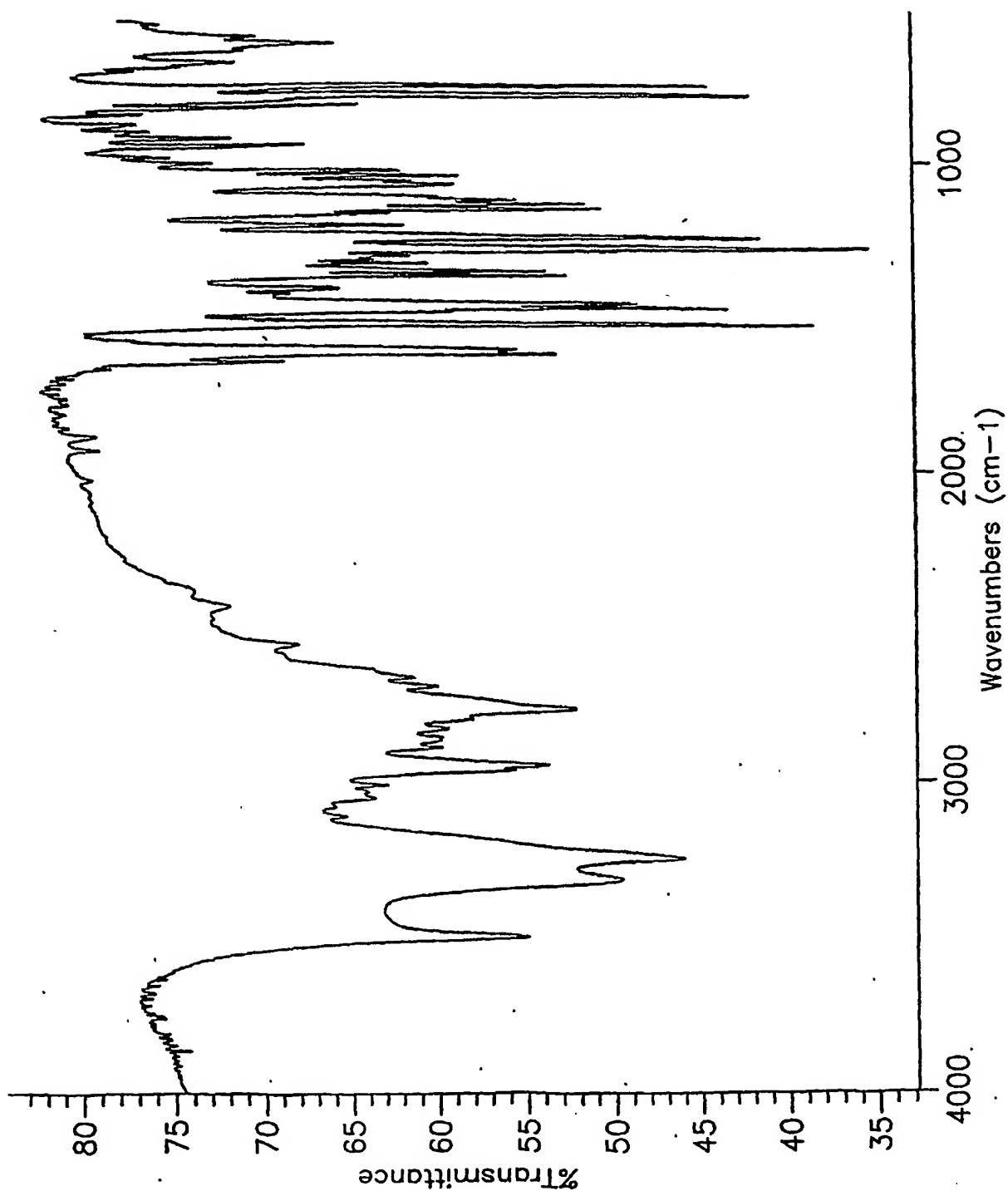


FIG. 75

76/82

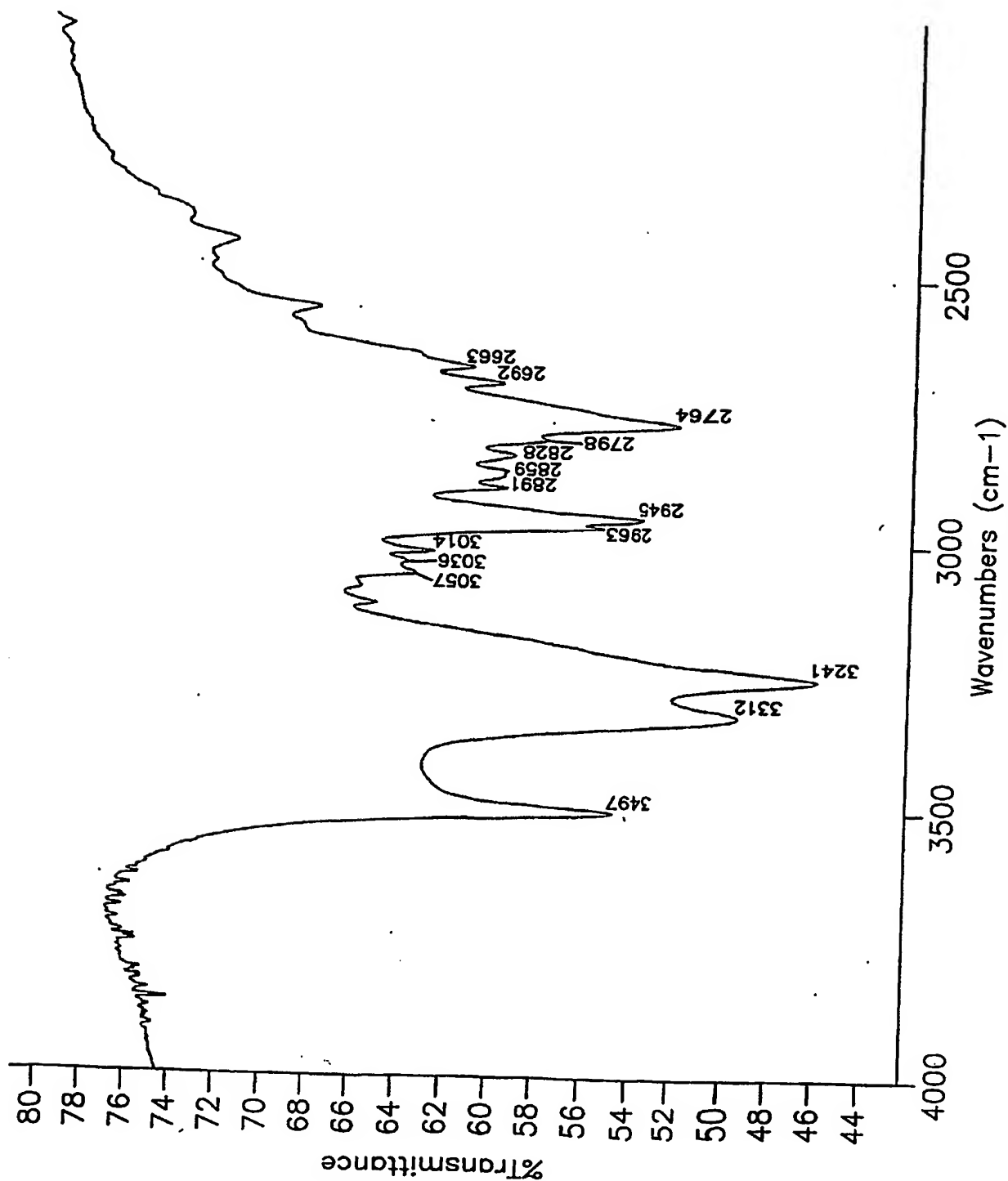


FIG. 76

77/82

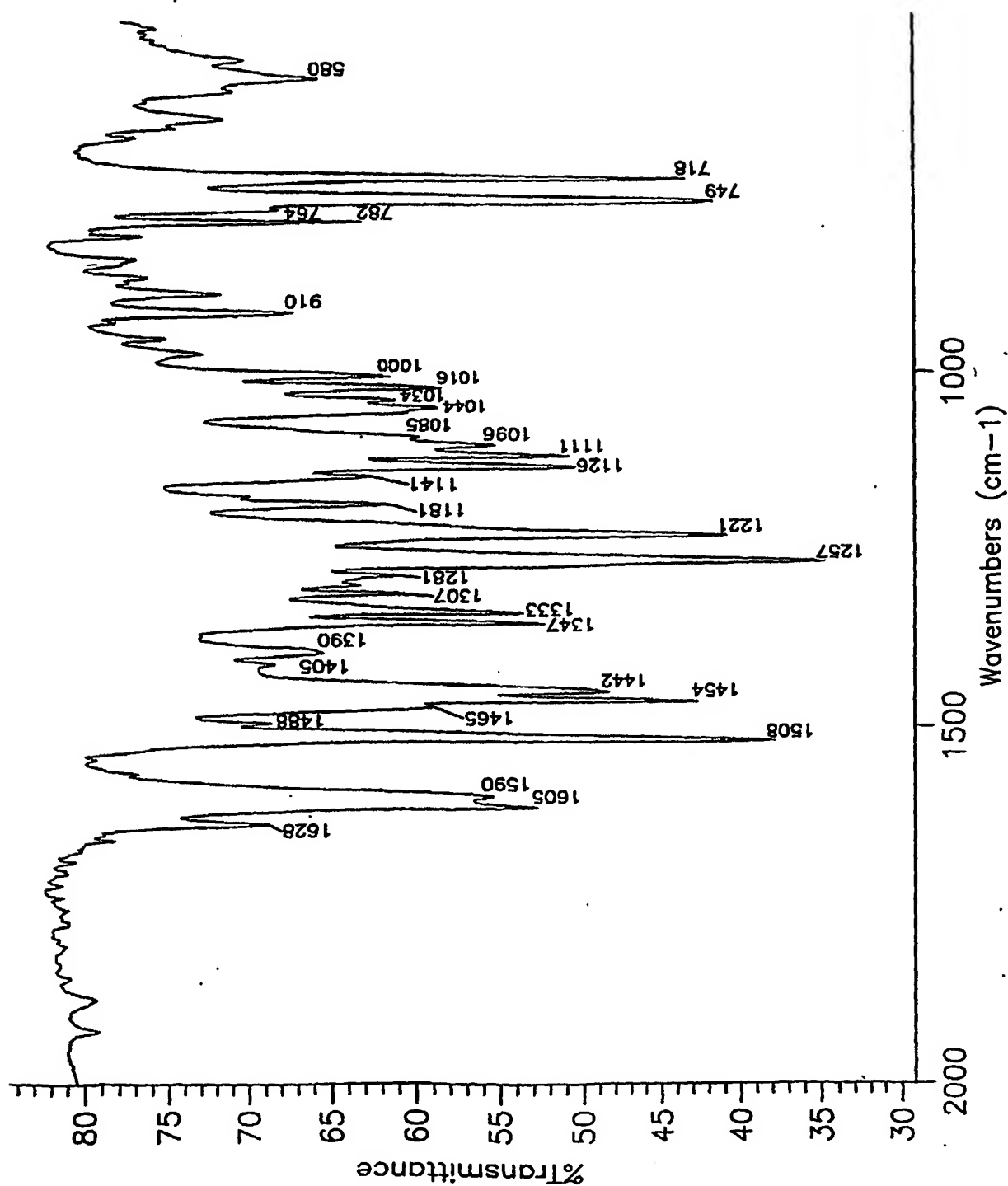


FIG. 77

78/82

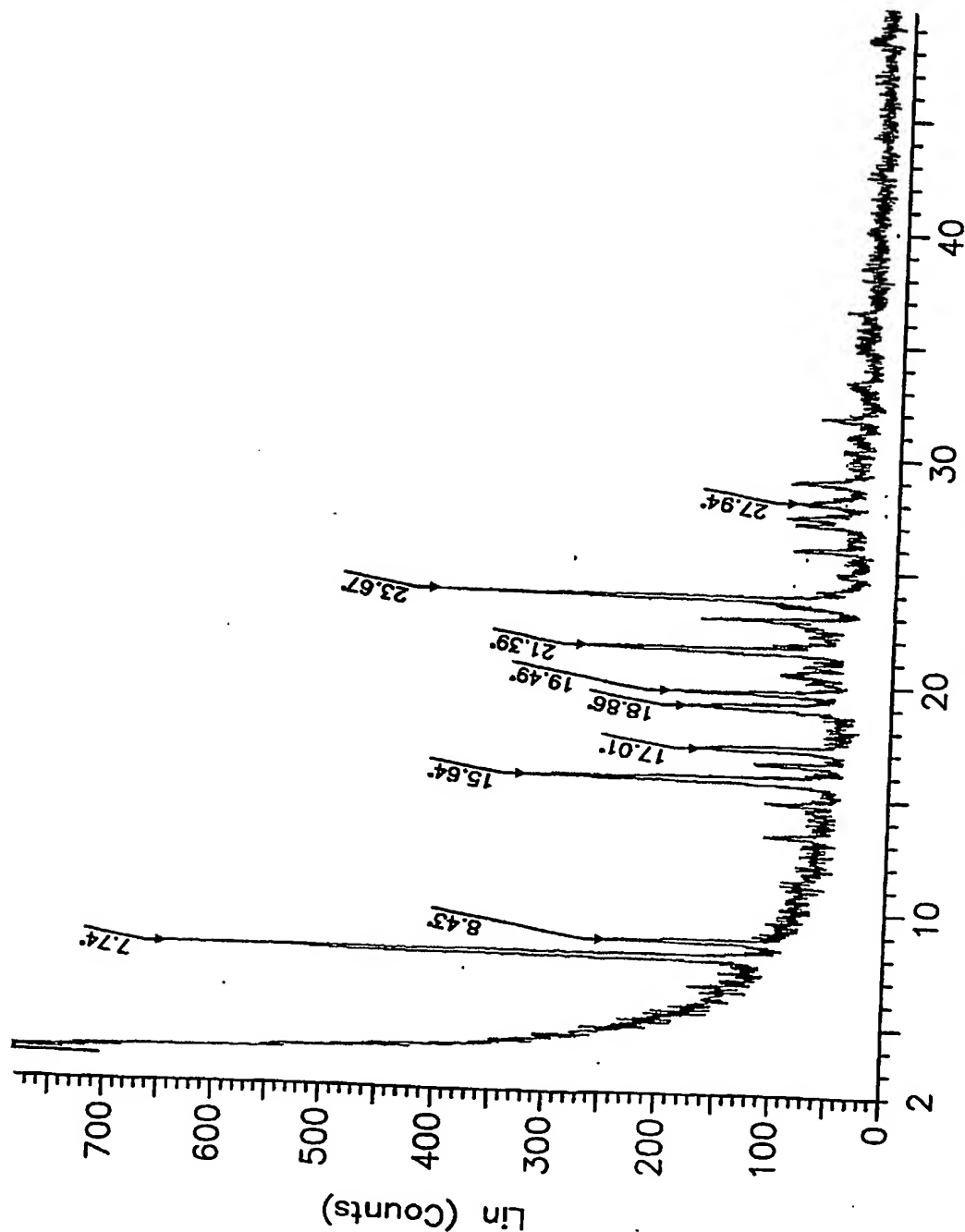
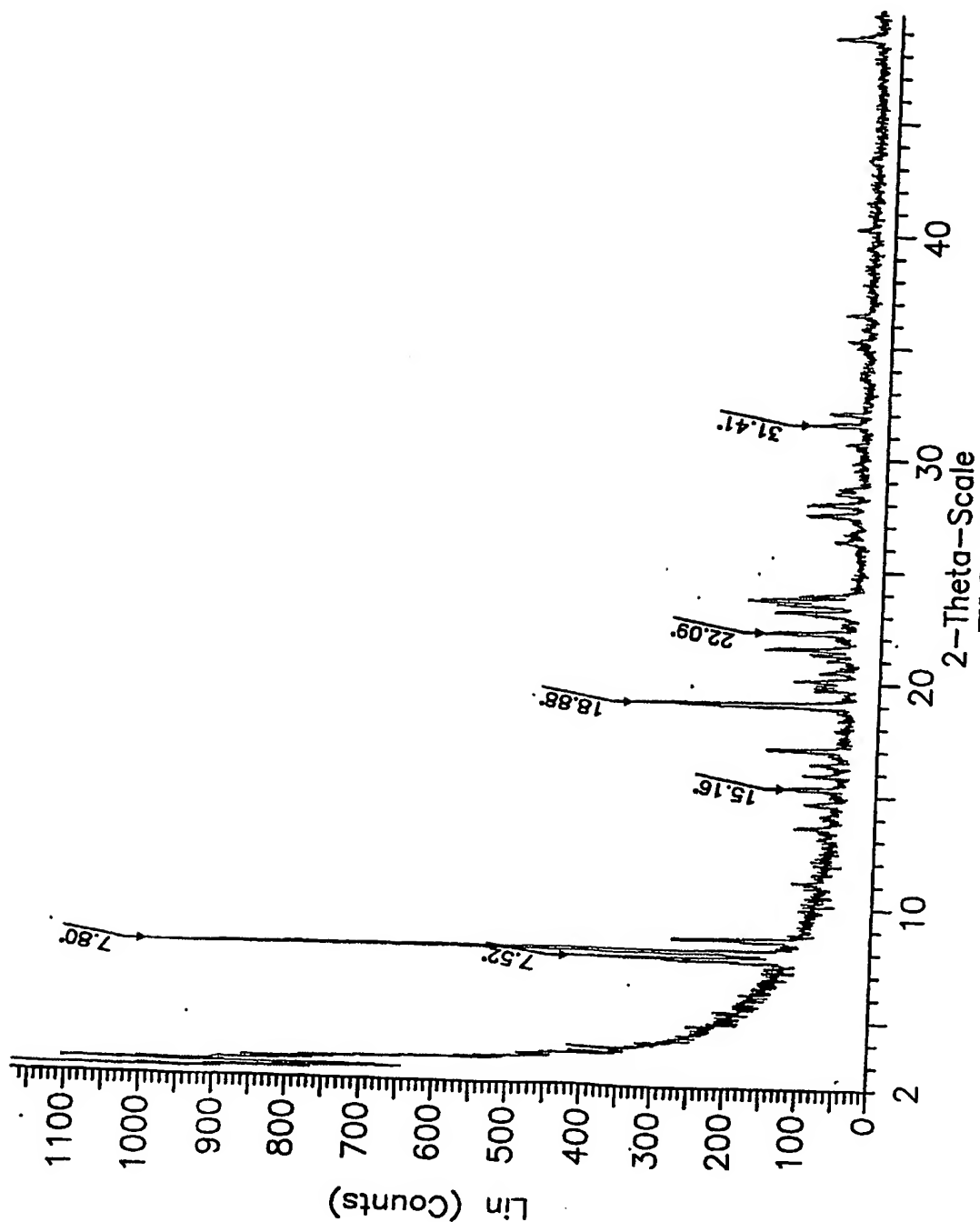


FIG. 78

79/82



80/82

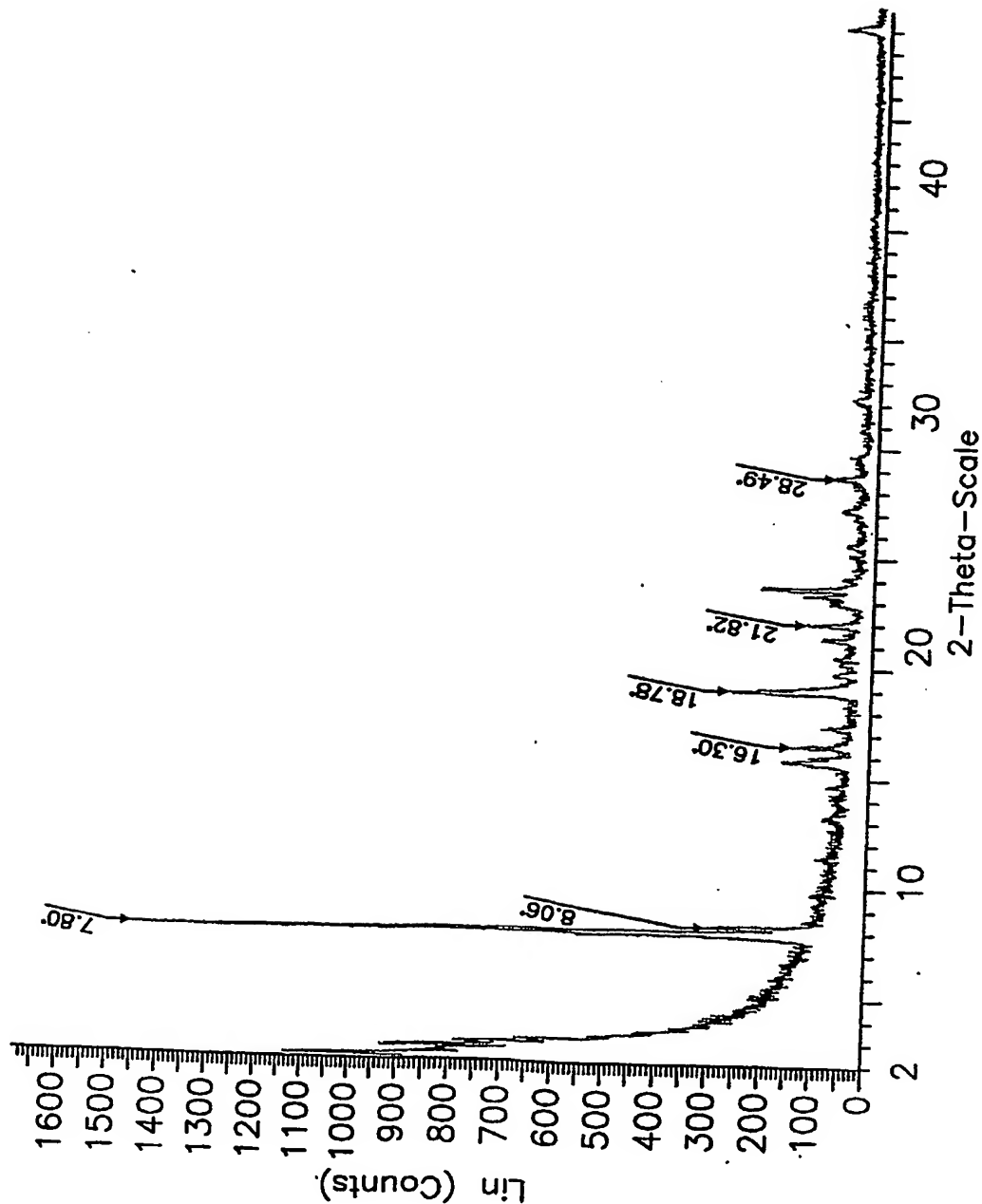


FIG. 80

81/82

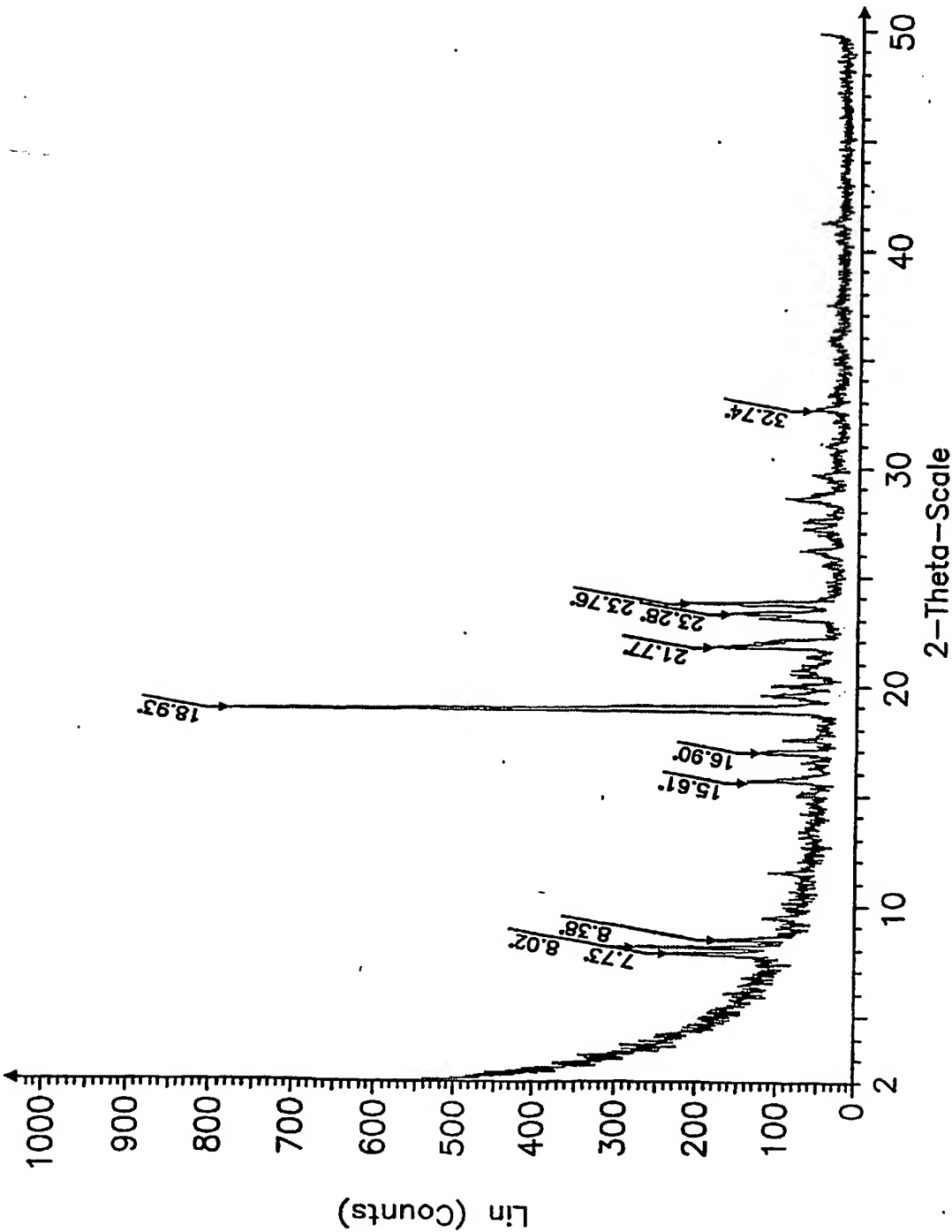


FIG. 81

82/82

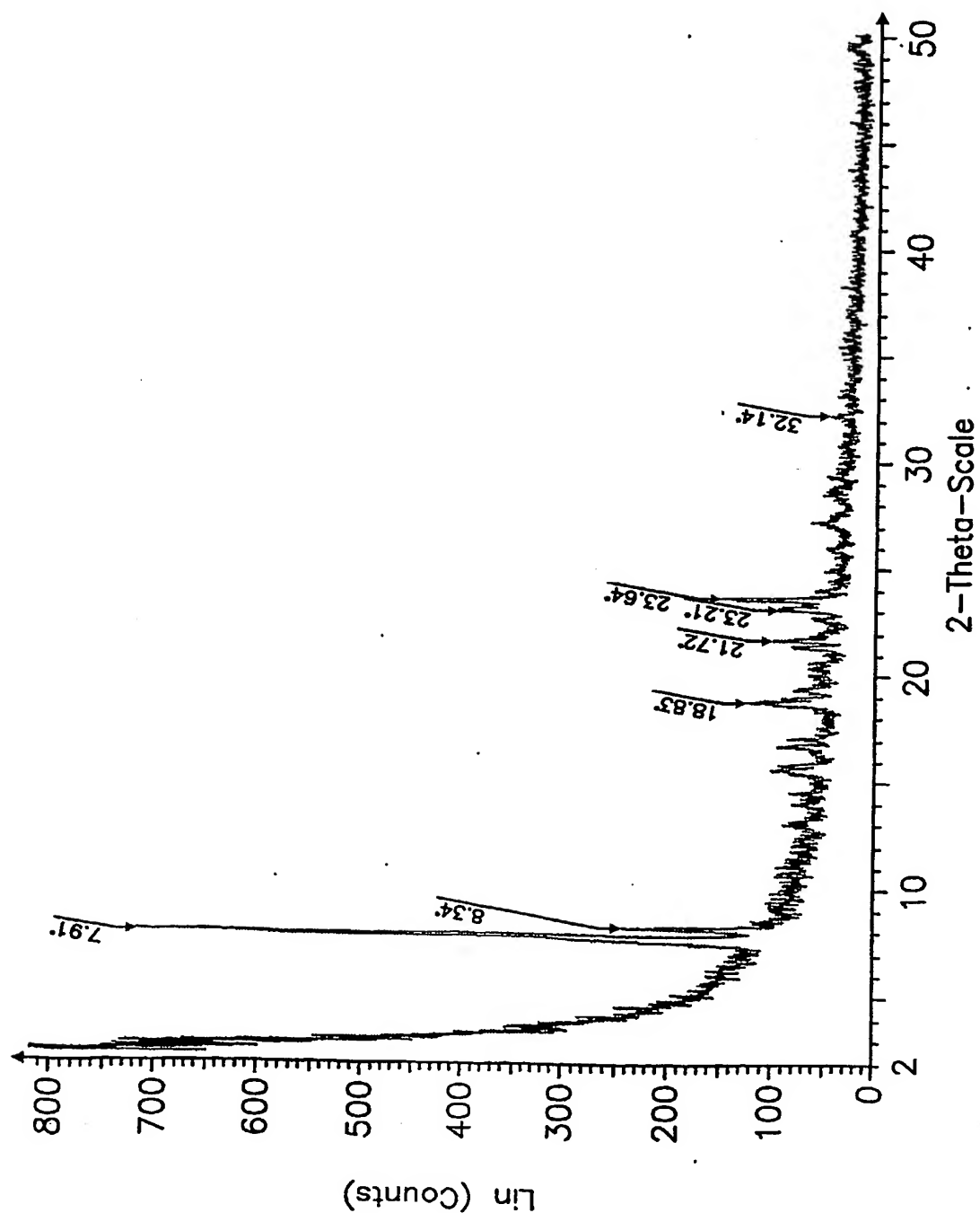


FIG. 82